

## รายงานการวิจัย

โครงการวิจัยเรื่อง การพัฒนาแหล่งจ่ายพลังงานไฟฟ้าแบบไฮบริดสำหรับป้ายแสดงผล  
อิเล็กทรอนิกส์

Development of Hybrid Electric Source for Electronic Display Board

ผู้วิจัย  
นายชาญฤทธิ์ ชาราสันติสุข

โครงการวิจัยทุนสนับสนุนงานวิจัยของมหาวิทยาลัยเทคโนโลยีราชมงคลกรุงเทพ  
งบประมาณแผ่นดิน ปี พ.ศ. 2554  
มหาวิทยาลัยเทคโนโลยีราชมงคลกรุงเทพ

กิตติกรรมประกาศ

ผู้วิจัยได้พัฒนาแหล่งเรียนรู้แบบใหม่ๆ สำหรับป้ายแสดงผลอิเล็กทรอนิกส์ โดยได้รับทุนอุดหนุนการวิจัยจากงบประมาณแผ่นดิน มหาวิทยาลัยเทคโนโลยีราชมงคลกรุงเทพ สาขาวิศวกรรมศาสตร์และอุตสาหกรรมวิจัย ปีงบประมาณ 2554 ทั้งนี้ผู้วิจัยขอขอบคุณนักศึกษาสาขาวิศวกรรมไฟฟ้าที่ได้ช่วยเหลือในการจัดทำเครื่องต้นแบบและเก็บผลการทดลอง

หัวข้อวิจัย	การพัฒนาแหล่งจ่ายพลังงานไฟฟ้าแบบไฮบริดสำหรับป้ายแสดงผลอิเล็กทรอนิกส์
ผู้วิจัย	นายชาญฤทธิ์ ชาราสันติสุข
สาขาวิชา	วิศวกรรมไฟฟ้า คณะวิศวกรรมศาสตร์
ปีงบประมาณ	2554

### บทคัดย่อ

งานวิจัยนี้เป็นการนำอัลตราค่าปานิชเตอร์มาทำงานร่วมกับเซลล์แสงอาทิตย์ขนาด 70 วัตต์ 17.6 โวลต์ 4.38 แอมป์ ในการเก็บพลังงานไฟฟ้าและเป็นแหล่งจ่ายแรงดันไฟกระแทกรงให้กับไฟลอดโดยใช้เซลล์แสงอาทิตย์และอัลตราค่าปานิชเตอร์ร่วมกันเพื่อเป็นแหล่งจ่ายพลังงานไฮบริดซึ่งผ่านวงจรยูสคอนเวอร์เตอร์ ทำให้ระดับแรงดันเอาต์พุตสูงกว่าระดับแรงดันอินพุต โดยใช้มอสเฟต เป็นสวิทช์ทำงานที่ความถี่ 100 kHz ใช้ไอซีบอร์ UC3824 ทำหน้าที่สร้างสัญญาณ PWM เพื่อใช้ควบคุมการทำงานของมอสเฟต และมีการควบคุมแรงดันเอาต์พุตป้อนกลับ เพื่อรักษาระดับแรงดันเอาต์พุตให้คงที่ และใช้ไมโครคอนโทรลเลอร์ PIC16F819 ในการควบคุมการประจุอัลตราค่าปานิชเตอร์และสับเปลี่ยนแหล่งจ่ายไฟฟ้าระหว่างเซลล์แสงอาทิตย์กับอัลตราค่าปานิชเตอร์สำหรับป้ายแสดงผลอิเล็กทรอนิกส์

## สารบัญ

หน้า

กิตติกรรมประกาศ	๙
บทคัดย่อ	๑
สารบัญ	๒
สารบัญตาราง	๓
สารบัญภาพ	๔
<b>บทที่ 1 บทนำ</b>	
1.1 ความเป็นมาและความสำคัญของปัญหา	1
1.2 วัตถุประสงค์ของงานวิจัย	2
1.3 ขอบเขตของงานวิจัย	2
1.4 ขั้นตอนการดำเนินงาน	2
1.5 ประโยชน์ที่คาดว่าจะได้รับ	2
<b>บทที่ 2 ทฤษฎีที่เกี่ยวข้อง</b>	
2.1 เชลล์แสงอาทิตย์	4
2.2 อัลตราคาป่าซิเตอร์	22
2.3 บูสคอนเวอร์เตอร์	28
2.4 ออกแบบบูสคอนเวอร์เตอร์	35
2.5 วงจรควบคุมการทำงานสำหรับคอนเวอร์เตอร์	50
2.6 ไอซีที่ใช้ในการควบคุม UC3824	52
2.7 วงจรควบคุมการประจุและสับเปลี่ยนแหล่งจ่ายไฟฟ้า	56
2.8 ศักยภาพพลังงานแสงอาทิตย์ของประเทศไทย	57
<b>บทที่ 3 การออกแบบงานวิจัย</b>	
3.1 การศึกษาข้อมูล	61
3.2 การออกแบบวงจรกำลังของวงจรทบแรงดันไฟฟ้ากระแสตรง	62
3.3 การออกแบบวงจรควบคุมของวงจรบูสคอนเวอร์เตอร์	69
3.4 การออกแบบวงจรป้องกัน	77
3.5 การออกแบบวงจรควบคุมการประจุและสับเปลี่ยนแหล่งจ่ายไฟฟ้า	81

## สารบัญ (ต่อ)

หน้า

### บทที่ 4 ผลการวิจัยและข้อวิจารณ์

4.1 การทดสอบวงจรกำลังและวงจรควบคุมของวงจรบูสตอนเวอร์เตอร์	83
4.2 การทดสอบหาค่าประสิทธิภาพของวงจรบูสตอนเวอร์เตอร์เมื่อเปลี่ยนกระแส ເວົາດີພຸດແລະແຮງດັນອິນພຸດແບບລູປປຶກ	88
4.3 การทดสอบการเก็บและ睬າຍພລັງງານໄຟຟ້າຂອງອັລຕຣາຄາປາຊີເຕອຣ໌	95
4.4 ทดสอบหาประสิทธิภาพของເຫຼັດສັງເກດທີ່ຕ່ອງໃຊ້ຈານຮ່ວມກັບວົງຈຽບ ເວອຣ໌ເຕອຣ໌ຈ່າຍໂໂລດ	100
4.5 ทดสอบหาประสิทธิภาพຂອງອັລຕຣາຄາປາຊີເຕອຣ໌ຕ່ອງໃຊ້ຈານຮ່ວມກັບວົງຈຽບ ຈຽບເວອຣ໌ເຕອຣ໌ຈ່າຍໂໂລດ	102
4.6 การทดสอบการทำงานຂອງວົງຈຽບປະຈຸແລະສັນປັບປຸງແລ້ວຈ່າຍໄຟຟ້າ	105

### บทที่ 5 สรุปผลการวิจัยและข้อเสนอแนะ

5.1 สรุปผลของงานวิจัย	107
5.2 ปัญหาของงานวิจัยແລະแนวทางแก้ไข	108
5.3 ข้อเสนอแนะ	108

บรรณานุกรม 109

ภาคผนวก ก. ໂປຣແກຣມระบบควบคุม 110

ภาคผนวก ข. ກາພໍ້ນງານໃນສ່ວນຕ່າງໆ 114

ภาคผนวก ค. ບັດຄວາມວິຈິນ 117

## สารบัญตาราง

ตารางที่	หน้า
2-1 เปรียบเทียบจุดเด่นจุดด้อยของชุดลีสส์ลงอาทิตย์แบบต่างๆ	12
2-2 เปรียบเทียบประสิทธิภาพของชุดลีสส์ลงอาทิตย์แบบต่างๆ	13
2-3 เปรียบเทียบคุณสมบัติของแบบเตอร์กับอัลตราคาป่าซิเตอร์ทั่วไป	24
2-4 การเปรียบเทียบวงจรแม่เหล็กไฟฟ้าและวงจรไฟฟ้า	36
2-5 โครงการด้านพลังงานแสงอาทิตย์ทั่วประเทศไทย	57
4-1 ค่าแรงดันอากาศพุตเมื่อเปลี่ยนกระแสເօາຕີພຸດແລະແຮງດັນອິນພຸດແບບລູປປຶກ	84
4-2 ค่ากระแสອິນພຸດເມື່ອเปลี่ຍນกระแสເօາຕີພຸດແລະແຮງດັນອິນພຸດແບບລູປປຶກ	85
4-3 ค่าประสิทธิภาพທີ່กระแสເօາຕີພຸດຄ່າຕ່າງໆ ທີ່ແຮງດັນອິນພຸດ 12 ໂວລ໌	89
4-4 ค่าประสิทธิภาพທີ່กระแสເօາຕີພຸດຄ່າຕ່າງໆ ທີ່ແຮງດັນອິນພຸດ 14 ໂວລ໌	89
4-5 ค่าประสิทธิภาพທີ່กระแสເօາຕີພຸດຄ່າຕ່າງໆ ທີ່ແຮງດັນອິນພຸດ 16 ໂວລ໌	90
4-6 ค่าประสิทธิภาพທີ່กระแสເօາຕີພຸດຄ່າຕ່າງໆ ທີ່ແຮງດັນອິນພຸດ 18 ໂວລ໌	91
4-7 ค่าประสิทธิภาพທີ່กระแสເօາຕີພຸດຄ່າຕ່າງໆ ທີ່ແຮງດັນອິນພຸດ 20 ໂວລ໌	91
4-8 ค่าประสิทธิภาพທີ່กระแสເօາຕີພຸດຄ່າຕ່າງໆ ທີ່ແຮງດັນອິນພຸດ 22 ໂວລ໌	92
4-9 ค่าประสิทธิภาพທີ່กระแสເօາຕີພຸດຄ່າຕ່າງໆ ທີ່ແຮງດັນອິນພຸດ 24 ໂວລ໌	93
4-10 ค่าประสิทธิภาพທີ່กระแสເօາຕີພຸດຄ່າຕ່າງໆ ເມື່ອຕ່ອກັນເຊີລລີສ້ແລງอาทิตຍ໌ 70 ວັດ໌	106
4-11 ค่าประสิทธิภาพທີ່กระแสເօາຕີພຸດຄ່າຕ່າງໆ ເມື່ອຕ່ອກັນອັດตราคาປາຊີເຕອຣ໌	108

## สารบัญภาพ

ภาพที่	หน้า
2-1 แผนที่ศักยภาพพลังงานแสงอาทิตย์ของโลก	5
2-2 โครงสร้างของเซลล์แสงอาทิตย์	6
2-3 การทำงานของเซลล์แสงอาทิตย์	8
2-4 วงจรสมมูลของเซลล์แสงอาทิตย์	9
2-5 ผลของ ( $R_s$ ) และ ( $R_{sh}$ ) ที่มีต่อเซลล์แสงอาทิตย์	10
2-6 ลักษณะของเซลล์แสงอาทิตย์แบบผลึกเดี่ยว	11
2-7 ลักษณะของเซลล์แสงอาทิตย์แบบผลึกโพลี	12
2-8 ลักษณะของเซลล์แสงอาทิตย์แบบอะมอร์ฟิส	13
2-9 คุณสมบัติทางไฟฟ้าของเซลล์แสงอาทิตย์	14
2-10 กราฟกระแสและแรงดันไฟฟ้า (I-V Curve)	15
2-11 กราฟกระแสและแรงดันที่กำลังไฟฟ้าสูงสุด	16
2-12 เซลล์แสงอาทิตย์แบบอิสระ (PV Stand alone system)	19
2-13 เซลล์แสงอาทิตย์แบบต่อกับระบบจำหน่าย (PV Grid connected system)	20
2-14 เซลล์แสงอาทิตย์แบบผสมผสาน (PV Hybrid system)	21
2-15 การวางแผนเซลล์แสงอาทิตย์	21
2-16 โครงสร้างของอัลตราคาป่าชิเตอร์	23
2-17 ตัวนประกอบของอัลตราคาป่าชิเตอร์	24
2-18 การเก็บประจุของอัลตราคาป่าชิเตอร์	24
2-19 วงจรสมมูลของอัลตราคาป่าชิเตอร์	25
2-20 วงรดสอนวัดค่าความต้านทานสมมูลต่อแบบอนุกรม	27
2-21 การนำอัลตราคาป่าชิเตอร์เป็นแหล่งจ่ายไฟสำรองให้กับหน่วยความจำ	27
2-22 การนำอัลตราคาป่าชิเตอร์เป็นแหล่งจ่ายไฟให้กับรถไฟฟ้า	
28	
2-23 วงจรสมมูลของวงจรบูสคอนเวอร์เตอร์	29
2-24 วงจรการทำงานของบูสคอนเวอร์เตอร์	29
2-25 ตัวอย่างต่างๆ ของวงจรบูสคอนเวอร์เตอร์	30
2-26 วงจรแม่เหล็กไฟฟ้าพื้นฐาน	36
2-27 วงจรแม่เหล็กไฟฟ้าและวงจรเทียบเคียง	37

## สารบัญภาพ (ต่อ)

ภาพที่	หน้า
2-28 ลักษณะของแกนเฟอร์ไร์ตแบบต่างๆ	39
2-29 เส้นโค้งไฮสเตอริซึ่งของแกนเฟอร์ไร์ต	40
2-30 ค่าการสูญเสียในแกนเฟอร์ไร์ตของเนื้อสารชนิด 6H20 7H20 และ 7H10	41
2-31 ลักษณะนื้อบนของแกนเฟอร์ไร์ต	42
2-32 กราฟแรงดันตกคร่อม	44
2-33 กราฟแรงดันตกคร่อมขณะไดโอดนำกระแส	45
2-34 กราฟแรงดันตกคร่อมขณะไดโอดนำกระแสและค่ากระแสเร็วไวลด	46
2-35 ลักษณะของกระแสและแรงดันตกคร่อมเพาเวอร์มอสไฟต เมื่อเริ่มนำกระแส และเริ่มหยุดนำกระแส	47
2-36 ตัวเก็บประจุแฟรงก์ที่ต่ออยู่ที่ขาต่างๆ ภายในตัวเพาเวอร์มอสไฟต	49
2-37 ลักษณะกระแสและแรงดันที่ขาเกตขณะเพาเวอร์มอสไฟตถูกใบอัลไห้นำกระแส	49
2-38 วงจรพื้นฐานสำหรับการควบคุมคอนเวอร์เตอร์ในโหมดควบคุมแรงดัน	50
2-39 ลักษณะความกว้างของเอต้าพุตพัลส์ของ PWM	51
2-40 โครงสร้างภายในและการจัดขาของไอซีเบอร์ UC3824	52
2-41 การเลือกใช้งานเอต้าพุตของไอซีเบอร์ UC3824	53
2-42 การต่อใช้งานวงจรควบคุมไอซีแบบ Open loop	54
2-43 การต่อใช้งานวงจรควบคุมไอซีแบบ Close loop	54
2-44 กราฟความสัมพันธ์ของค่า $R_T$ และ $C_T$ ในการกำหนดความถี่	55
2-45 การจัดขาของไอซีเบอร์ PIC16F819	56
2-46 แผนที่ศักยภาพพลังงานแสงอาทิตย์ของประเทศไทย	57
2-47 แผนภูมิการติดตั้งเซลล์แสงอาทิตย์ในประเทศไทย	59
3-1 แผนผังขั้นตอนการดำเนินงาน	60
3-2 แผนผังโครงสร้างแหล่งจ่ายไฟแบบบูสตคอนเวอร์เตอร์จากอัลตราคาป่าชีเตอร์ โดยใช้เซลล์แสงอาทิตย์	61
3-3 วงจรกำเนิดสัญญาณความถี่ของไอซี UC3824	70
3-4 วงจรในโหมดควบคุมแรงดันและวงจรดเชยร์บบบ	71
3-5 จำลองวงจรบูสตคอนเวอร์เตอร์ด้วยโปรแกรม Orcad Pspice	72

## สารบัญภาพ (ต่อ)

ภาพที่	หน้า
3-6 ผลของการจำลองวงจรบูสตอนเวอร์เตอร์ ด้วยโปรแกรม Orcad Pspice	73
3-7 วงจรจำลองผลการตอบสนองวงจรบูสตอนเวอร์เตอร์ ด้วยโปรแกรม Orcad Pspice	76
3-8 ผลการตอบสนองวงจรบูสตอนเวอร์เตอร์ ด้วยโปรแกรม Orcad Pspice	76
3-9 วงจรจำกัดกระแสด้านเอาต์พุต	77
3-10 การทำงานของวงจรตัดการทำงานเมื่อดึงวงจรด้านเอาต์พุต	79
3-11 วงจรป้องกันการดึงวงจรด้านเอาต์พุต	80
3-12 วงจรอาร์มิร์ต์ที่ใช้ในการทดสอบแบบลูปเปิด	82
4-1 วงจรบูสตอนเวอร์เตอร์ที่ใช้ในการทดสอบแบบลูปเปิด	83
4-2 กราฟความสัมพันธ์ระหว่างกระแสเอาต์พุตกับแรงดันเอาต์พุตเมื่อทดสอบแบบลูปเปิด เมื่อเปลี่ยนแรงดันอินพุต	85
4-3 กราฟความสัมพันธ์ระหว่างกระแสอินพุตกับกระแสเอาต์พุต	86
4-4 สัญญาณคำสั่งสวิตช์และสัญญาณกระแสที่ไฟผ่านตัวเหนี่ยวนำแบบลูปเปิด	87
4-5 วงจรอาร์มิร์ต์ที่ใช้ในการทดสอบแบบลูปเปิด	88
4-6 กราฟความสัมพันธ์ระหว่างประสิทธิภาพกับกระแสเอาต์พุตที่แรงดันอินพุต 12 – 24 โวลต์	94
4-7 สัญญาณคำสั่งสวิตช์และสัญญาณกระแสที่ไฟผ่านตัวเหนี่ยวนำแบบลูปเปิด	94
4-8 วงจรอาร์มิร์ต์ที่ใช้ในการทดสอบแบบลูปเปิด	95
4-9 วงจรอาร์มิร์ต์ที่ใช้ในการทดสอบแบบลูปเปิด	96
4-10 สัญญาณแรงดันไฟฟ้าอัลตราค่าปานิชิเตอร์ในการเก็บพลังงานไฟฟ้าที่แรงดัน 14 โวลต์ กระแส 1 แอมป์	96
4-11 สัญญาณแรงดันไฟฟ้าอัลตราค่าปานิชิเตอร์ในการเก็บพลังงานไฟฟ้าที่แรงดัน 14 โวลต์ กระแส 2 แอมป์	97
4-12 สัญญาณแรงดันไฟฟ้าอัลตราค่าปานิชิเตอร์ในการเก็บพลังงานไฟฟ้าที่แรงดัน 14 โวลต์ กระแส 3 แอมป์	97
4-13 สัญญาณแรงดันไฟฟ้าอัลตราค่าปานิชิเตอร์ในการทดสอบแบบลูปเปิด	98
4-14 สัญญาณแรงดันไฟฟ้าอัลตราค่าปานิชิเตอร์ในการทดสอบแบบลูปเปิด	98

## สารบัญภาพ (ต่อ)

ภาพที่	หน้า
4-14 สัญญาณแรงดันไฟฟ้าอัลตราค่าปานิชิเตอร์ในการขยายพลังงานไฟฟ้าที่แรงดัน 14 โวลต์ กระแส 2 แอมป์	99
4-15 สัญญาณแรงดันไฟฟ้าอัลตราค่าปานิชิเตอร์ในการขยายพลังงานไฟฟ้าที่แรงดัน 14 โวลต์ กระแส 3 แอมป์	99
4-16 วงจรต่อใช้งานอัลตราค่าปานิชิเตอร์ผ่านวงจรบูสต์คอนเวอร์เตอร์จ่าย Step load	100
4-17 กราฟประสิทธิภาพที่กระแสเอาต์พุตต่างๆ เมื่อต่อใช้งานกับเซลล์แสงอาทิตย์ขนาด 70 วัตต์	102
4-18 วงจรต่อใช้งานเซลล์แสงอาทิตย์ต่อใช้งานร่วมกับวงจรบูสต์คอนเวอร์เตอร์	102
4-19 กราฟประสิทธิภาพที่กระแสเอาต์พุตต่างๆ เมื่อต่อใช้งานกับอัลตราค่าปานิชิเตอร์	104
4-20 กราฟบันทึกผลการทำงานของวงจรประจุและสัมเปลี่ยนแปลงจ่ายไฟฟ้า	105

## บทที่ 1

### บทนำ

ปัจจุบันการอนุรักษ์พลังงานและการหาราคาเหล่งพลังงานทดแทน รวมถึงปัญหานมลภาวะที่เกิดจาก การเผาไหม้เชื้อเพลิง ซึ่งเป็นพลังงานหลักที่นำมาผลิตกระแสไฟฟ้านั้นกำลังจะหมดไปจำเป็นต้อง หาแหล่งพลังงานทางเลือกใหม่มาทดแทนเป็นเรื่องที่ให้ความสนใจมาก ระบบพลังงานเซลล์ แสงอาทิตย์ซึ่งเป็นแหล่งพลังงานทางเลือกใหม่ที่น่าสนใจ เนื่องจากระบบเซลล์แสงอาทิตย์นี้มี ข้อดีคือ สามารถเปลี่ยนรูปพลังงานจากพลังงานแสงอาทิตย์เป็นพลังงานไฟฟ้าโดยตรง ไม่ก่อให้เกิด มลภาวะขณะใช้งาน แต่ระบบเซลล์แสงอาทิตย์มีข้อเสียคือ ใช้ต้นทุนการผลิตและการติดตั้งสูงและ ประสิทธิภาพของการเปลี่ยนรูปพลังงานจากพลังงานแสงเป็นพลังงานไฟฟ้าที่ค่อนข้างต่ำแรงดันไม่ คงที่ขึ้นอยู่กับปริมาณความเข้มของแสง ทึ่งยังไม่สามารถจ่ายพลังงานชั่วขณะสูงๆ ได้ จากข้อจำกัดของเซลล์แสงอาทิตย์ดังกล่าวจึงได้มีแนวคิดที่จะเพิ่มประสิทธิภาพของระบบเซลล์ แสงอาทิตย์ โดยนำอัลตราคาป่าชิเตอร์มาทำงานร่วมกับเซลล์แสงอาทิตย์ในการจัดเก็บพลังงานไฟฟ้าแล้วจ่ายเป็นแหล่งจ่ายแรงดันไฟฟ้ากระแสตรงให้กับโหลดได้ ในกรณีที่โหลดต้องการ กระแสสูง ซึ่ง อัลตราคาป่าชิเตอร์ มีคุณสมบัติในการเก็บประจุและคายประจุได้อย่างรวดเร็ว ทึ่งยัง จ่ายต่อการจัดเก็บพลังงาน มีหน้าที่สำคัญ อาทิ การใช้งานยาวนาน การเสื่อมเนื่องจากอุณหภูมิมีน้อย แนวโน้มในการนำมาใช้เป็นแหล่งจ่ายไฟสำรองในระบบไฟฟ้าจากพลังงานทดแทนมากขึ้นด้วย

#### 1.1 วัตถุประสงค์ของงานวิจัย

- 1.1.1 สร้างและพัฒนาเดซิทูเดซิคอนเวอร์เตอร์ (Dc to dc converter) เพื่อเป็นวงจร อิเล็กทรอนิกส์กำลังสำหรับจัดการพลังงานไฟฟ้าระหว่างเซลล์แสงอาทิตย์และ อัลตราคาป่าชิเตอร์
- 1.1.2 สร้างและแสดงผลกระทบความถ้วนสำหรับแหล่งจ่ายพลังงานแบบไฮบริดเพื่อให้เกิดประสิทธิภาพสูงสุด
- 1.1.3 เปรียบเทียบประสิทธิภาพ อายุใช้งาน ของอุปกรณ์จัดเก็บพลังงาน2 ประเภทคือแบตเตอรี่ แบบตะกั่วและอัลตราคาป่าชิเตอร์
- 1.1.4 ทดสอบการใช้งานกับโหลดประเภทป้ายแสดงผลอิเล็กทรอนิกส์

## 1.2 ขอบเขตของงานวิจัย

- 1.2.1 สร้างแบบจำลองทางคณิตศาสตร์ของ อัลตราคาป่าชีเตอร์ และจำลองระบบแหล่งจ่ายพลังงานด้วยโปรแกรม MATLAB/SIMULINK
- 1.2.2 สร้างวงจรบูสต์ซึ่งค่อนແ偎อร์เตอร์เพื่อจัดการพลังงานไฟฟ้ากระแสตรงระหว่างเซลล์แสงอาทิตย์และ อัลตราคาป่าชีเตอร์ สำหรับป้ายแสดงผลแบบอิเล็กทรอนิกส์ที่เลือกใช้งานได้
- 1.2.3 มีระบบควบคุมพลังงานไฟฟ้าและแสดงผลค่าพารามิเตอร์ต่างๆของระบบ และสามารถปรับค่าพารามิเตอร์แบบ real-time ได้
- 1.2.4 วิเคราะห์และเปรียบผลการสอบระหว่างอุปกรณ์จัดเก็บพลังงานประเภท อัลตราคาป่าชีเตอร์ และแบบเตอร์รี่แบบต่ำกว่า
- 1.2.5 ติดตั้งการใช้งานไว้ที่คณะวิศวกรรมศาสตร์เพื่อแสดงเป็นสิ่งประดิษฐ์และวิจัยเกี่ยวกับพลังงานทดแทน

## 1.3 ขั้นตอนการดำเนินงาน

- 1.3.1 ค้นคว้าข้อมูลและพารามิเตอร์ของเซลล์แสงอาทิตย์และ อัลตราคาป่าชีเตอร์
- 1.3.2 สร้างแบบจำลองของระบบพลังงานแบบไฮบริดด้วยโปรแกรมคอมพิวเตอร์
- 1.2.3 ออกแบบและสร้างวงจรควบคุมดิจิทัลซึ่งค่อนແ偎อร์เตอร์
- 1.2.4 ทดสอบระบบควบคุมพลังงานแบบไฮบริดด้วยโปรแกรมคอมพิวเตอร์
- 1.2.5 เก็บข้อมูลและคุณลักษณะทางไฟฟ้าของระบบควบคุมพลังงานแบบไฮบริด
- 1.2.6 วิเคราะห์ผลการทดลองและเปรียบเทียบกับแบบจำลองทางคณิตศาสตร์
- 1.2.7 นำเสนอผลงานในงานประชุม วิชาการ
- 1.2.8 จัดทำรูปเล่ารายงานการวิจัย

## 1.4 ประโยชน์ที่คาดว่าจะได้รับ

- 1.4.1 ได้ชุดแหล่งจ่ายพลังงานร่วมเซลล์แสงอาทิตย์และ อัลตราคาป่าชีเตอร์ เพื่อใช้งานเป็นแหล่งจ่ายไฟให้กับป้ายแสดงผลอิเล็กทรอนิกส์
- 1.4.2 ได้แบบจำลองระบบควบคุมของแหล่งจ่ายแบบไฮบริดซึ่งสามารถประยุกต์ใช้งานกับระบบพลังงานทดแทนอื่นๆได้
- 1.4.3 แหล่งจ่ายแบบไฮบริดซึ่งกล่าวสามารถแสดงสิ่งประดิษฐ์ด้านการใช้เซลล์แสงอาทิตย์เพื่อผลิตไฟฟ้าได้

1.4.4 ได้ประยุกต์ใช้ความรู้ทางด้านอิเล็กทรอนิกส์กำลังและระบบควบคุมร่วมกับแหล่งจ่ายพลังงานทดแทน



## บทที่ 2

### ทฤษฎี

การสร้างแหล่งจ่ายไฟแบบไฮบริดสำหรับป้ายแสดงผลอิเล็กทรอนิกส์ (Hybrid Power Supply for Electronic Board) จำเป็นต้องศึกษาทฤษฎีที่เกี่ยวข้องดังนี้

1. เซลล์แสงอาทิตย์ (Solar Cell)
2. อัลตราคาป่าเซเตอร์
3. วงจรบูสต์คอนเวอร์เตอร์ (DC-DC Boost Converter)
4. วงจรกำลังของคอนเวอร์เตอร์แบบทบแรงดันไฟฟ้ากระแสตรง
5. วงจรควบคุมการทำงานสำหรับคีซีทูดีซีคอนเวอร์เตอร์
6. ไอซีที่ใช้ในการควบคุม UC3824
7. วงจรควบคุมการประจุและสับเปลี่ยนแหล่งจ่ายไฟฟ้า
8. ศักยภาพพลังงานแสงอาทิตย์ของประเทศไทย

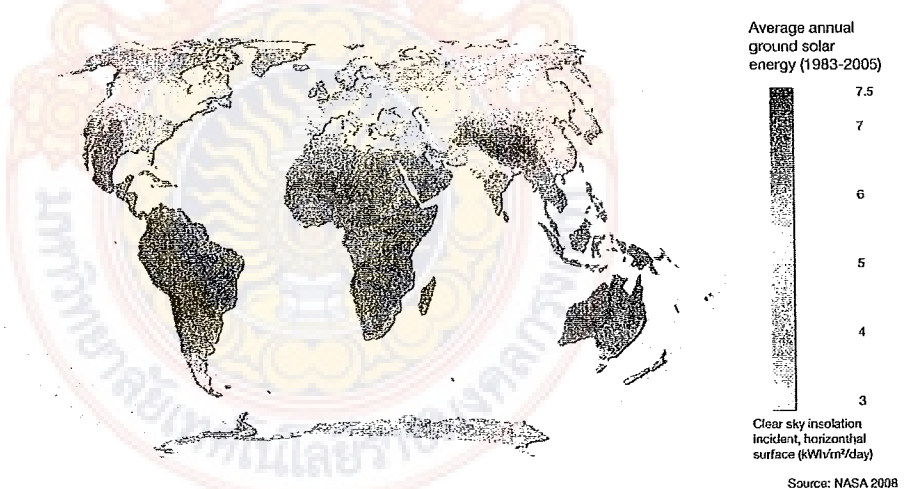
#### 2.1 เซลล์แสงอาทิตย์ (Solar Cell)

“แสงอาทิตย์” เป็นแหล่งพลังงานธรรมชาติที่มีขนาดใหญ่ที่สุด เป็นแหล่งพลังงานสะอาด และมีอยู่ทั่วไปแต่การนำมาใช้ประโยชน์อาจยังมีข้อจำกัดอยู่บ้าง เนื่องจากแสงอาทิตย์มีเฉพาะในตอนกลางวันตลอดจนมีความเข้มของแสงที่ไม่แน่นอน เพราะขึ้นอยู่กับสภาพอากาศและฤดูกาลที่เปลี่ยนไปแสงอาทิตย์เกิดจากปฏิกิริยาเทอร์โมนิวเคลียร์ในดวงอาทิตย์ พลังงานที่ดวงอาทิตย์สร้างขึ้นมีประมาณ  $3.8 \times 10^{23}$  กิโลวัตต์ แต่เนื่องจากระยะทางที่ห่างจากโลกเราถึง 93 ล้านไมล์ทำให้พลังงานที่ส่งมายังโลกลดน้อยลงพลังงานแสงอาทิตย์เดินทางมาถึงโลกประมาณ  $1.8 \times 10^{14}$  กิโลวัตต์ถูกดูดซับโดยบรรยากาศและพื้นโลกประมาณ  $1.25 \times 10^{14}$  กิโลวัตต์ ในขณะที่พลังงานที่มนุษย์ใช้รวมกันทั้งโลกประมาณ  $1 \times 10^{14}$  กิโลวัตต์จะเห็นได้ว่าพลังงานที่ได้จากพลังงานแสงอาทิตย์มากกว่าพลังงานที่มนุษย์ใช้รวมกันทั้งโลกประมาณ 10,000 เท่าปริมาณแสงอาทิตย์ที่ได้รับนั้นพื้นที่ใดพื้นที่หนึ่งจะมีปริมาณสูงสุด เมื่อพื้นที่นั้นทำมุมตั้งฉากกับแสงอาทิตย์ดังนั้นหากต้องการให้พื้นที่ได้รับแสงมากที่สุดต่อวัน ก็จะต้องปรับพื้นที่รับแสงนั้นๆ ตามการเคลื่อนที่ของดวงอาทิตย์ซึ่งจะเคลื่อนที่จากทิศตะวันออกไปสู่ทิศตะวันตกเสมอ นอกจากนั้นจากการที่โลกเอียงทำให้ซึ้กโลกเหนือหันหน้าเข้าหาดวงอาทิตย์ในฤดูร้อนและเอียงซึ้กโลกให้หันหน้าเข้าหาดวงอาทิตย์ในฤดูหนาว ดังนั้นเราจึงปรับมุมพื้นที่รับแสงนั้นๆ ในแนวเหนือใต้ (มุมก้มและมุมเงย) ให้สอดคล้องตามฤดูกาลการตัวแปรให้พื้นที่นั้นๆ รับแสงอาทิตย์มากที่สุดตลอดทั้งปี

สำหรับประเทศไทยพื้นที่เกือบทั้งหมดสามารถรับพลังงานแสงอาทิตย์เฉลี่ยประมาณ 4.5 กิโลวัตต์ต่อตารางเมตรต่อวันดังนั้น ในพื้นที่ 1 ตารางกิโลเมตร สามารถติดตั้งระบบผลิตไฟฟ้าพื้นที่ประมาณ 1,500 ตารางกิโลเมตรหรือคิดเป็นพื้นที่ประมาณ 0.3 % ของประเทศไทยเท่านั้น

ในอดีตการผลิตไฟฟ้าจากเซลล์แสงอาทิตย์มีราคาแพงมาก แต่เนื่องจากปัจจุบันราคาของเซลล์แสงอาทิตย์ได้ลดลงอย่างมากและมีแนวโน้มว่าจะลดลงอีกเรื่อยๆ เพราะประชาชนโดยทั่วไปได้ตระหนักถึงภาวะแวดล้อมเป็นพิษ เนื่องจากใช้เชื้อเพลิงในการผลิตพลังงานซึ่งหันมาใช้เซลล์แสงอาทิตย์เพิ่มขึ้นเรื่อยๆ การผลิตไฟฟ้าจากเซลล์แสงอาทิตย์มีจุดเด่นที่สำคัญแตกต่างจากวิธีอื่นหลายประการดังนี้

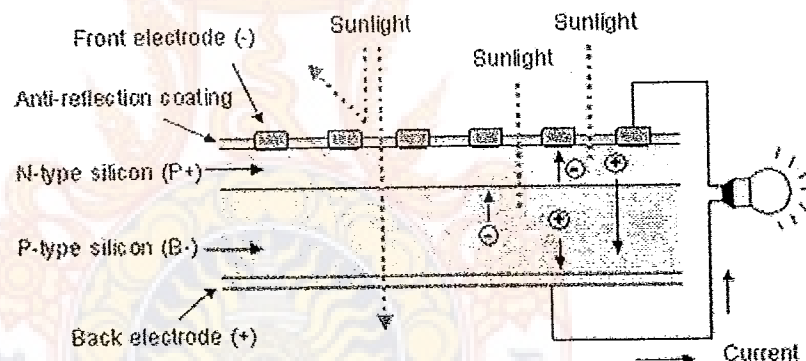
1. ไม่มีขั้นส่วนเคลื่อนไหวในขณะจริจึงไม่ทำให้เกิดผลกระทบทางเสียง
2. ไม่ก่อให้เกิดผลกระทบเป็นพิษจากการกระบวนการผลิตไฟฟ้า
3. มีการนำร่องรักษาอย่างมากและใช้งานแบบอัตโนมัติได้ง่าย
4. ประสิทธิภาพคงที่ไม่เสื่อมกับขนาดจากเซลล์แสงอาทิตย์
5. ผลิตไฟฟ้าได้ทุกชุมชนโลกแม้บนภูเขาเล็กๆ กลางทะเล บนยอดเขาสูงและในอ่าวก้ำ
6. ได้พลังงานไฟฟ้าโดยตรงซึ่งเป็นพลังงานที่นำมาใช้ได้สะดวกที่สุด



ภาพที่ 2-1 แผนที่ศักยภาพพลังงานแสงอาทิตย์ของโลก  
ที่มา: Map World's Solar Energy Resource ออนไลน์

### 2.1.1 โครงสร้างเซลล์แสงอาทิตย์

เซลล์แสงอาทิตย์ทำจากวัสดุสารกึ่งตัวนำ เช่น ซิลิกอน มีทั้งที่เป็นผลึกเดียว ผลึกย่อยและไม่เป็นผลึก หรือเป็นสารอะมอร์ฟิก ซิลิกอนเป็นวัสดุสารกึ่งตัวนำที่มีราคาถูกที่สุด เพราะเป็นธาตุที่มีมากที่สุดในโลกชนิดหนึ่ง สามารถผลิตได้จากถ่านหินและทราย และมีการใช้งานในอุตสาหกรรมอิเล็กทรอนิกส์อย่างกว้างขวาง มีประสิทธิภาพสูงสุดประมาณ 12 – 15% เซลล์แสงอาทิตย์ที่ทำมาจากการผลิตเดียวหนึ่งแผ่นจะมีรูปร่างเป็นผังวงกลม หรือผังสี่เหลี่ยมๆ ที่มีความหนา 200 – 400 ไมครอน (ประมาณ 0.2 – 0.4 มิลลิเมตร) และต้องนำมาผ่านกระบวนการแปรรูปซึ่งการเจือปนในธาตุกลมภูมิสูง (ประมาณ 1000 องศาเซลเซียส) เพื่อสร้างรอยต่อพี-เอ็น ขึ้นไฟฟ้าด้านหลังเป็นผิวสัมผัสโลหะเต็มน้ำและส่วนขึ้นไฟฟ้าด้านหน้าที่รับแสงจะมีลักษณะเป็นลายเส้นคล้ายก้างปลา ผิวทางด้านรับแสงนี้จะเคลือบด้วยทรายแก้ว ( $\text{SiO}_2$ ) เพื่อลดการสะท้อนของแสง

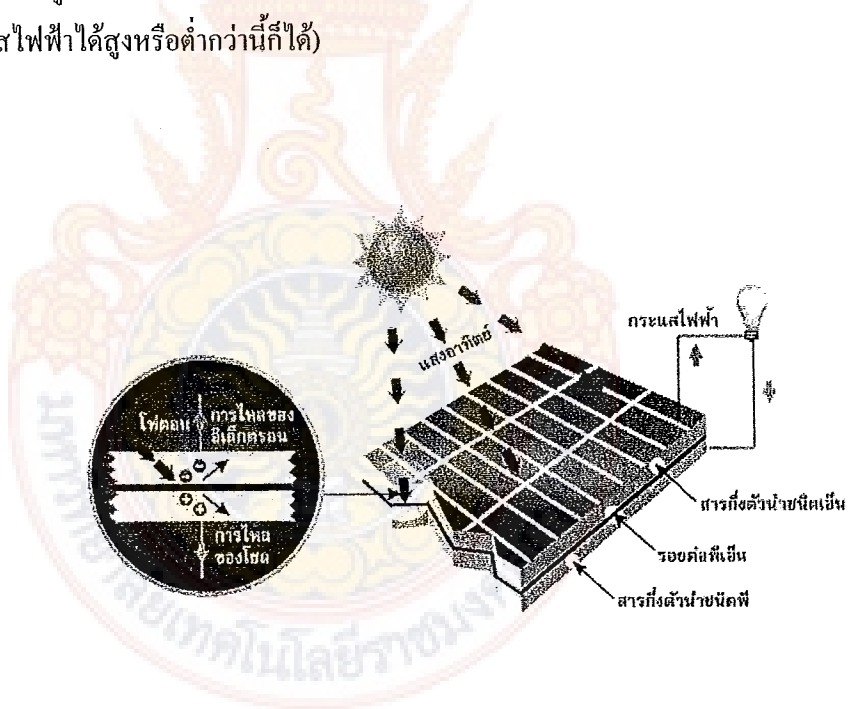


ภาพที่ 2-2 โครงสร้างของเซลล์แสงอาทิตย์

#### 2.1.2 การทำงานของเซลล์แสงอาทิตย์

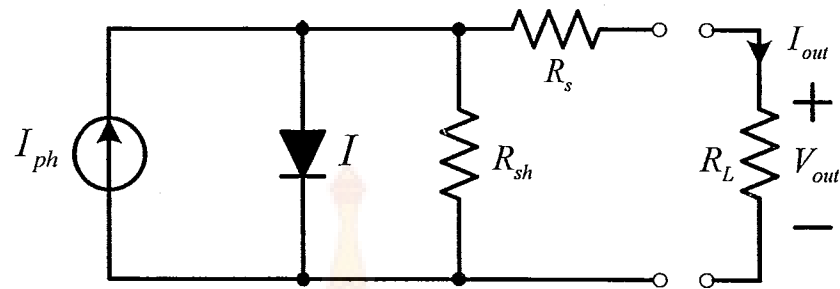
โครงการที่สำคัญของเซลล์แสงอาทิตย์มีลักษณะเหมือนกับไดโอด โดยทั่วๆ ไปซึ่งประกอบด้วยรอยต่อระหว่างวัสดุสารกึ่งตัวนำต่างชนิดกัน 2 ชนิด ได้แก่สารกึ่งตัวนำชนิด P (ขี้วนาก) และสารกึ่งตัวนำชนิด N (ขี้ลับ) สารกึ่งตัวนำที่นำมาใช้งานในลักษณะดังกล่าวส่วนมากเป็นชิลิกอน ดังนั้นเพื่อให้ง่ายต่อการทำความเข้าใจจะกล่าวเฉพาะสารกึ่งตัวนำที่ทำมาจากชิลิกอนเท่านั้น ในปัจจุบันเซลล์แสงอาทิตย์ สามารถผลิตขึ้นจากวัสดุชนิดอื่นๆ ได้ เช่นセルล์แสงอาทิตย์ที่ผลิตขึ้นจากชิลิกอนประกอบด้วยสารกึ่งตัวนำชนิด N ที่ผลิตขึ้นจากพลีกของชิลิกอนที่ได้ผ่านการเติมสารเจือปนจำนวนเล็กน้อย (โดยปกติใช้ฟอร์มาลดีไฮด์) เป็นแนวทางที่ทำให้เกิดอิเล็กตรอนอิสระส่วนเกินชิลิกอนที่ผ่านการเติมสารเจือด้วยกระบวนการดึงกล่าว เรียกว่า สารกึ่งตัวนำชนิด N (ขี้ลับ) และสารกึ่งตัวนำชนิด P พลีกขึ้นจากพลีกของชิลิกอน แต่ใช้สารเจือปนต่างชนิดกันกับชนิดแรก (โดยปกติใช้ไนโตรอน) เป็นแนวทางที่ทำให้วัสดุขาดอิเล็กตรอนอิสระการที่ไม่มีอิเล็กตรอนอิสระดึงกล่าว จึงเรียกว่า โฮล (Hole) ซึ่งเป็นการขาดอิเล็กตรอนที่เป็นประจุลบจึงสามารถพิจารณาเทียบเคียง เป็นอนุภาคของประจุบวกชิลิกอนที่ผ่านการเติมสารเจือด้วยกระบวนการดึงกล่าว เรียกว่า สารกึ่งตัวนำชนิด P (ขี้วนาก) รอยต่อพี - อีน เกิดจากการเชื่อมต่อ กันของสารกึ่งตัวนำที่มีคุณลักษณะต่างกัน ซึ่งจะทำให้เกิดสนามไฟฟ้า (Electric field) ในบริเวณรอยต่อสนาณไฟฟ้า ดึงกล่าวมีลักษณะเหมือนกับสนาณไฟฟ้าสถิต สามารถทำให้เกิดขึ้นได้โดย การถูหรือพลางติกกับเสื้อขนสัตว์ ซึ่งจะทำให้เกิดอนุภาคของประจุลบเคลื่อนที่ไปในทิศทางใดทิศทางหนึ่งและอนุภาคของประจุบวกที่เคลื่อนที่ไปในทิศทางที่ตรงข้ามแสง ประกอบด้วยการ ให้ผลต่อเนื่องของอนุภาคเล็กๆ ของพลังงานที่เรียกว่า โฟตอน (Photons) เมื่อ โฟตอนจากลำแสงที่มีความยาวคลื่นที่เหมาะสม ตกลงบนรอยต่อพี-อีน จะทำให้เกิดการถ่ายเทพลังงานจากโฟตอนไปยังอิเล็กตรอนบางตัวในวัสดุ ซึ่งเป็นการกระตุ้นให้อิเล็กตรอนเปลี่ยนระดับขั้นพลังงานไปยังระดับที่สูงกว่า โดยปกติอิเล็กตรอนดึงกล่าวจะทำให้เกิด โฮลขึ้น ในเวลาเดียวกันอิเล็กตรอนที่เปลี่ยนเป็นอิเล็กตรอนอิสระ จะทำให้เกิด โฮลขึ้นในวัสดุที่สามารถเคลื่อนที่ได้ พลังงานที่ต้องการในการกระตุ้นให้อิเล็กตรอนเคลื่อนที่ไปยังแบบพลังงาน เรียกว่า แอนช่องว่าง อิเล็กตรอนที่ได้รับการกระตุ้นจะเคลื่อนที่ไปอยู่ในชั้นของชิลิกอนชนิด N และ โฮลที่เกิดขึ้นจากการเคลื่อนที่ไปของอิเล็กตรอน จะเคลื่อนที่ไปอยู่ในชั้นของชิลิกอนชนิด P อิเล็กตรอนจะเคลื่อนที่ไปยังที่รวมกระแสที่ผิวด้านหน้าของเซลล์การเคลื่อนที่ของอิเล็กตรอนไปยังบริเวณพลีกชนิด N สามารถทำให้เกิดกระแสไฟฟ้าได้เมื่อต่อไปยังวงจรภายนอก ให้เกิดการ ให้ผลต่อกระแสไฟฟ้าผ่านตลดวงจร การเคลื่อนที่ไปยังวงจรอิเล็กตรอนในกรณีของสารกึ่งตัวนำ โดยการผ่านวัสดุตัวนำที่มีคติดอยู่กับผิวด้านหน้าของเซลล์ ในเวลาเดียวกัน โฮลจะเคลื่อนที่ไปในทิศทางตรงกันข้ามผ่านตลดวงจรเนื้อเซลล์จนไปถึงวัสดุตัวนำ อีกส่วนหนึ่งที่มีคติดอยู่

ด้านล่างของเซลล์ ซึ่งจะทำให้ครบวงจรอโดยร่วมกับอิเล็กตรอนที่อยู่อีกด้านหนึ่งของวงจรภายในอุปกรณ์ ไฟฟ้าตอนมีพลังงานมากกว่าความกว้างของแผ่นซองว่างบะกะบันจะต้องของชิลิกอนจะทำให้เกิดการเพิ่มขึ้นของคุณภาพอิเล็กตรอนและโซล พลังงานที่เหลือจะเปลี่ยนเป็นพลังงานความร้อน แต่ไฟฟ้าตอนมีระดับพลังงานน้อยกว่าความกว้างของแผ่นซองว่างจะเคลื่อนที่ผ่านเซลล์ไป ซึ่งจะไม่ทำให้เกิดพลังงานตลอดระยะเวลาที่เคลื่อนที่ผ่าน อีกทั้งไฟฟ้าตอนมีไฟฟ้าตอนบางส่วนจะห้อนที่ผิวด้านหน้าของเซลล์ที่รับเรือน เมื่อผิวนี้เคลื่อนด้วยสารป้องกันการสะท้อน แม่กระน้ำก็มีไฟฟ้าตอนบางส่วนสูญเสียไปไม่สามารถประทับกับผิวได้ ต่อเนื่องจากถูกปิดบังด้วยอุปกรณ์รวมกระแสที่ด้านหน้าของเซลล์ การเกิดขึ้นของกำลังไฟฟ้าในกรณีการผลิตกำลังไฟฟ้าของเซลล์แสงอาทิตย์ โดยการผลิตแรงเคลื่อนไฟฟ้าให้เกิดขึ้น ดังนั้นกระแสไฟฟ้าจะเกิดขึ้นจากการไหลของอิเล็กตรอนในส่วนของแรงดันไฟฟ้าเกิดขึ้นเป็นผลมาจากการเกิดสนามไฟฟ้าภายในบริเวณรอบตัวไฟฟ้า - เอ็น สำหรับเซลล์แสงอาทิตย์ที่ผลิตขึ้นจากชิลิกอนแบบพลีกเดี่ยว ขนาดปกติจะออกแบบให้ผลิตแรงดันไฟฟ้าประมาณ 0.5 โวลต์ ที่กระแสไฟฟ้าประมาณ 2.5 แอมป์ ดังนั้นจะเกิดกำลังไฟฟ้าสูงสุดที่ประมาณ 1.25 วัตต์ (ขึ้นอยู่กับรายละเอียดในการออกแบบ ซึ่งเซลล์แสงอาทิตย์แบบอื่นๆ อาจผลิตแรงเคลื่อนหรือกระแสไฟฟ้าได้สูงหรือต่ำกว่านี้ได้)



ภาพที่ 2-3 การทำงานของเซลล์แสงอาทิตย์

### 2.1.3 วงจรสมมูลของเซลล์แสงอาทิตย์



ภาพที่ 2-4 วงจรสมมูลของเซลล์แสงอาทิตย์

จากภาพที่ 2-4 ถ้าเซลล์แสงอาทิตย์ไม่ถูกส่องคิวบ์แสงความสัมพันธ์ระหว่างกระแสไฟฟ้า มีค่า ( $I$ ) ของเซลล์แสงอาทิตย์ได้จาก

$$I = I_o \left[ \exp\left(\frac{qV_g}{A_o kT}\right) - 1 \right] \quad (2.1)$$

เมื่อ  $V_g$  คือ แรงดันที่เกิดขึ้นระหว่างหัวต่อ  
 $A_o$  คือ กระแสไฟฟ้าอ่อนกลับอิมตัว

ดังนั้นกระแสไฟฟ้าเอาต์พุต ( $I_{out}$ ) ที่เหลือออกสู่ภายนอกจะได้ดังนี้

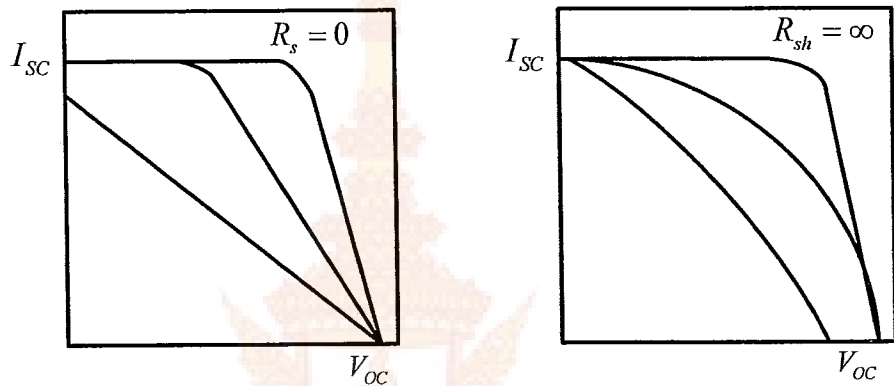
$$I = I_{ph} - I_o \left[ \exp\left(\frac{qV_g}{A_o kT}\right) - 1 \right] \quad (2.2)$$

ถ้าพิจารณาความต้านทานของเซลล์แสงอาทิตย์ ซึ่งได้แก่ ความต้านทานอนุกรม ( $R_s$ ) และ ความต้านทานขนาน ( $R_{sh}$ ) ด้วยจะทำให้กระแสไฟฟ้าเอาต์พุต ( $I_{out}$ ) มีค่า

$$I_{out} = I_{ph} - I_o \left[ \exp\left(\frac{q(V_{out} - IR_s)}{A_o kT}\right) - 1 \right] - \left( \frac{V_{out} - IR_s}{R_{sh}} \right) \quad (2.3)$$

#### 2.1.4 ผลของ ( $R_s$ ) และ ( $R_{sh}$ ) ที่มีต่อเซลล์แสงอาทิตย์

ผลของตัวต้านทานที่ต่ออนุกรม ( $R_s$ ) และตัวต้านทานที่ต่อขานาน ( $R_{sh}$ ) ที่มีผลต่อเซลล์แสงอาทิตย์สามารถเห็นได้จากภาพที่ 2-5 โดยผลของตัวต้านทานที่ต่ออนุกรม ( $R_s$ ) คือค่ากระแสไฟฟ้าลัดวงจร ( $I_{sc}$ ) และฟิลล์แฟกเตอร์ ( $FF$ ) จะมีค่ามากเมื่อตัวต้านทานที่ต่ออนุกรม ( $R_s$ ) มีค่าน้อยและส่วนของตัวต้านทานที่ต่อขานาน ( $R_{sh}$ ) จะทำให้แรงดันไฟฟ้าງจรเปิด ( $V_{oc}$ ) และฟิลล์แฟกเตอร์ ( $FF$ ) มีค่ามากเมื่อตัวต้านทานที่ต่อขานาน ( $R_{sh}$ ) มีค่ามาก



ภาพที่ 2-5 ผลของ  $R_s$  และ  $R_{sh}$  ที่มีต่อเซลล์แสงอาทิตย์

#### 2.1.5 ประสิทธิภาพของเซลล์แสงอาทิตย์ ( $\eta$ )

ประสิทธิภาพของเซลล์แสงอาทิตย์ ( $\eta$ ) เป็นสิ่งสำคัญที่สุดในการกำหนดคุณภาพของเซลล์แสงอาทิตย์จะมีค่าสูงต่อเมื่อกระแสไฟฟ้าลัดวงจร ( $I_{sc}$ ) แรงดันไฟฟ้าງจรเปิด ( $V_{oc}$ ) และฟิลล์แฟกเตอร์ ( $FF$ ) มีค่าสูงและจะมีประสิทธิภาพลดต่ำลง เมื่อค่าความต้านทานที่ต่ออนุกรม ( $R_s$ ) มีค่าสูง และความต้านทานที่ต่อขานาน ( $R_{sh}$ ) มีค่าต่ำประสิทธิภาพของเซลล์แสงอาทิตย์ ( $\eta$ ) ในการเปลี่ยนพลังงานแสงเป็นพลังงานไฟฟ้าสามารถหาได้จาก

$$\eta = \frac{P_{out}}{P_{in}} \times 100\% = \frac{V_{max} \times I_{max}}{P_{in}} = \frac{V_{oc} \times I_{sc} \times FF}{P_{in}} \times 100\% \quad (2.4)$$

### 2.1.6 ประเภทของเซลล์แสงอาทิตย์

#### 2.1.6.1 เซลล์แสงอาทิตย์ที่ทำจากซิลิโคน แบ่งตามลักษณะของรูปปั๊กได้เป็น 3

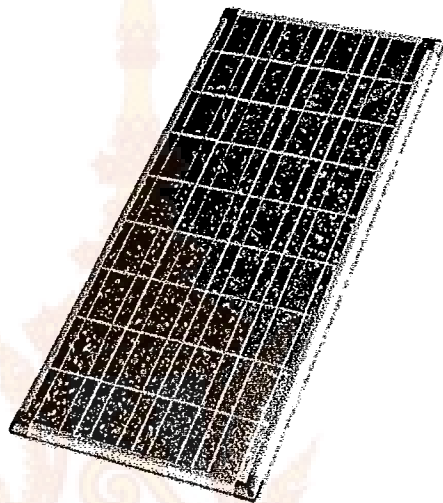
รูปแบบ คือ

1) แบบพลีกเดียว (Single Crystalline) คือ ซิลิโคนซึ่งผ่านการทำให้เป็นก้อนที่มีความบริสุทธิ์สูงมากถึง 99.99% ไปหยอดลายที่อุณหภูมิที่สูงถึง 1,500 องศาเซลเซียส เพื่อทำการสร้างแท่งพลีกเดียวแบบขนาดใหญ่เส้นผ่านศูนย์กลางประมาณ 6 - 8 นิ้ว จากด้านพลีกด้วยเทคโนโลยีการดึงพลีกคุณภาพของพลีกเดียวจะสำคัญมากต่อคุณสมบัติของเซลล์แสงอาทิตย์ ต่อไปก็นำแท่งพลีกเดียวที่ได้มาตัดเป็นแผ่นๆ เรียกว่า เวเฟอร์ หนาประมาณ 300 ไมครเมตรและขัดความเรียบของผิว จากนั้น ก็จะนำไปเจือสารที่จำเป็นในการทำให้เกิดรอยต่อฟี – เอ็น ขึ้นบนแผ่นเวเฟอร์ตัววิธีการ Diffusion ที่อุณหภูมิระดับ 1,000 องศาเซลเซียส หลังจากนั้นก็จะเป็นขั้นตอนการทำข้าไฟฟ้าเพื่อที่จะนำกระแสไฟฟ้าออกไปใช้ และขั้นตอนสุดท้ายก็จะเคลือบฟิล์มพิวน้ำเพื่อป้องกันการสะท้อนแสงให้น้อยที่สุด แม้ว่าขั้นตอนการผลิตจะค่อนข้างซับซ้อนและอุณหภูมิที่ใช้จะค่อนข้างสูงทำให้ต้องใช้พลังงานมาก เป็นผลให้ต้นทุนการผลิตสูงตามไปด้วย ปัจจุบันการวิจัยและพัฒนาเพื่อลดความซับซ้อนและต้นทุนการผลิตยังมีอย่างต่อเนื่อง



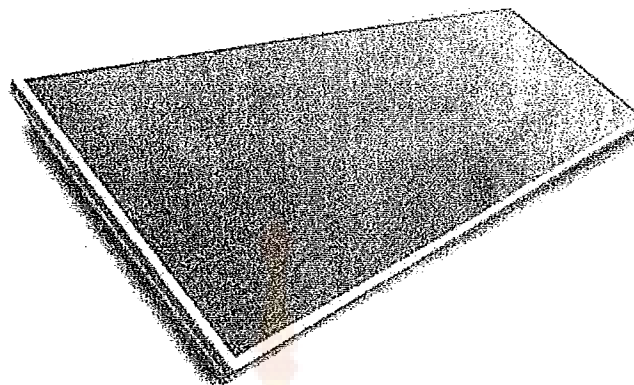
ภาพที่ 2-6 ลักษณะของเซลล์แสงอาทิตย์แบบพลีกเดียว

2) เซลล์แสงอาทิตย์แบบผลึกโพลี ได้ถูกพัฒนาเพื่อแก้ไขปัญหาด้านทุนของแบบผลึกเดี่ยว ซึ่ลิกอนแบบผลึกโพลี ก็คือก้อนซิลิกอนที่เกิดจากการรวมตัวกันของชิ้นเล็กๆ ขนาดระดับ ไมโครเมตรหรือมิลลิเมตร ของผลึกเดี่ยวซิลิกอนการผลิตแบบ Cast โดยจะเทซิลิกอนที่หลอมละลายเข้าใน Crucible แล้วปล่อยให้เย็นลงอย่างช้าๆ ซึ่งจะได้ซิลิกอน ingot ที่มีรูปร่างตาม Crucible ที่ใช้หลังจากนั้นการนำไปทำเซลล์แสงอาทิตย์จะคล้ายกับวิธีการทำผลึกเดี่ยว ก่อนนำไปตัดเร哉เพอร์ หนาขนาด 300 – 400 ไมโครเมตร แล้วก็ทำไว้ให้เกิดรอยต่อพี – อินต่อไป



ภาพที่ 2-7 ลักษณะของเซลล์แสงอาทิตย์แบบผลึกโพลี

3) เซลล์แสงอาทิตย์แบบอะมอร์ฟัส มีวิธีการผลิตที่แตกต่างจากแบบผลึกเดี่ยวโดยสิ้นเชิง โดยจะเป็นลักษณะของแผ่นฟิล์มบางไม่ใช่เฟอร์เรจสร้างแผ่นฟิล์มบางของซิลิกอนบนแผ่นฐานรอง โดยใช้เทคนิคที่เรียกว่า CVD (Chemical Vapor Deposition) ซึ่งจะมีระบบนำก๊าซที่มีซิลิกอนติดอยู่ เช่น ไฮเรนก๊าซ ผ่านเข้าไปในห้องสูญญากาศและตรงบริเวณที่วางแผ่นฐานรองก็จะมีการกระตุ้นโดยพลาสม่าเพื่อส่งพลังงานให้ซิลิกอนแยกตัวออกจากก๊าซเข้าไปจับตัวกันบนแผ่นฐานรองโดยส่วนใหญ่จะเป็นแก้ว สแตนเลส หรือพลาสติก ซึ่งทำได้จากการเคลือบชั้นตัวนำโลหะ上去รังแสงไว้ก่อน โดยมีอุณหภูมิบนแผ่นฐานรองประมาณ 200 – 3000 องศาเซลเซียส ซิลิกอนจะสะสมทั่วบน แผ่นเกิดเป็นอะมอร์ฟัสซิลิกอนในขั้นตอนนี้เราใส่ก๊าซคาร์บอนเข้าไปด้วยจะได้แผ่นฟิล์มที่เป็นอะมอร์ฟชนิด P และถ้าหากใส่ก๊าซที่มีฟอสฟิล์สเราจะได้แผ่นฟิล์มอะมอร์ฟชนิด N ซึ่งเสร็จในส่วนนี้แล้วเราจะสร้างส่วนของชั้นไฟฟ้าให้เสร็จเมื่อเซลล์แสงอาทิตย์



ภาพที่ 2-8 ลักษณะของเซลล์แสงอาทิตย์แบบอะมอร์ฟัส

2.1.6.2 เซลล์แสงอาทิตย์ที่ทำจากสารประกอบ เช่น สารประกอบแกลเลียมอาเซไนด์ แอดเมียมเทลเลอไรด์ คือเปอร์อินเดียมไดอาเซไนด์ เป็นต้น ซึ่งมีทั้งแบบผลึกเดี่ยว และผลึกรวมส่วนใหญ่มีประสิทธิภาพสูง ข้อเสียของเซลล์แสงอาทิตย์พวทนี้ คือ มีราคาแพง บางชนิดทำจากสารที่เป็นพิษต่อสภาวะแวดล้อมและบัง礙ปัญหาเรื่องอายุการใช้งานอีกด้วย จึงไม่เป็นที่นิยมในการใช้งาน

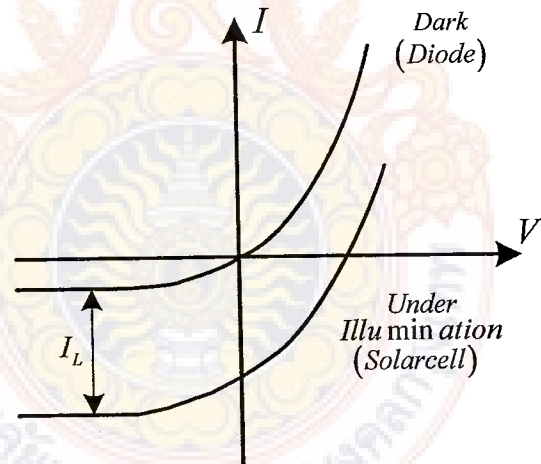
ตารางที่ 2-1 จุดเด่นจุดด้อยของเซลล์แสงอาทิตย์แบบต่างๆ

ชนิด	ประสิทธิภาพ	พลังงานในการผลิต	ราคา	วัตถุดิบ	คุณภาพ	สิ่งแวดล้อม
ซิลิกอนผลึกเดี่ยว	15-24%	ต่ำ	แพง	ดี	ดีมาก	ดีมาก
โพลีซิลิกอน	10-17%	ดี	ถูก	ดี	ดี	ดีมาก
อะมอร์ฟัสซิลิกอน	8-13%	ดีมาก	ถูกมาก	ดีมาก	ดี	ดีมาก
GaAs	18-30%	ต่ำ	แพงมาก	ไม่ดี	ดีมาก	ไม่ดี
CdS/CdTe	10-15%	ดี	ถูก	ไม่ดี	ดี	ไม่ดี

ตารางที่ 2-2 ประสิทธิภาพของเซลล์แสงอาทิตย์แบบต่างๆ

ประเภทของเซลล์ แสงอาทิตย์	สารกึ่งตัวนำที่เป็น วัตถุคุณ	ประสิทธิภาพของ เซลล์แสงอาทิตย์	ประสิทธิภาพของ โนดูล
ซิลิกอนแบบผลึก	ผลึกเดี่ยว	15-24%	10-14%
ซิลิกอนแบบผลึก	ผลึกคู่	10-17%	9-12%
ซิลิกอนแบบ อะมอร์ฟัส	Amorphous – Silicon Amorphous – SiC. Amorphous – SiGe	8-13%	6-9%

2.1.7 คุณลักษณะทางไฟฟ้าของเซลล์แสงอาทิตย์จะมีรายต่อของซิลิกอนชนิดรอยต่อฟี – เอ็น ซึ่งจะมีลักษณะเหมือนกับไดโอดหัวไวไป ดังนั้นคุณสมบัติทางไฟฟ้าของเซลล์แสงอาทิตย์จึงมีลักษณะเหมือนคุณสมบัติทางไฟฟ้าของไดโอดทุกประการ ดังแสดงในภาพที่ 2-9



ภาพที่ 2-9 คุณสมบัติทางไฟฟ้าของเซลล์แสงอาทิตย์

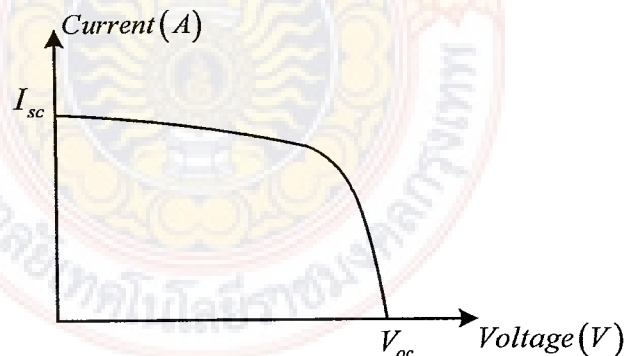
จากภาพที่ 2-9 คุณสมบัติทางไฟฟ้าของเซลล์แสงอาทิตย์จะมีอยู่ในสภาพไม่มีแสงตกกระทบ ซึ่งมีชนิด N จะมีแรงบังส่วนถูกดูดกลืนโดยเนื้อสาร แต่จะมีแรงส่วนใหญ่ผ่านไปยังรอยต่อระหว่างชิลิกอน N กับชิลิกอน P ส่งผลให้เกิดการเคลื่อนที่ของอิเล็กตรอนอิสระทำให้เกิดความต่างศักย์ไฟฟ้าขึ้นภายในสารกึ่งตัวนำ เมื่อต่อสายไฟฟ้าเข้ากับขั้วอิเล็กโตรดไปยังวงจรภายนอกจะทำให้การไหลของกระแสไฟฟ้าขึ้นในวงจร ขนาดของกระแสไฟฟ้าที่ไหลในวงจรจะขึ้นอยู่กับขนาดของความเข้มของแสงที่ตกกระทบบนเซลล์แสงอาทิตย์และพื้นที่ของเซลล์แสงอาทิตย์ที่มีแรงมาตรฐานตกกระทบส่วนขนาดของแรงดันไฟฟ้าของเซลล์แสงอาทิตย์

คุณลักษณะทางไฟฟ้าของเซลล์แสงอาทิตย์สามารถแสดงได้โดยใช้ I-V Curve ซึ่งเป็นประโยชน์มากสำหรับใช้ตรวจสอบการผลิตสูงสุดของเซลล์แสงอาทิตย์

I คือ กระแสไฟฟ้าซึ่งแทนด้วยกราฟแกน Y

V คือ แรงดันไฟฟ้าซึ่งแทนด้วยกราฟแกน X

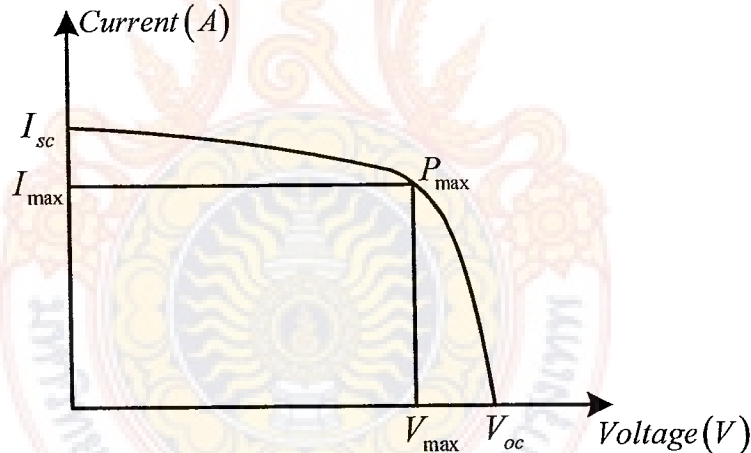
I-V Curve มาตรฐานที่ใช้สำหรับการหาค่าลังเหลิตสูงสุดของแรงดันไฟฟ้าที่มีมาตรฐานนี้ได้มาจากการทดสอบในสภาพมาตรฐานที่กำหนด โดยใช้แสงสว่างมาตรฐาน Solar simulator ที่สภาพมาตรฐาน คือ ที่ความเข้มแสงอาทิตย์ 1,000 วัตต์ / ตารางเมตร ด้านนีบวกองากาศ 1.5 และอุณหภูมิของเซลล์ที่ 25 องศาเซลเซียส



ภาพที่ 2-10 กราฟกระแสและแรงดันไฟฟ้า (I-V Curve)

ในการสร้างกราฟกระแสและแรงดันไฟฟ้า อันดับแรกที่ต้องการวัด คือ แรงดันไฟฟ้าไม่มีการต่อโหลดที่มีค่าต่างๆ กันค่าของกระแสและแรงดันไฟฟ้าจะถูกเก็บบันทึกไว้เมื่อต่อจุดทุกจุดเข้าด้วยกันจะเกิดเป็น I-V Curve ภายใต้สภาวะเฉพาะของ Irradiance และอุณหภูมิต่างๆ กัน สิ่งที่น่าสนใจที่สุด ก็คือกำลังงานสูงสุด (Maximum power) ที่ได้ในแต่ละสภาวะภายใต้สภาวะนั้นๆ ในทางไฟฟ้ากำลังงานที่ได้มีหน่วยเป็นวัตต์ ซึ่งเกิดจากแรงดันไฟฟ้าและกระแสไฟฟ้า กำลังงานสูงสุดนี้จะถูกระบุไว้ในข้อกำหนด (Specification) ของเซลล์แสงอาทิตย์จากบริษัทผู้ผลิต

2.1.8 ข้อกำหนดของกำลังผลิตสูงสุด (The peak power specification) กำลังผลิตสูงสุดที่ใช้วัดกำลังไฟฟ้าสูงสุดของแผงเซลล์แสงอาทิตย์ภายใต้สภาวะมาตรฐานที่ใช้ในการทดสอบ ซึ่งมีหน่วยเป็นวัตต์ กำลังผลิตสูงสุดของแผงเซลล์แสงอาทิตย์ที่บริษัทผู้ผลิตแสดงไว้ในแผงนั้น ได้จาก I-V Curve ที่ทดสอบในสภาวะมาตรฐาน โดยกำหนดความเข้มของแสงตกกระแทบที่ 1,000 วัตต์ต่อตารางเมตร และที่อุณหภูมิของเซลล์ 25 องศาเซลเซียส



ภาพที่ 2-11 กราฟกระแสและแรงดันที่กำลังไฟฟ้าสูงสุด

กำลังไฟฟ้าสูงสุดของระบบเซลล์แสงอาทิตย์จะสัมพันธ์กับความเข้มของแสงอาทิตย์ และ อุณหภูมิของแผงเซลล์แสงอาทิตย์เป็นสำคัญ ในการใช้งานเพื่อให้เกิดกำลังงานสูงสุด จึงจำเป็นต้อง มีอุปกรณ์ต่อพ่วงกับระบบเซลล์แสงอาทิตย์ เรียกว่า Maximum Power Point Tracking (MPPT) คือ เป็นตัวที่กำหนดจุดทำงานของแผงเซลล์แสงอาทิตย์ที่จุดให้กำลังสูงสุดจากกราฟกระแสและ แรงดันไฟฟ้า ซึ่งจุด MPPT นี้สามารถใช้งานได้โดยตรงกับปั๊มน้ำ ประจุแบตเตอรี่ และเครื่องแปลง กระแส (Inverter) ซึ่งเครื่องแปลงกระแสที่ออกแบบอย่างดีจะมีอุปกรณ์ MPPT อยู่ในเครื่องแล้ว

ภาพที่ 2-11 แสดงตัวอย่างลักษณะสมบัติເອົາຕີພຸດຂອງเซลล์แสงอาทิตຍ໌ ຈຸດທີ່ກຣາຟຕັດແກນ ແຮງເຄື່ອນເຄື່ອນແຮງດັນໄຟຟ້າທີ່ວົງຈະປຶດ ຈຸດກຣາຟຕັດແກນກະແສໄຟຟ້າ ຄືກະຮະແສໄຟຟ້າລັດວົງຈະໃນ ການໃຊ້ຈານເຫຼຸດລັດວົງຈະທີ່ກໍາລັງໄຟຟ້າສູງສຸດ  $P_{\max}$  (Maximum Power) ທີ່ເຮົາຈະໄດ້ຈາກເຫຼຸດ ແສງອາທິຍ໌ຈະເຫັນກັບພື້ນທີ່ສີ່ເຫັນພື້ນຝ້າທີ່ໃໝ່ທີ່ສຸດກາຍໃນກຣາຟດັກນະສົມບົດນີ້ ທີ່ຈຶ່ງແສດງຕ້ວຍເສັ້ນ ໄປປາໃນກາພທີ່ 2-11 ດ້ວຍໄໝ  $V_{\max}$  (Maximum Voltage) ແລະ  $I_{\max}$  (Maximum Current) ຄືກ່ອນ ແຮງເຄື່ອນໄຟຟ້າສູງສຸດແລະກະຮະແສໄຟຟ້າສູງສຸດຕາມລຳດັບທີ່ຈະໄກ້ກໍາລັງໄຟຟ້າສູງສຸດ ດັ່ງນັ້ນ

$$P_{\max} = V_{\max} \times I_{\max} \quad (2.5)$$

ໃນການວິເຄາະທີ່ຄູນລັກນະທາງໄຟຟ້າຈະຕ້ອງຄຳນິ້ງຄົງພາຣາມີເຕອຣ໌ທີ່ມີພລກະຮບຕ່ອງກາຮ ເປີດຢືນແປງຂອງກະຮະແສໄຟຟ້າແລະແຮງດັນໄຟຟ້າຂອງເຫຼຸດລັດວົງຈະທີ່ກໍາລັງໄຟຟ້າ

ການແສດງຄູນລັກນະທາງໄຟຟ້າຂອງເຫຼຸດລັດວົງຈະທີ່ກໍາລັງໄຟຟ້າ

- 1) ແຮງດັນໄຟຟ້າວົງຈະປຶດ (Open Circuit Voltage,  $V_{oc}$ ) ເປັນແຮງເຄື່ອນໄຟຟ້າທີ່ວັດໄດ້ຂະໜາດທີ່ເຫຼຸດລັດວົງຈະທີ່ຈຸກເປີດວົງຈະ ເມື່ອຮອຍຕ່ອງຮວ່າງຈີລິກອນໜີດພົກບໍລິກອນໜີດເອັນໄດ້ຮັບແສງ ກະຮະແສໄຟຟ້າທີ່ໄໝລວມໃນວົງຈະໃນຂະນັ້ນເປັນຄູນຍໍ
- 2) ກະຮະແສໄຟຟ້າລັດວົງຈະ (Short Circuit Current,  $I_{sc}$ ) ເປັນກະຮະແສໄຟຟ້າທີ່ວັດໄດ້ຂະໜາດທີ່ເຫຼຸດລັດວົງຈະທີ່ມີເຫຼຸດລັດວົງຈະ ເມື່ອເຫຼຸດລັດວົງຈະທີ່ໄດ້ຮັບແສງຈະທຳໄຫ້ເກີດກະຮະແສໄຟຟ້າໄໝລາຈັກເຫຼຸດລັດວົງຈະທີ່ຜ່ານໄປຢັງຈະກາຍນອກ ຜົ່ງກາຍໃນສກວະນິ້ກະຮະແສໄຟຟ້າຈະມີຄ່າສູງສຸດ
- 3) ກໍາລັງໄຟຟ້າສູງສຸດ (Maximum Power,  $P_{\max}$ ) ເປັນພລກູນຂອງແຮງເຄື່ອນໄຟຟ້າກັບ ກະຮະແສໄຟຟ້າທີ່ເຫຼຸດລັດວົງຈະທີ່ຈ່າຍອົກມາມີຄ່າສູງສຸດ ສາມາຮວັດໄດ້ຂະໜາດທີ່ຕ່ອງກາຮະທາງໄຟຟ້າທີ່ມີຄ່າ ແໜາະສົມຄ່າທີ່ນີ້ສໍາຫັບເຫຼຸດລັດວົງຈະທີ່ແບບຈີລິກອນຈະມີກໍາລັງໄຟຟ້າສູງສຸດອູ້ໆທີ່ແຮງເຄື່ອນໄຟຟ້າ ປະມາດ 0.45 ວິລຕ໌/ເຫຼຸດລັດ

4) ค่าไฟล์แฟคเตอร์ เป็นค่าที่ใช้กำหนดคุณค่าของเซลล์แสงอาทิตย์เป็นอัตราส่วนระหว่างค่ากำลังไฟฟ้าสูงสุดที่เซลล์แสงอาทิตย์จ่ายได้จริงกับผลคุณของกระแสไฟฟ้าลัดวงจรกับแรงเกลื่อนไฟฟ้าของจรเปิด สำหรับการทดสอบที่ภาวะมาตรฐานค่าไฟล์แฟคเตอร์จะมีค่าอยู่ระหว่าง 0.6 – 0.8

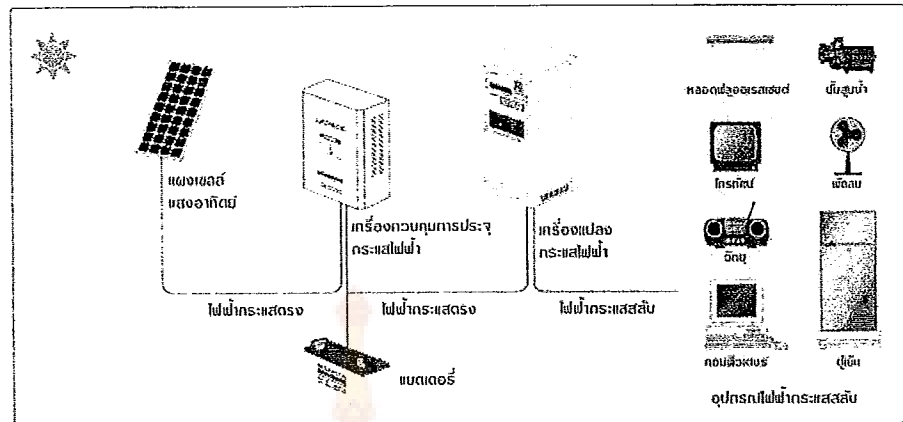
5) ประสิทธิภาพในการเปลี่ยนพลังงาน เป็นอัตราส่วนของกำลังไฟฟ้าสูงสุดที่เซลล์แสงอาทิตย์ผลิต ได้กับพลังงานความเข้มรังสีที่ตกกระทบบนเซลล์แสงอาทิตย์

#### 2.1.9 เทคโนโลยีพัฒนาเซลล์แสงอาทิตย์

การผลิตกระแสไฟฟ้าด้วยเซลล์แสงอาทิตย์ แบ่งออกเป็น 3 ระบบ คือ

2.1.9.1 เซลล์แสงอาทิตย์แบบอิสระ (PV Stand alone system) เป็นระบบผลิตไฟฟ้าที่ได้รับการออกแบบสำหรับใช้งานในพื้นที่ชนบทที่ไม่มีระบบสายสั่งไฟฟ้า อุปกรณ์ระบบที่สำคัญประกอบด้วยแผงเซลล์แสงอาทิตย์ อุปกรณ์ควบคุมการประจุแบตเตอรี่ แบตเตอรี่ และอุปกรณ์เปลี่ยนระบบไฟฟ้ากระแสตรงเป็นกระแสสลับแบบอิสระ

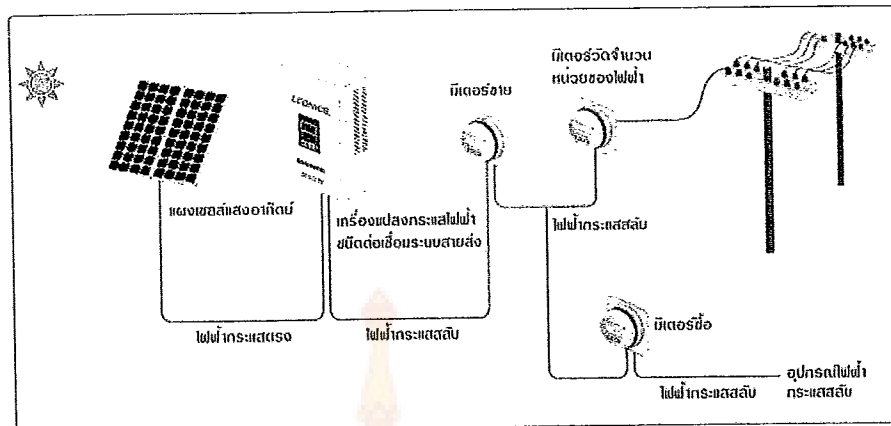
ระบบผลิตไฟฟ้าด้วยเซลล์แสงอาทิตย์แบบอิสระ ได้รับการออกแบบสำหรับใช้งานในพื้นที่ชนบทที่ไม่มีระบบจำหน่ายไฟฟ้าจาก National Grid โดยมีหลักการทำงาน แบ่งได้เป็น 2 ช่วงเวลา กล่าวคือ ช่วงเวลากลางวัน เซลล์แสงอาทิตย์ได้รับแสงแดดสามารถผลิตไฟฟ้าจ่ายให้แก่โหลดพร้อมทั้งประจุพลังงานไฟฟ้าส่วนเกินไว้ในแบตเตอรี่พร้อมๆ กัน ส่วนในช่วงเวลากลางคืนเซลล์แสงอาทิตย์ไม่ได้รับแสงแดดจึงไม่สามารถผลิตไฟฟ้าได้ ดังนั้น พลังงานจากแบตเตอรี่ที่เก็บประจุไว้ในช่วงเวลากลางวันจะถูกจ่ายให้แก่โหลด จึงสามารถอคล่องตัวได้ว่า ระบบผลิตไฟฟ้าด้วยเซลล์แสงอาทิตย์แบบอิสระสามารถจ่ายกระแสไฟฟ้าให้โหลดได้ทั้งกลางวันกลางคืน อุปกรณ์ระบบที่สำคัญประกอบด้วยแผงเซลล์แสงอาทิตย์ อุปกรณ์ควบคุมการประจุแบตเตอรี่ แบตเตอรี่ และอุปกรณ์เปลี่ยนระบบไฟฟ้ากระแสตรงเป็นไฟฟ้ากระแสสลับชนิด Stand alone เป็นต้น



ภาพที่ 2-12 เซลล์แสงอาทิตย์แบบอิสระ (PV Stand alone system)

2.1.9.2 เซลล์แสงอาทิตย์แบบต่อ กับระบบจำหน่าย (PV Grid connected system) เป็นระบบผลิตไฟฟ้าที่ถูกออกแบบสำหรับผลิตไฟฟ้าผ่านอุปกรณ์เปลี่ยนระบบไฟฟ้ากระแสตรง เป็นไฟฟ้ากระแสสลับเข้าสู่ระบบสายส่งไฟฟ้าโดยตรง ใช้ผลิตไฟฟ้าในเขตเมืองหรือพื้นที่ที่มีระบบจำหน่ายไฟฟ้าเข้าถึง อุปกรณ์ระบบที่สำคัญประกอบด้วยแพงเซลล์แสงอาทิตย์ อุปกรณ์เปลี่ยนระบบไฟฟ้ากระแสตรงเป็นไฟฟ้ากระแสสลับชนิดต่อ กับระบบจำหน่ายไฟฟ้า

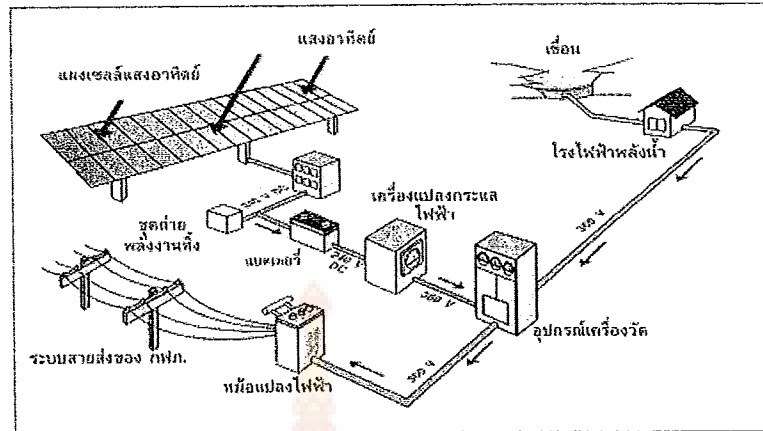
เป็นระบบผลิตไฟฟ้าด้วยเซลล์แสงอาทิตย์ที่ถูกออกแบบสำหรับผลิตไฟฟ้าผ่านอุปกรณ์เปลี่ยนระบบไฟฟ้ากระแสตรงเป็นไฟฟ้ากระแสสลับเข้าสู่ระบบจำหน่ายไฟฟ้าโดยตรง มีหลักการทำงานแบ่งเป็น 2 ช่วง กล่าวคือ ในช่วงเวลากลางวันเซลล์แสงอาทิตย์ได้รับแสงแดดสามารถผลิตไฟฟ้าจ่ายให้แก่โภคดิ้ดโดยตรง โดยผ่านอุปกรณ์เปลี่ยนระบบไฟฟ้ากระแสตรงเป็นไฟฟ้ากระแสสลับและหากมีพลังงานไฟฟ้าส่วนที่เกินจะถูกจ่ายเข้าระบบจำหน่ายไฟฟ้า สังเกตได้เนื่องจากมิเตอร์วัดพลังงานไฟฟ้าจะหมุนกลับทาง ส่วนในช่วงเวลากลางคืนเซลล์แสงอาทิตย์ไม่สามารถผลิตไฟฟ้าได้กระแสไฟฟ้าจากระบบจำหน่ายไฟฟ้าจะจ่ายให้แก่โภคดิ้ดโดยตรง สังเกตได้เนื่องจากมิเตอร์วัดพลังงานไฟฟ้าจะหมุนปกติ ดังนั้นระบบผลิตกระแสไฟฟ้าด้วยเซลล์แสงอาทิตย์แบบต่อ กับระบบจำหน่ายจะเป็นการใช้งานเซลล์แสงอาทิตย์ผลิตไฟฟ้าในเขตเมืองหรือพื้นที่ที่มีระบบจำหน่ายไฟฟ้าเข้าถึงอุปกรณ์ระบบที่สำคัญ ประกอบด้วยแพงเซลล์แสงอาทิตย์ อุปกรณ์เปลี่ยนระบบไฟฟ้ากระแสตรงเป็นไฟฟ้ากระแสสลับชนิดต่อ กับระบบจำหน่ายไฟฟ้าของการไฟฟ้าเป็นต้น



ภาพที่ 2-13 เซลล์แสงอาทิตย์แบบต่อ กับระบบจำหน่าย (PV Grid connected system)

2.1.9.3 เซลล์แสงอาทิตย์แบบผสมผสาน(PV Hybrid system) เป็นระบบผลิตไฟฟ้าที่ถูกออกแบบสำหรับทำงานร่วมกับอุปกรณ์ผลิตไฟฟ้าอื่นๆ เช่นระบบเซลล์แสงอาทิตย์กับพลังงานลม และเครื่องยนต์ดีเซล ระบบเซลล์แสงอาทิตย์กับพลังงานลม และไฟฟ้าพลังงานน้ำ เป็นต้น โดยรูปแบบระบบจะขึ้นอยู่กับการออกแบบตามวัตถุประสงค์โครงการเป็นกรณีเฉพาะ

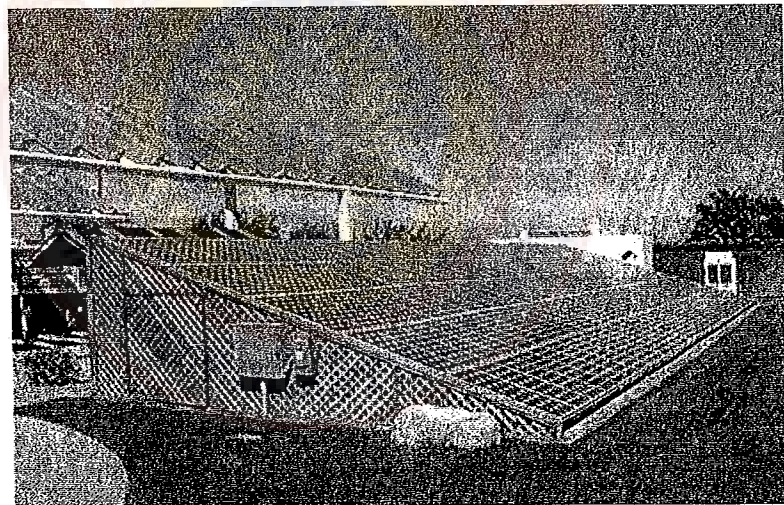
ในระบบผลิตไฟฟ้าด้วยเซลล์แสงอาทิตย์ที่ถูกออกแบบสำหรับทำงานร่วมกับอุปกรณ์ผลิตไฟฟ้าอื่นๆ เช่นระบบเซลล์แสงอาทิตย์กับพลังงานลม และเครื่องยนต์ดีเซล ระบบเซลล์แสงอาทิตย์กับพลังงานลม และไฟฟ้าพลังงานน้ำ เป็นต้น โดยรูปแบบระบบจะขึ้นอยู่กับการออกแบบตามวัตถุประสงค์โครงการเป็นกรณีเฉพาะ เช่น ระบบเซลล์แสงอาทิตย์กับพลังงานลม และเครื่องยนต์ดีเซล มีหลักการทำงาน กล่าวคือ ในช่วงเวลากลางวัน เซลล์แสงอาทิตย์ได้รับแสงแดดสามารถผลิตไฟฟ้าได้ จะจ่ายกระแสไฟฟ้าผ่านอุปกรณ์เปลี่ยนระบบไฟฟ้ากระแสสลับชนิด Multi Function ทำงานร่วมกับไฟฟ้าจากพลังงานลม จ่ายกระแสไฟฟ้าให้แก่โหลดพร้อมทั้งทำการประจุไฟฟ้าส่วนเกินไว้ในแบตเตอรี่ในกรณีพลังงานต่ำไม่สามารถผลิตกระแสไฟฟ้าได้ หรือเวลากลางคืนไม่มีไฟฟ้าจากเซลล์แสงอาทิตย์ชุดแรกเตอรี่จะจ่ายกระแสไฟฟ้าให้แก่โหลด และกรณีแบตเตอรี่จ่ายกระแสไฟฟ้ามากจนถึงพิกัดที่ออกแบบไว้ เครื่องยนต์ดีเซลจะทำงานโดยอัตโนมัติเป็นอุปกรณ์สำรองพลังงาน กล่าวคือ จะจ่ายกระแสไฟฟ้าประจุแบตเตอรี่โดยตรง และแบ่งจ่ายให้แก่โหลดพร้อมกัน และหากโหลดมีมากเกินไประบบจะหยุดทำงานทันที และจะทำงานใหม่อีกครั้งเมื่อเซลล์แสงอาทิตย์หรือพลังงานสามารถผลิตกระแสไฟฟ้าประจุแบตเตอรี่ได้



ภาพที่ 2-14 เซลล์แสงอาทิตย์แบบผสมผสาน (PV Hybrid system)

#### 2.1.10 ความล้าดเอียงของแผงเซลล์แสงอาทิตย์

ในการติดตั้งแผงเซลล์แสงอาทิตย์จะต้องติดตั้งให้มีความล้าดเอียงเพียงพอ เพื่อที่จะให้ได้รับแสงแดดมากที่สุดทิศทางของแผงที่เหมาะสมนั้น จะขึ้นอยู่กับตำแหน่งของสถานที่ ว่าตั้งอยู่ที่สีน้ำเงินเท่าไรสำหรับประเทศไทยคือที่สุดคือ 15 องศา โดยมีทิศทางหันหน้าไปทางทิศใต้



ภาพที่ 2-15 การวางแผงเซลล์แสงอาทิตย์

## 2.2 อัลตราคาป่าซิเตอร์

คาป่าซิเตอร์ คือ อุปกรณ์อิเล็กทรอนิกส์ชนิดหนึ่งที่ทำหน้าที่เก็บประจุไฟฟ้าให้กับวงจร มีการนำไปใช้งานในวงจรกรองแรงดัน วงจรกรองความถี่ ใช้ในการถ่ายทอดสัญญาณ เป็นต้น คาป่าซิเตอร์มีค่าที่เรียกว่า ความจุไฟฟ้า (Capacitance) มีหน่วยเป็น ฟารัด (Farad) แต่ว่าหน่วยฟารัตนี้ใหญ่มากจึงต้องthonลงมาเป็นหน่วยย่อยที่นิยมใช้ คือ ไมโครฟารัด (Microfarad: uF) นาโนฟารัด (Nanofarad : nF) และ พิโกฟารัด (Pigofarad : pF) ซึ่งจะถูกพิมพ์ไว้บนด้าวเก็บประจุด้วย

การสร้างอัลตราคาป่าซิเตอร์ขึ้นมา เพื่อต้องการให้เป็นแหล่งจ่ายไฟสำรองให้กับระบบต่างๆ หรืออาจกล่าวได้ว่า ไม่ได้นำมาใช้งานในวงจรทั่วไป แต่จะนำมาใช้งานแทนแบบเตอร์ หรือ คาป่าซิเตอร์ค่ามากๆ ข้อดีของอัลตราคาป่าซิเตอร์นี้คืออายุการใช้งานที่ยาวนานกว่า ไม่มีลักษณะของการลดประจุ เมื่อนานาไป แต่ไม่เหมือนกับถ่านนิเกลแคนเดเมียมหรือนิแครด ตรงที่อายุการใช้งานของถ่านขึ้นอยู่กับจำนวนครั้งของการชาร์จประจุไฟฟ้า และที่สำคัญไม่มีผลของดิสchar์จเมม โนรีเจฟเฟกต์ (Discharge Memory Effect)

### 2.2.1 หลักการของอัลตราคาป่าซิเตอร์

สิ่งที่เหมือนกับคาป่าซิเตอร์อิเล็กทรอยาลท์ทั่วไป คือ สร้างขึ้นมาจาก การใช้แผ่นอะลูมิเนียมพันเทปพลาสติกม้วนขึ้นมาเป็นคาป่าซิเตอร์ อัลตราคาป่าซิเตอร์เป็นตัวที่สร้างมาจากหลักการของระบบชั้นสนานไฟฟ้าแบบซ้อนชั้นหรืออาจเรียกว่า คาป่าซิเตอร์แบบอิเล็กทริก ดันเบลเยอร์ ซึ่งเราให้การเรื่องโดยประจุไฟฟ้าด้วยพื้นที่ของสารในรูปแบบของการนำสาร 2 ชนิดที่มีความต่างกันมาทำเป็นอิเล็กโทรด เพื่อให้คาป่าซิเตอร์ดังกล่าว สามารถเกิดประจุได้มากเก็บประจุได้นาน โดยวัสดุอย่างที่บรรจุไว้ในอัลตราคาป่าซิเตอร์ คือแอ็คติเวทคาร์บอนและน้ำยาที่เป็นตัวอิเล็กทรอยาลท์ ซึ่งทำมาจากกรดซัลฟิลิกเพื่อให้เกิดความชุ่มของเนื้อคาร์บอน ทำให้เกิดสนานไฟฟ้าที่ทำให้เกิดประจุบวกขึ้นทางขั้วนหนึ่งส่วนอีกด้านก็จะเป็นประจุลบ โดยการถือว่าขั้วที่เป็นคาร์บอนจะให้ค่าประจุปฏิกิริยาเป็นบวกในขณะที่อีกขั้วซึ่งเป็นอิเล็กทรอยาลท์เป็นค่าประจุปฏิกิริยาลบ

ค่าความจุไฟฟ้าในคาป่าซิเตอร์เท่ากับอัตราส่วนระหว่างประจุไฟฟ้าที่คาป่าซิเตอร์เก็บได้ ต่อแรงดันไฟฟ้าต่อกันคือคาป่าซิเตอร์นั้น เปลี่ยนเป็นสมการ ได้ดังนี้

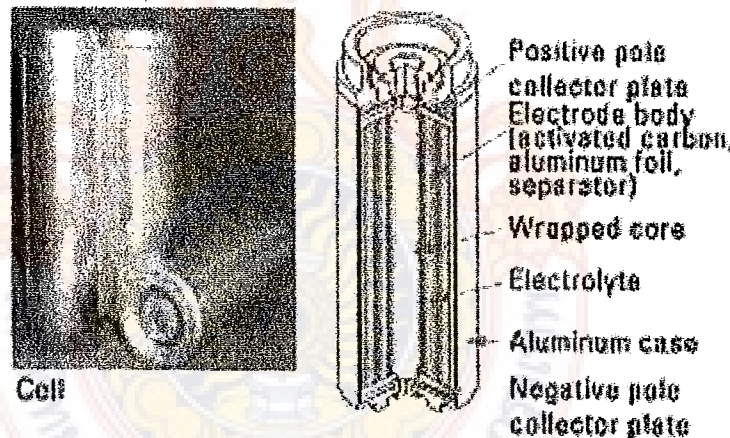
$$C = \frac{Q}{V} = \epsilon \frac{A}{d} \quad (2.6)$$

ค่างานที่ได้ใช้ในการให้ประจุสะสมในตัวเก็บประจุจะมีพลังงานศักย์ไฟฟ้า  $E$

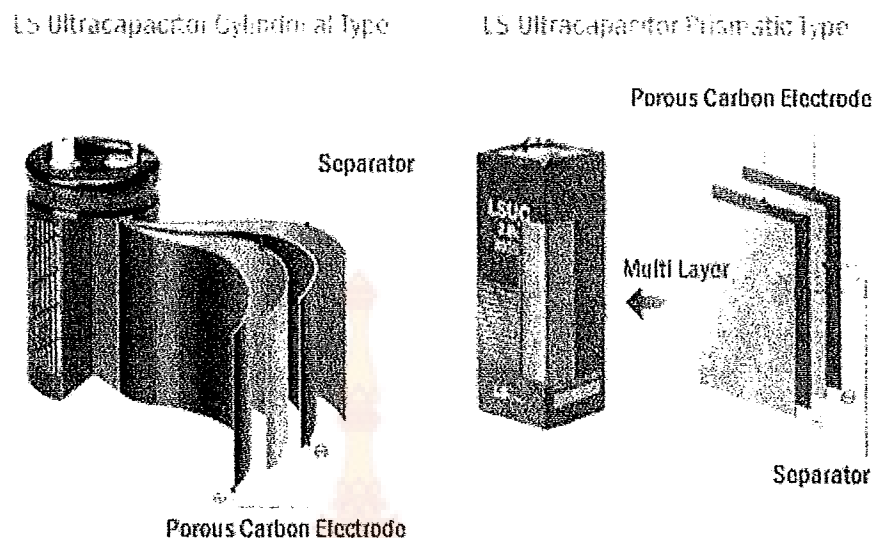
$$E = \frac{1}{2} CV^2 \quad (2.7)$$

เมื่อ	$C$	ค่าความจุไฟฟ้า ( $F$ )
	$Q$	ค่าประจุไฟฟ้า ( $C/V$ )
	$V$	คือ แรงดันไฟฟ้า ( $V$ )
	$\varepsilon$	ค่าคงที่ไดอิเล็กทริก
	$A$	คือ พื้นที่หน้าตัดของตัวนำ ( $m^2$ )
	$d$	คือ ระยะห่างของตัวนำ ( $m$ )
	$E$	คือ พลังงานศักย์ไฟฟ้า ( $W$ )

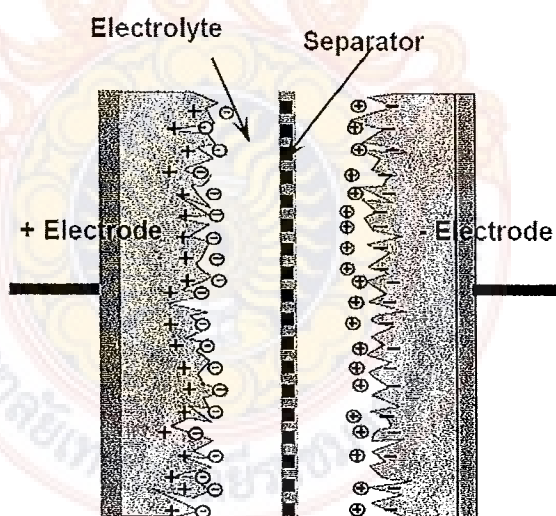
### Ultra-capacitor cell construction



ภาพที่ 2-16 โครงสร้างของอัลตราค่าปั๊ซิเตอร์



ภาพที่ 2-17 ส่วนประกอบของอัลตราค่าปาราชิเตอร์



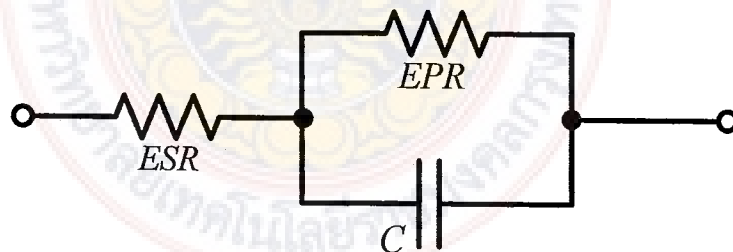
ภาพที่ 2-18 การเก็บประจุของอัลตราค่าปาราชิเตอร์

ตารางที่ 2-3 เปรียบเทียบคุณสมบัติของแบตเตอรี่กับอัลตราค่าปานิชิเตอร์และค่าปานิชิเตอร์ทั่วไป

Available Performance	Lead Acid Battery	Ultracapacitor	Conventional Capacitor
Charge Time	1 – 5 hrs	0.3 – 30 s	$10^{-3}$ – $10^{-6}$ s
Discharge Time	0.3 – 3 hrs	0.3 – 30 s	$10^{-3}$ – $10^{-6}$ s
Energy (Wh/g)	10 – 100	1 – 10	< 0.1
Cycle Life	1000	< 500000	< 500000
Specific Power (Wh/g)	< 1000	< 10000	< 100000
Charge/Discharge Efficiency	0.7 – 0.85	0.85 – 0.98	> 0.95

## 2.2.2 วงจรสมมูลของอัลตราค่าปานิชิเตอร์

วงจรสมมูลอย่างง่ายของอัลตราค่าปานิชิเตอร์สามารถแสดงด้วยความต้านสมมูลต่ออนุกรม (*ESR*) และความต้านทานสมมูลต่อแบบขนาน (*EPR*). *ESR* เป็นการจำลองความต้านทานภายในของอัลตราค่าปานิชิเตอร์ ซึ่งความต้านทานนี้มีผลต่อระหว่างการเก็บและขảมพลังงาน ไฟฟ้า *EPR* เป็นการจำลองกระแสรั่วไหลในอัลตราค่าปานิชิเตอร์มีผลต่อระยะเวลาในการเก็บพลังงาน



ภาพที่ 2-19 วงจรสมมูลของอัลตราค่าปานิชิเตอร์

การหาค่าความต้านทานสมมูลต่อแบบขนานหาได้จากสมการ

$$EPR = \frac{-t}{\ln\left(\frac{V_2}{V_1}\right)C} \quad (2.8)$$

เมื่อ	$EPR$	คือ ความต้านทานสมมูลต่อแบบบานาน
	$t$	คือ เวลา ( $s$ )
	$V_1$	คือ แรงดันไฟฟ้าเริ่มต้น ( $V$ )
	$V_2$	คือ แรงดันไฟฟ้าสูงสุด ( $V$ )
	$C$	ค่าความจุไฟฟ้า ( $F$ )

การหาค่าความต้านทานสมมูลต่อแบบอนุกรมหาได้จากสมการ

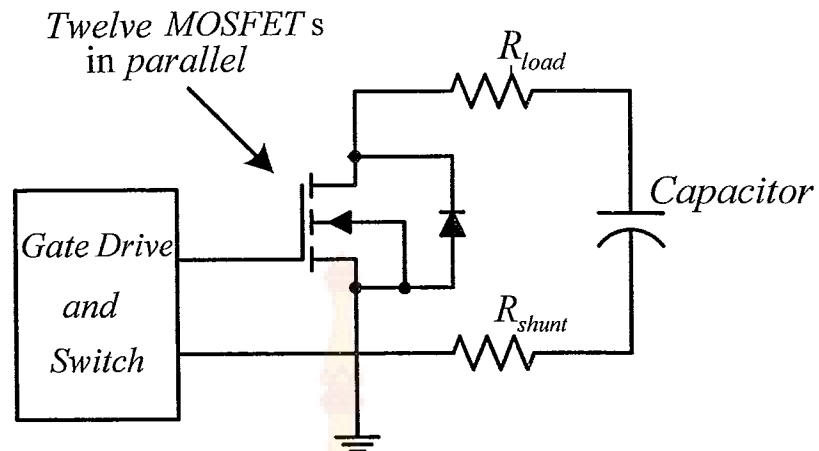
$$ESR = \frac{\Delta V}{\Delta I} \quad (2.9)$$

เมื่อ	$ESR$	คือ ความต้านทานสมมูลต่อแบบอนุกรม
	$\Delta V$	คือ ผลต่างของแรงดัน
	$\Delta I$	คือ ผลต่างของกระแส

การหากำลังไฟฟ้าของคาปิติเตอร์หาได้จากสมการ

$$P = \frac{V^2}{4 \times ESR} \quad (2.10)$$

เมื่อ	$P$	คือ กำลังไฟฟ้าของคาปิติเตอร์ ( $W$ )
	$V$	คือ แรงดันไฟฟ้า ( $V$ )

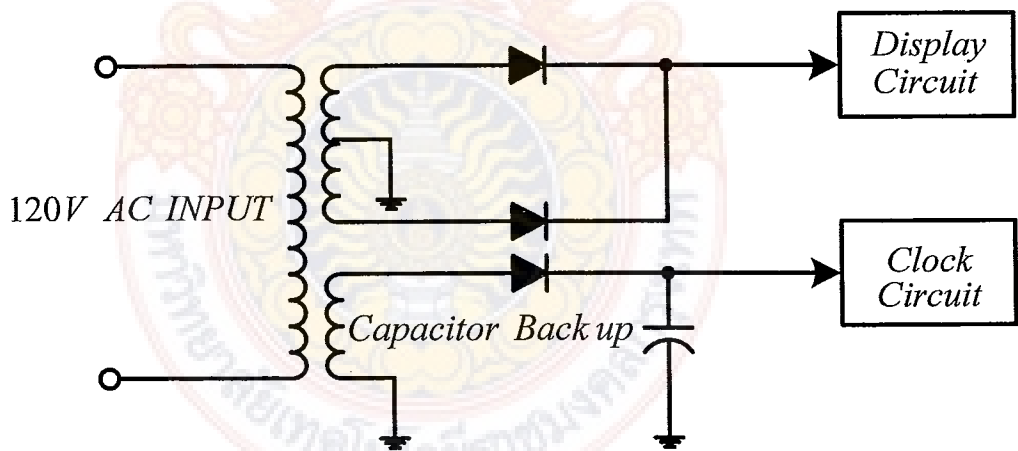


ภาพที่ 2-20 วงจรทดสอบความต้านทานสมมูลต่อแบบอนุกรม

### 2.2.3 การประยุกต์ใช้อัลตราคาปาราเซิเตอร์

#### 2.2.3.1 หน่วยความจำ

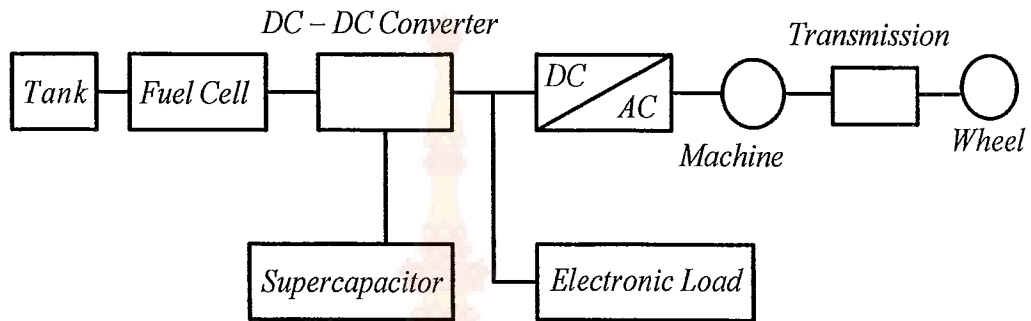
ใช้อัลตราคาปาราเซิเตอร์ในการเป็นแหล่งจ่ายไฟสำรองให้กับหน่วยความจำ



ภาพที่ 2-21 การนำอัลตราคาปาราเซิเตอร์เป็นแหล่งจ่ายไฟสำรองให้กับหน่วยความจำ

### 2.2.3.2 รถไฟฟ้า

การใช้ อัลตราคาป่าชิเตอร์ในการเป็นแหล่งจ่ายไฟให้กับรถไฟฟ้า เมื่อต้องการทำลังไฟฟ้า ฐานๆ ในช่วงระยะเวลาสั้นๆ ผสมผสานกันกับแหล่งจ่ายไฟหลัก

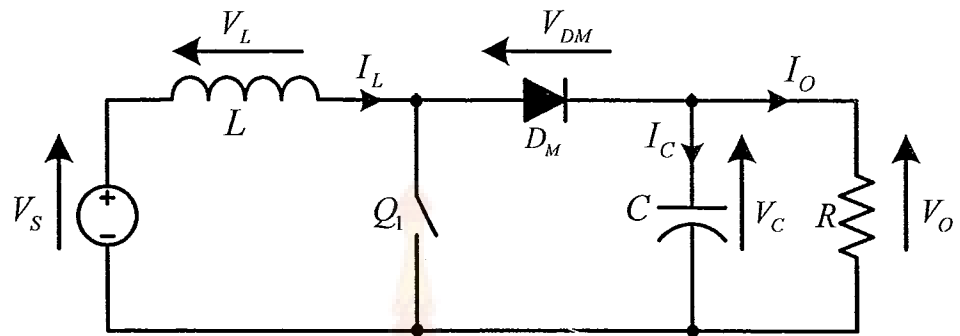


ภาพที่ 2-22 การนำอัลตราคาป่าชิเตอร์เป็นแหล่งจ่ายไฟให้กับรถไฟฟ้า

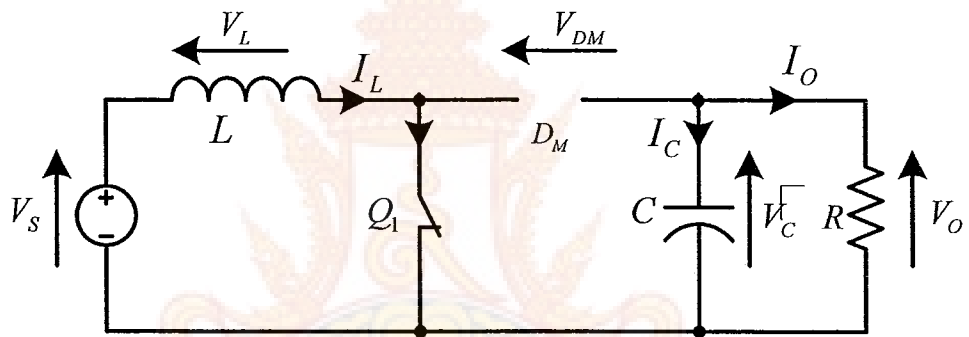
### 2.3 บุสดีซีทูดีซีคอนเวอร์เตอร์

บุสดีซีทูดีซีคอนเวอร์เตอร์เป็นสวิตซ์จีกชนิดหนึ่งที่ทำงานได้โดยใช้อุปกรณ์อิเล็กทรอนิกส์และอุปกรณ์ความถี่สูงต่างๆ จะทำการปรับเปลี่ยนระดับแรงดันเอาต์พุตให้สูงกว่าระดับแรงดันอินพุต โดยอาศัยคุณสมบัติของตัวเหนี่ยวนำความถี่สูงในการเก็บและขยายพลังงานทำให้ระดับแรงดันเอาต์พุตสูงกว่าระดับแรงดันอินพุต หรืออาจจะเรียกว่า Step up Converter ซึ่งจะประกอบไปด้วย 2 ส่วนหลักๆ ตัวขึ้น กือ ส่วนของวงจรกำลัง ประกอบด้วย ตัวเหนี่ยวนำความถี่สูง ตัวเก็บประจุด้านเอาต์พุต ได้โดยกำลัง อุปกรณ์ที่ทำหน้าที่สวิตซ์ วงจรกรองแรงดัน และอีกส่วนคือ วงจรควบคุมการทำงานของบุสดีซีทูดีซีคอนเวอร์เตอร์เพื่อรักษาระดับแรงดันเอาต์พุตให้คงที่

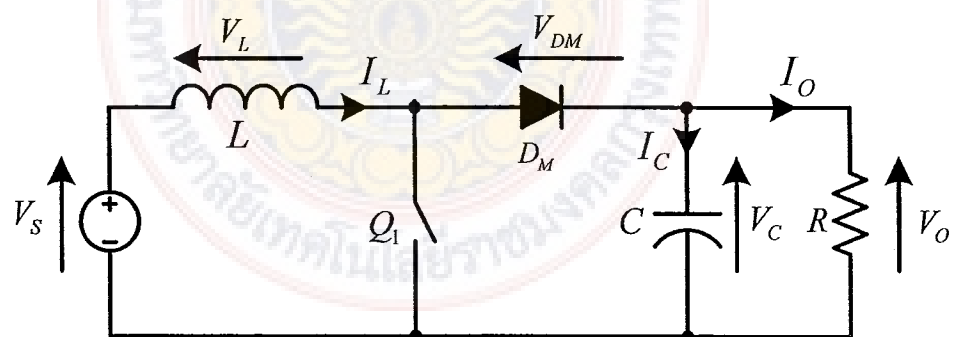
การวิเคราะห์วงจรบูสต์ด้วยโหมดกระแสไฟฟ้า ให้ผ่านตัวเหนีຍวนแบบต่อเนื่อง



ภาพที่ 2-23 วงจรสมมูลของวงจรบูสต์ด้วยโหมดกระแสไฟฟ้า

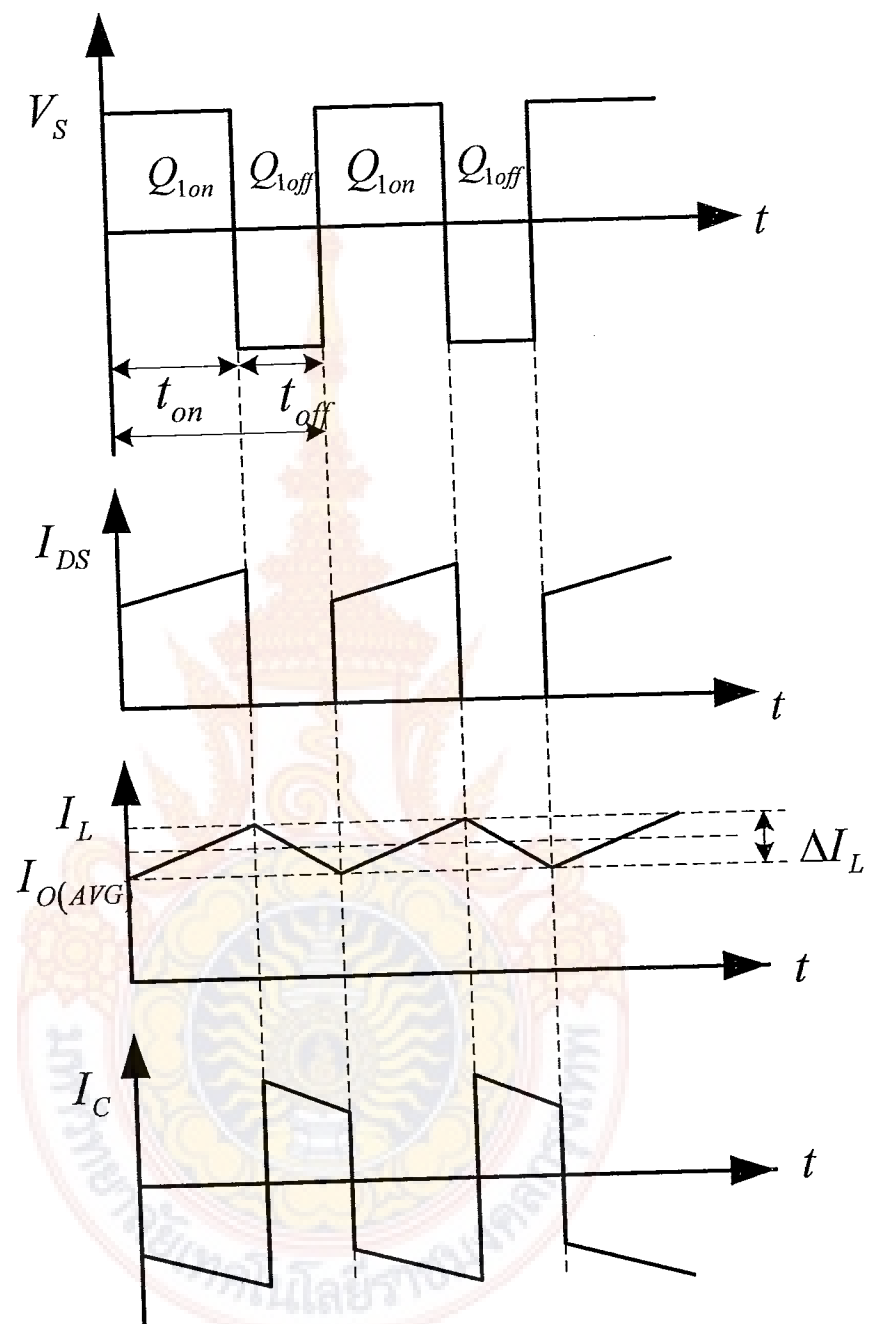


a) โหมดที่ 1 สวิตช์ปิด



b) โหมดที่ 2 สวิตช์เปิด

ภาพที่ 2-24 วงจรการทำงานของบูสต์ด้วยโหมดกระแสไฟฟ้า



ภาพที่ 2-25 สัญญาณต่างๆ ของวงจรบูสต์คอนเวอร์เตอร์

### 2.3.1 วิเคราะห์เมื่อสวิตช์ปิด

โหนด 1 ( $0 < t \leq t_{on}$ ) มอสเฟต  $Q_1$  ทำงานสวิตช์ปิด ( $t = 0$ ) กระแสอินพุต  $I_1$  ไหลผ่านมอสเฟต  $Q_1$  และตัวเหนี่ยวนำทำให้กระแสของตัวเหนี่ยวนำเพิ่มขึ้นจาก  $I_1$  ที่  $t = 0$  เป็นเวลา  $I_2$  ที่  $t = t_1$  โดยได้โดย  $D_M$  จะถูกใบอัลลอยด์ตัวเก็บประจุจะดึงตัวเก็บประจุให้แยกโหนดในช่วงเวลา ( $0 < t \leq t_{on}$ ) ค่าแรงดันอินพุตมีค่าเท่ากับแรงดันตกคร่อมตัวเหนี่ยวนำ ดังสมการที่ (2.11)

$$V_s = V_L = L \frac{I_2 - I_1}{t_{on}} = \frac{L \Delta I}{t_{on}} \quad (2.11)$$

สมการที่จะหาค่าเวลาในช่วงที่เพาเวอร์มอสเฟต  $t_{on}$  ได้จากสมการที่ (2.11)

$$t_{on} = \frac{L \Delta I}{V_s} \quad (2.12)$$

พลังงานที่สะสมในตัวเหนี่ยวนำสามารถหาได้จากสมการที่ (2.13)

$$E = \frac{1}{2} L (\Delta I)^2 = \frac{1}{2} V_s^2 t_{on}^2 \quad (2.13)$$

### 2.3.2 วิเคราะห์เมื่อสวิตช์เปิด

โหนด ( $0 < t \leq t_{on}$ ) มอสเฟต  $Q_1$  ทำงานสวิตช์เปิด  $t = t_1$  และดันเหนี่ยวนำข้อนกลับของตัวเหนี่ยวน้ำซึ่งต่ออนุกรมอยู่กับแรงดันอินพุต ทำให้อาตพุตมีค่ามากขึ้นจนทำให้  $D_M$  ทำงานกระแสอินพุต  $I_1$  ไหลผ่านตัวเหนี่ยวน้ำ ประกอบด้วยกระแสอินพุต  $I_s$  และกระแสของตัวเหนี่ยวน้ำ  $I_L$  ซึ่งกระแสของตัวเหนี่ยวน้ำเกิดจากพลังงานสะสมในตัวเหนี่ยวน้ำ ขณะที่มอสเฟต  $Q_1$  ทำงานผ่านไดโอด  $D_M$  จ่ายให้กับโหนดและชาร์จประจุให้เก็ตตัวเก็บประจุเป็นผลให้  $I_L$  ตกลงในช่วงเวลา  $t_2$

$$V_s - V_o = L \frac{I_2 - I_1}{t_{off}} \quad (2.14)$$

หรือ

$$V_o - V_s = \frac{L \Delta I}{t_{off}} \quad (2.15)$$

สามารถที่จะหาค่าเวลาในช่วงที่เพาเวอร์มอสเฟต  $t_{off}$  ได้จากสมการที่ (2.16)

$$t_{off} = L \frac{\Delta I}{V_o - V_s} \quad (2.16)$$

การเปลี่ยนแปลงของกระแสของตัวเหนี่ยวนำระหว่างค่ากระแสสูงสุดถึงกระแสสูงสุด (Peak to Peak) คือกระแสเพื่อม เมื่อพิจารณาที่สภาพะคงที่โดยให้ช่วงเวลา  $t_{on}$  และ  $t_{off}$  จากสมการที่ (2.17) มีค่าเท่ากัน คำนวณหาค่ากระแสเพื่อมได้ดังนี้

$$\Delta I = \frac{V_s t_{on}}{L} = \frac{(V_o - V_s) t_{off}}{L} \quad (2.17)$$

แทนค่า  $t_{on} = DT$  และ  $t_{off} = (1-DT)$  ลงในสมการที่ (2.18)

$$V_s DT = (V_o - V_s)(1-D)T = V_o(1-D)T - V_s(1-D)T \quad (2.18)$$

จากสมการที่ (2.18) เมื่อทำให้อยู่ในรูปอ่ายจ่ายจะได้ดังนี้

$$V_s DT = V_o(1-D)T - V_s T + V_s DT \quad (2.19)$$

หรือ

$$V_s = V_o(1-D) \quad (2.20)$$

ดังนั้นแรงดันเอาต์พุตเฉลี่ยจากการจับสกอนเวอร์เตอร์จะได้ดังสมการที่ (2.21)

$$V_o = \frac{V_s}{1-D} \quad (2.21)$$

สมการที่ (2.21) แสดงถึงแรงดันเอาต์พุต ถ้าสวิตซ์เปิดตลอดเวลาและคิวต์ไซเคิล (Duty Cycle) มีค่าเป็นศูนย์แรงดันเอาต์พุตจะมีค่าเหมือนกับแรงดันอินพุต ขณะที่คิวต์ไซเคิลมีค่าเพิ่มขึ้น ตัวส่วนในสมการที่ (2.21) จะมีขนาดเล็กลงและเอาต์พุตจะมีค่าแรงดันมากกว่าอินพุต แรงดันเอาต์พุตจะมีค่าเปลี่ยนแปลงตามแรงดันอินพุตและค่าคิวต์ไซเคิล ขณะที่คิวต์ไซเคิลมีค่าเข้าใกล้ 1

แรงดันเอาต์พุตจะมีค่าเท่าไกล้านนัต (Infinity) หากพิจารณาค่ากำลังไฟฟ้าด้านอินพุตเท่ากับด้านเอาต์พุตจะได้ดังนี้

$$V_s I_s = V_o I_o \quad (2.22)$$

แทนค่าแรงดันเอาต์พุตจากสมการที่ (2.21)

$$V_s I_s = \frac{V_s I_o}{1 - D} \quad (2.23)$$

ดังนั้นกระแสอินพุตเฉลี่ยจะได้

$$I_s = \frac{I_o}{1 - D} \quad (2.24)$$

บุสค่อนเวอร์เตอร์จะทำงานในรูปของความเวลาในหนึ่งความเวลา จะประกอบด้วยช่วงเวลา  $t_{on}$  และ  $t_{off}$  ดังนั้นค่าของความเวลาจะได้

$$T = \frac{1}{f} = t_{on} + t_{off} = \frac{L \Delta I}{V_s} + \frac{L \Delta I}{V_o - V_s} + \frac{L (\Delta I) V_o}{V_s (V_o - V_s)} \quad (2.25)$$

เมื่อจัดรูปสมการที่ (2.21) ให้อยู่ในรูปอย่างง่าย จะได้ค่ากระแสเพื่อมของตัวเหนี่ยวนำ ดังสมการที่ (2.26)

$$\Delta I = \frac{V_s (V_o - V_s) T}{L V_s} = \frac{V_s [V_s / (1 - D) - V_o]}{f L V_o} \quad (2.26)$$

และจะได้ค่าตัวเหนี่ยวนำที่ใช้ในวงจรบุสค่อนเวอร์เตอร์ ดังสมการที่ (2.27)

$$L = \frac{V_s D}{f \Delta I} \quad (2.27)$$

### 2.3.3 แรงดันกระแสเพื่อมด้านเอาต์พุต (Output Voltage Ripple)

การทำงานของจังจรูปคอนเวอร์เตอร์จะต้องได้แรงดันเอาต์พุตที่สูงกว่าแรงดันอินพุต ถ้าไม่เป็นเช่นนั้นแสดงว่าตัวเหนี่ยวนำไม่สามารถผลิตแรงดันอินพุต เมื่อมอสเฟต  $t_{on}$  แรงดันเอาต์พุตจะได้จากการพยายามประจุของตัวเก็บประจุอย่างเดียว เพราะฉะนั้นขนาดของตัวเก็บประจุจะขึ้นอยู่กับขนาดของแรงดันเอาต์พุตและโหนมการทำงาน ดังนั้นจึงจำเป็นที่จะให้ขนาดของตัวเก็บประจุมีขนาดใหญ่ เพื่อที่จะให้ขนาดของแรงดันกระแสเพื่อมทางด้านเอาต์พุตมีขนาดลดลง ตัวเก็บประจุจะพยายามให้ทางด้านเอาต์พุตในช่วงเวลาที่มอสเฟต  $t_{on}$  และหากตัวเก็บประจุได้จากค่ากระแสเอาต์พุตในช่วงเวลาดังกล่าว

$$\Delta V_C = V_C - V_C(0) = \frac{1}{C} \int_{t_{off}}^{t_{on}} I_O dt = \frac{I_O t_{on}}{C} \quad (2.28)$$

หากพิจารณาจากช่วงเวลา  $t_{on}$  ในคอนเวอร์เตอร์จะมีความถี่ในการสวิตช์ เมื่อพิจารณาให้ อธิบายในเทอมของเอาต์พุต ซึ่งจะได้จากการที่ (2.21) และพิจารณาความถี่ด้วยจะได้

$$V_O = \frac{V_s}{1-D} = \frac{V_s T}{T - DT} = \frac{V_s}{T - t_{on}} \quad (2.29)$$

หรือ

$$T - t_{on} = \frac{V_s T}{V_O} \quad (2.30)$$

ค่าเวลาในช่วง  $t_{on}$  จะได้

$$t_{on} = T - \frac{V_s T}{V_O} = \frac{V_O - V_s}{fV_O} \quad (2.31)$$

แทนค่า  $t_{on}$  ในสมการที่ (2.31) ลงในสมการที่ (2.28) จะได้ดังนี้

$$\Delta V_C = \frac{I_O(V_O - V_s)}{V_O f C} = \frac{I_O(V_O - V_s)}{f C V_s (1-D)} \quad (2.32)$$

จากสมการที่ (2.32) เปรียบเทียบในรูปอย่างง่ายจะได้

$$\Delta V_C = \frac{[I_o(V_o - V_s + DV_s)/(1-D)]}{fCV_s/(1-D)} = \frac{I_o D}{fC} \quad (2.33)$$

ดังนั้นตัวเก็บประจุทางด้านเอาต์พุตของวงจรบูสต์คอนเวอร์เตอร์ จะหาได้จากสมการที่ (2.34) โดยค่าของ

$$\Delta V_C = \Delta V_o \quad (2.34)$$

จะได้

$$C = \frac{I_o D}{f \Delta V_o} \quad (2.35)$$

## 2.4 วงจรกำลังของบูสต์คอนเวอร์เตอร์

การออกแบบวงจรกำลังของคอนเวอร์เตอร์แบบบูสต์คอนเวอร์เตอร์จำเป็นต้องศึกษาทฤษฎีดังต่อไปนี้

### 2.4.1 ตัวเหนี่ยวนำ (Inductor)

ตัวเหนี่ยวนำเป็นอุปกรณ์ที่ทำงานโดยอาศัยคุณสมบัติทางแม่เหล็กไฟฟ้า การที่จะเข้าใจถึงการออกแบบตัวเหนี่ยวนำจะต้องทำความเข้าใจเกี่ยวกับทฤษฎีทางแม่เหล็กไฟฟ้า โดยตัวเหนี่ยวนำ มีหน้าที่สำคัญมากในการเก็บและขยายพลังงานในคอนเวอร์เตอร์แบบทบทวนดันไฟฟ้ากระแสตรง

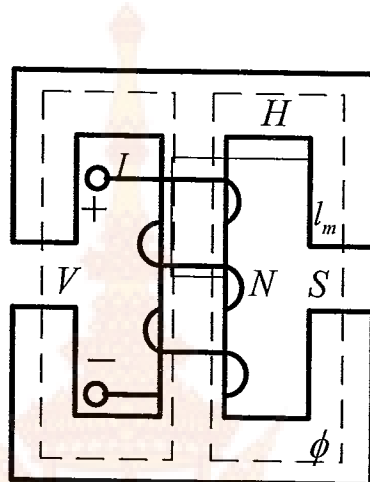
#### 2.4.1.1 แม่เหล็กไฟฟ้าพื้นฐาน

ในทฤษฎีของแม่เหล็กไฟฟ้าพื้นฐาน กฎพื้นฐานทางแม่เหล็กไฟฟ้า พิจารณาจากการจ่ายกระแสไฟฟ้าเข้าไปในชุด漉ด โดยมีตัวแปร 2 ตัว ที่เกี่ยวข้องกับสนามแม่เหล็ก เวกเตอร์ตัวแรกได้แก่ ความเข้มของสนามแม่เหล็ก (Field Intensity Vector) ใช้ตัวย่อคือ  $H$  มีหน่วยเป็น  $\text{A/m}$  ตามคดีของเอนแพร์ที่กำหนด

$$Hl_m = Ni \quad (2.36)$$

ส่วนแรกเตอร์ตัวที่สอง ได้แก่ ความหนาแน่นของสนามแม่เหล็ก (Flux Density) ใช้ตัวย่อ  $B$  มีหน่วยเป็นเทสลา (Tesla) จากกฎของฟาราเดย์

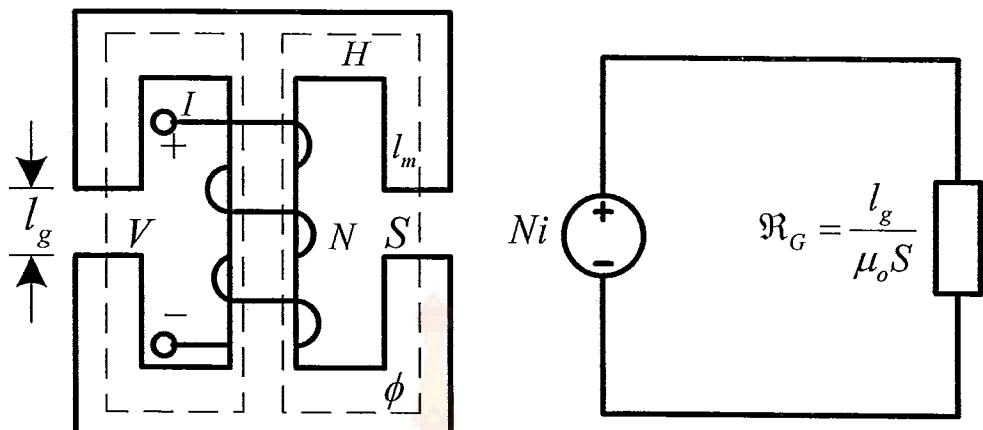
$$V = N \frac{d(BS)}{dt} = N \frac{d\Phi}{dt} = \frac{d\lambda}{dt} \quad (2.37)$$



ภาพที่ 2-26 วงจรแม่เหล็กไฟฟ้าพื้นฐาน

เมื่อ	$N$	คือ จำนวนรอบ
	$\phi$	คือ เส้นแรงแม่เหล็ก
	$\lambda$	คือ เส้นแรงแม่เหล็กเชื่อมโยง
	$l_m$	คือ ความยาวเฉลี่ยของทางแม่เหล็ก
	$I$	คือ กระแสที่ไหลในวงจรแม่เหล็ก
	$S$	คือ พื้นที่หน้าตัด

สามารถเขียนวงจรแม่เหล็กไฟฟ้า (Magnetic Circuit) แทนด้วยวงจรไฟฟ้า (Electric Circuit) และค่าเทียบเคียงดังภาพที่ 2-26 และตารางที่ 2-4 ตามลำดับ



ภาพที่ 2-27 วงจรแม่เหล็กไฟฟ้าและวงจรไฟฟ้า

ตารางที่ 2-4 การเปรียบเทียบวงจรแม่เหล็กไฟฟ้าและวงจรไฟฟ้า

วงจรแม่เหล็กไฟฟ้า (Magnetic Circuit)	วงจรไฟฟ้า (Electric Circuit)
Current ( $I$ )	Flux ( $\phi$ )
Emf ( $V$ )	mmf ( $F$ )
Resistance ( $R$ )	Reluctance ( $\mathfrak{R}$ )
Conductance ( $G$ )	Permance ( $P$ )

ค่า Reluctance ( $\mathfrak{R}$ ) ของวงจรแม่เหล็กไฟฟ้าหาได้จาก

$$\mathfrak{R} = \frac{l}{\mu S} \quad (2.38)$$

และส่วนกลับของ  $\mathfrak{R}$ 

$$P = \frac{1}{\mathfrak{R}} = \frac{\mu S}{l} \quad (2.39)$$

ค่าความเหนี่ยวแน่น (Inductance) สามารถหาได้จาก

$$L = \frac{\lambda}{I} = \frac{N\phi}{I} = \frac{N^2}{R} = N^2 P = \frac{N^2 \mu S}{l} \quad (2.40)$$

วงจรแม่เหล็กไฟฟ้ามีอิมพีดานซ์ Air Gap

$$\phi = \frac{NI}{\mathfrak{R}_g + \mathfrak{R}_m} = (P_g + P_m) NI \quad (2.41)$$

$$N\phi = (P_g + P_m) N^2 I \quad (2.42)$$

$\mathfrak{R}_m$  คือ Reluctance ของแกนเหล็ก

ในทางปฏิบัตินั้น  $\mathfrak{R}_m \ll \mathfrak{R}_g$  ดังนั้นจะหาค่าความเหนี่ยวแน่น (Inductance) ได้จาก

$$L = N^2 P_g = \frac{N^2 \mu_o S}{l_g} \quad (2.43)$$

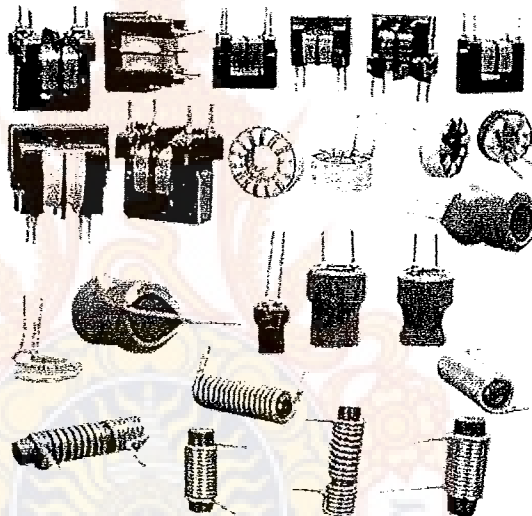
#### 2.4.1.2 แกนเฟอร์ไรต์

เฟอร์ไรต์เป็นวัสดุประเภทเฟอร์โรแมกเนติก (Ferromagnetic Material) การเหนี่ยวแน่นแม่เหล็กบนแกนเฟอร์ไรต์จะมีผลทำให้เกิดการเหนี่ยวแน่นแรงแม่เหล็กสูงกว่าการเหนี่ยวแน่นที่เกิดขึ้นบนแกนอาคามาก แกนเฟอร์ไรต์มีค่าอิมตัวเส้นแรงแม่เหล็กค่อนข้างสูง และเกิดการสูญเสียในตัวแกนเฟอร์ไรต์ต่ำที่ความถี่สูงๆ ดังนั้นตัวเหนี่ยวแน่นในวงจรสวิตชิ่งจึงนิยมใช้แกนเฟอร์ไรต์มากที่สุด เฟอร์ไรต์ที่นำมาใช้ทำแกนของตัวเหนี่ยวแน่นสวิตชิ่งจะมีรูปร่างแตกต่างออกไป ขึ้นอยู่กับการใช้งานและมาตรฐานในการออกแบบแกนเฟอร์ไรต์

สารแม่เหล็กที่ใช้ทำแกนแม่เหล็กมักจะเป็นอัลลอยของเหล็กหรือเฟอร์ไรต์ สารที่นิยมใช้ที่ความถี่ต่ำ ได้แก่ เหล็กผสมซิลิโอนเจ็อจง ซึ่งมีความหนาแน่นเส้นแรงแม่เหล็กอิมตัวค่าสูงแต่จะมีการสูญเสียน้ำหนัก ถ้าส่วนผสมซิลิโอนมีมากขึ้นก็มักจะเป็นชนิด Grain Oriented การสูญเสียจะน้อยลงแต่ราคาจะแพงขึ้น นอกจากจะผสมซิลิโอนแล้วยังมีสารแม่เหล็กที่ผสมสารอื่นๆ เช่น โคบล็อตต์ นิกเกิล โนลิบันนัม เป็นต้น ซึ่งทำงานได้ถึงความถี่ 20kHz แต่ก็มีราคาแพงกว่าเหล็กผสม

ติลิกอนมาก เฟอร์ไรร์ทเป็นเซรามิก ประกอบไปด้วย ออกไซด์ของเหล็ก สังกะสี และแมงกานีสหรือนิกเกิล เฟอร์ไรร์ทชนิด MnZn มีความหนาแน่นเด่นแรงแม่เหล็กสูงกว่าชนิด NiZn แต่ทำงานได้ถึงความถี่ประมาณ 1MHz ซึ่งต่ำกว่าชนิด NiZn ซึ่งทำงานได้ถึง 1 MHz เฟอร์ไรร์ทมีหลากหลายชนิด ตามแต่ลักษณะและมีเลขรหัสต่างๆ เช่น 6H20 7H10 และ 3C6 เป็นต้น

แกนเฟอร์ไรร์ทสำหรับแหล่งจ่ายไฟสวิตชิ่ง โดยทั่วไปจะถูกผลิต成ตามที่ขนาดและรูปทรงต่างๆ ตามมาตรฐานเดียวกัน เช่น เป็นแกนแบบ EI EE EER หรือแกนแบบ POT เป็นต้น ปกติผู้ผลิตจะทำแกนเฟอร์ไรร์ท成ตามในลักษณะประกอนๆ เพื่อความสะดวกในการประกอบเข้ากับบอร์ดบิน การประกอบแกนเฟอร์ไรร์ทบนบอร์ดบินนั้น จะทำให้ทางเดินของเส้นแรงแม่เหล็กที่เกิดขึ้นในแกนเฟอร์ไรร์ทมีลักษณะเป็นวงบรรจบได้

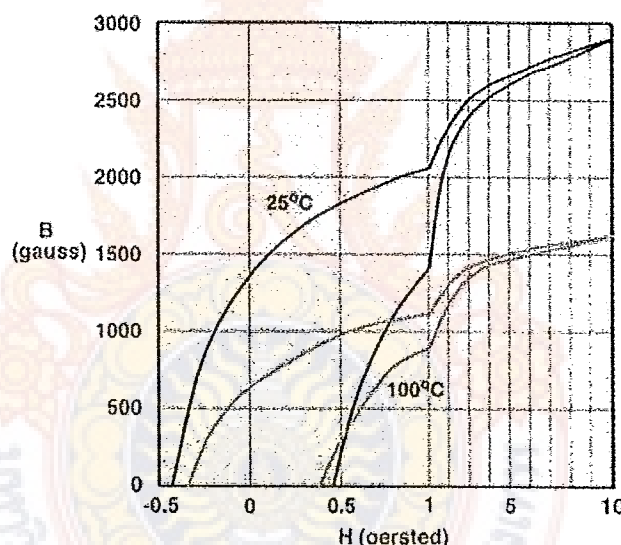


ภาพที่ 2-28 ลักษณะของแกนเฟอร์ไรร์ทแบบต่างๆ

#### ก. ลักษณะสมบัติของเนื้อสารที่ใช้ทำแกนเฟอร์ไรร์ท

ชนิดของเนื้อสารแกนเฟอร์ไรร์ทที่แตกต่างกันจะให้คุณสมบัติทางแม่เหล็กของแกนเฟอร์ไรร์ทที่แตกต่างกันด้วย ถึงแม้ว่าจะมีขนาดเท่ากันทุกประการก็ตาม ในแผ่นข้อมูลเนื้อสารที่นำมาศึกษาแกนเฟอร์ไรร์ทนี้จะต้องมีรายละเอียดคุณสมบัติของเนื้อสารแสดงไว้เสมอ ข้อมูลที่สำคัญควรจะทำความเข้าใจและศึกษาไว้ก็คือ เส้นโค้งไฮสเตอริซิส (Hysteresis Curve) และค่าการสูญเสียของแกนเฟอร์ไรร์ท (Core Loss)

เส้น โถงชีสเตอร์ชีสจะแสดงความสัมพันธ์ระหว่างค่าความหนาแน่นเส้นแรงแม่เหล็ก ( $B$ ) ที่เกิดขึ้นในแกนเพอไรต์กับความเข้มของสนามแม่เหล็ก ( $H$ ) ที่เกิดจากการเหนี่ยวนำของขดลวดที่พันบนแกนเพอไรต์ ภาพที่ 2-28 จะแสดงเส้น โถงชีสเตอร์ชีสของแกนเพอไรต์ จากรูปจะเห็นได้ว่า ความหนาแน่นเส้นแรงแม่เหล็กจะมีค่ามากขึ้น เมื่อความเข้มของสนามแม่เหล็กมีค่าเพิ่มจนถึงจุดหนึ่ง ซึ่งค่าความหนาแน่นของเส้นแรงแม่เหล็กมีค่าเพิ่มขึ้นอย่างมาก แม้ว่าจะมีการเพิ่มขึ้นเมื่อความเข้มของสนามแม่เหล็กแล้วก็ตาม จากจุดดังกล่าวจะเรียกว่าแกนเริ่มนีกีการอิ่มตัวของฟลักซ์แม่เหล็ก โดยปกติผู้ผลิตจะแสดงกราฟของเส้น โถงชีสเตอร์ชีสเพียงครึ่งเดียว เนื่องจากอีกครึ่งหนึ่งของเส้น โถงชีสเตอร์ชีสจะมีลักษณะเหมือนกันทุกประการเพียงแต่จะมีลักษณะกลับกันทางกันเท่านั้น จากภาพที่ 2-28 การใช้งานของแกนเพอไรต์ในตัวเหนี่ยวนำจึงควรกำหนดค่าความหนาแน่นของฟลักซ์แม่เหล็กที่เกิดขึ้นในแกนเพอไรต์ ขณะทำงานมีค่าไม่เกินครึ่งหนึ่งของค่าความหนาแน่นเส้นแรงแม่เหล็กสูงสุดก่อนอิ่มตัวของแกนเพอไรต์เพื่อความปลอดภัย

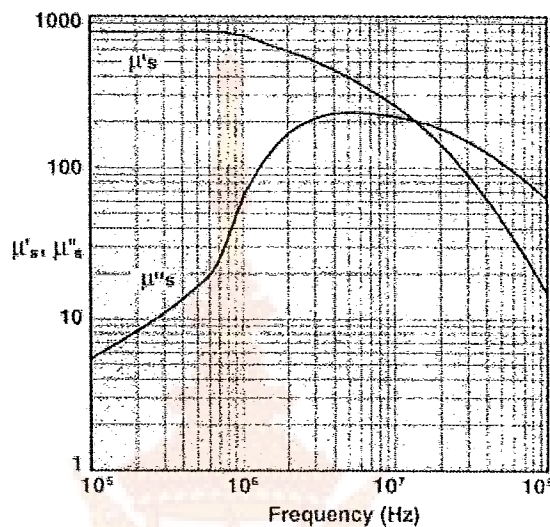


ภาพที่ 2-29 เส้น โถงชีสเตอร์ชีสของแกนเพอไรต์

#### ข. ค่าการสูญเสียในแกนเพอไรต์ (Core Loss)

การสูญเสียที่เกิดขึ้นในแกนเพอไรต์จะทำให้แกนเพอไรต์ร้อน ซึ่งมีสาเหตุหลัก 2 ประการ คือ การสูญเสียที่เกิดจากลักษณะชีสเตอร์ชีสของแกนและการสูญเสียจากการเกิดกระแสไฟฟ้าในแกนจะมีค่าห้องร้อนแกนที่มีขนาดใหญ่ไม่นานัก ดังนั้นการสูญเสียที่ก่อให้เกิดความร้อนในแกนอาจพิจารณาได้จากการสูญเสียทางชีสเตอร์ชีสของแกนเพียงอย่างเดียว ตัวอย่างกราฟ

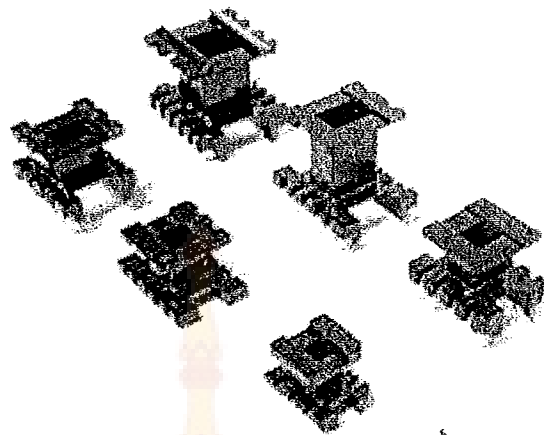
แสดงการสูญเสียที่เกิดขึ้นในแกนเพอไรต์ในภาพที่ 2-29 ปกติค่ากำลังสูญเสียจะถูกระบุไว้เป็น กิโลวัตต์ต่อหนึ่งลูกบาศก์เมตร และมีค่าขึ้นกับค่าความหนาแน่นเส้นแรงแม่เหล็ก ความถี่ในการใช้งานรวมถึงอุณหภูมิขณะใช้งานของแกนเพอไรต์



ภาพที่ 2-30 ค่าการสูญเสียในแกนเพอไรต์ของเนื้อสารชนิด 6H20 7H20 และ 7H10

#### 2.4.1.3 บื้อบื้น

บื้อบื้นหรือแบบรองพื้น ปกติทำจากพลาสติกชนิดทนความร้อนได้สูง และไม่ติดไฟ บื้อบื้นจะช่วยให้การพันขดลวดบนแกนเพอไรต์สะดวกขึ้น และป้องกันปั๊มจากการลัดวงจรระหว่างขดลวดและแกนเพอไรต์ บื้อบื้นจะมีขนาดมาตรฐาน ตามมาตรฐานของแกนเพอไรต์ตัวอย่างลักษณะและขนาดของบื้อบื้น บื้อบื้นส่วนใหญ่จะถูกออกแบบให้มีขาพักลวดทองแดง เพื่อความสะดวกในการพันขดลวดและการบัดกรีติดกับแผ่น PCB



ภาพที่ 2-31 ลักษณะของบีบอ่อนของแกนเฟอร์ไรต์

#### 2.4.1.4 ลวดทองแดงอ่อนน้ำยา (Enamelled Copper Wire)

การพันขดลวดของตัวเหนี่ยวนำนำสวิตชิ่งปกติจะใช้ลวดทองแดงอ่อนน้ำยา พันบนแกนบีบอ่อนบีบ เพื่อให้ได้จำนวนรอบตามต้องการ ขนาดของลวดทองแดงที่จะใช้พันนั้นขึ้นอยู่ กับกระแสที่ไหลผ่านชุดลวด ความถี่ และผลข้างเคียงอื่นๆ

#### 2.4.1.5 เทป绝缘 (Insulation Tape)

เทป绝缘ใช้พันสำหรับเป็นตัวรองระหว่างชั้นของขดลวดในตัว เหนี่ยวนำสวิตชิ่ง และมีความสำคัญในการเป็นพันวนป้องกันความเสียหายของขดลวด และทำให้ ขดลวดมีความแข็งแรง วัสดุที่ใช้ทำเทป绝缘อาจเป็นพวกลามาร์ (Mylar) หรือ โพลีเอสเตอร์ (Polyester) ที่มีความหนาอยู่ในช่วง 0.05 – 0.1 มิลลิเมตร การเลือกใช้จะขึ้นอยู่กับการออกแบบและ ความปลอดภัยที่ต้องการตัวเหนี่ยวนำสวิตชิ่งเป็นหลัก

### 2.4.2 การออกแบบตัวเหนี่ยวนำ (Inductor)

#### 2.4.2.1 ข้อกำหนดในการออกแบบตัวเหนี่ยวนำสวิตชิ่ง

- 1) ขนาดและรูปร่างรวมทั้งความถี่ของกระแสและแรงดัน
- 2) กำลังสูญเสีย ประสิทธิภาพหรืออุณหภูมิที่เพิ่มขึ้น
- 3) คุณสมบัติทางไฟฟ้าและเชิงกลอื่นๆ

#### 2.4.2.2 ปัจจัยสำคัญในการออกแบบตัวเหนี่ยวนำสิ่งแวดล้อม

- 1) ความหนาแน่นสนามแม่เหล็กอิมตัวของแกนแม่เหล็ก
- 2) กำลังงานสูญเสียใน漉ดทองแดงหรือแกนแม่เหล็ก
- 3) คุณสมบัติอื่นๆ เช่น Permeability เป็นต้น

#### 2.4.3 การเลือกตัวเก็บประจุในวงจรกำลังของวงจรบัญสค่อนเวอร์เตอร์

ในวงจรกำลังของวงจรไฟฟ้ากระแสตรง ตัวเก็บประจุ มีหน้าที่เก็บพลังงานในรูปแบบประจุไฟฟ้า และทำการจ่ายแรงดันออกให้กับ负载ที่พุต หรือถ่ายประจุไฟฟ้าเมื่อมอสเฟตอยู่ในช่วงเวลา Turn On และเก็บประจุเมื่ออยู่ในช่วงเวลา Turn Off จะต้องเลือกตัวเก็บประจุที่สามารถทนแรงดันได้เท่ากับแรงดันทางด้าน负载 หากเลือกตัวเก็บประจุที่มีขนาดใหญ่จะช่วยในส่วนของการลดแรงดันกระเพื่อมทางด้าน负载ให้ลดลงได้

ตัวเก็บประจุในวงจรกำลัง หากพิจารณาในโหมดกระแสต่อเนื่องของวงจรพบแรงดันไฟฟ้ากระแสตรงค่าของตัวเก็บประจุพิจารณาได้จากสมการแรงดันกระเพื่อมทาง负载 ( $\Delta V_o$ ) และกระแส负载 ( $I_o$ ) ที่ใช้งาน ค่าคริวต์ที่เกิดสูงสุดที่ใช้งาน ความถี่ในการสับสวิตซ์ของวงจรบัญสค่อนเวอร์เตอร์ ( $f_s$ ) ดังสมการจะใช้คำนวณหาค่าตัวเก็บประจุที่จะใช้งาน

$$C = \frac{I_{o(\max)} D_{(\max)}}{f \Delta V_o} \quad (2.44)$$

เมื่อ  $I_{o(\max)}$  คือ ค่ากระแสไฟฟ้าสูงสุดทางด้าน负载  $D_{(\max)}$  คือ ค่าคริวต์ที่เกิดสูงสุด

ค่าความต้านทานสมมูลอนุกรมของตัวเก็บประจุ (Equivalent Series Resistance: ESR) หาได้จาก

$$ESR \leq \frac{\Delta V_o}{\left[ \frac{I_{o(\max)}}{1 - D_{(\max)}} + \frac{\Delta I_L}{2} \right]} \quad (2.45)$$

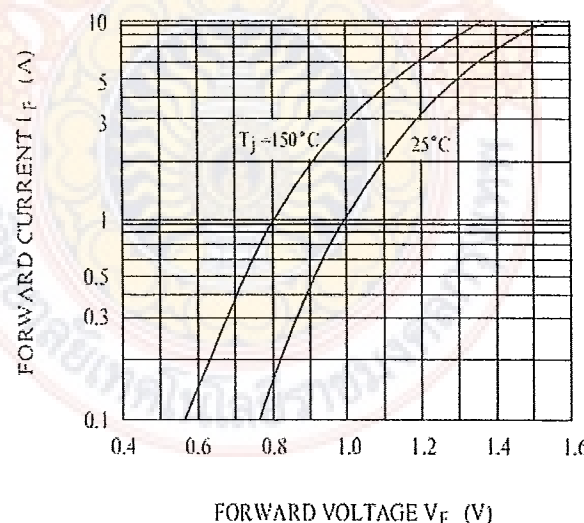
#### 2.4.4 ชนิดและการเลือกไoids ไอโอด

เนื่องจากวงจรนูสคอนเวอร์เตอร์ที่ใช้มีค่าความถี่ของวงจรตั้งแต่ 20 kHz ขึ้นไป ไoids ที่ใช้งานเป็นต้องมีคุณสมบัติดังนี้ มีแรงดันขณะนำกระแสต่ำ ทนกำลังไฟฟ้าได้สูงและมีช่วงเวลาในการคืนตัวสั้น เป็นต้น ด้วยเหตุนี้ซิลิกอนไoids ที่ใช้ในวงจรเรกติไฟเออร์ทั่วไป จึงไม่สามารถนำมาใช้กับวงจรนูสคอนเวอร์เตอร์ได้ เนื่องจากช่วงเวลาคืนตัวที่มาก กำลังสูญเสียในรูปความร้อนจะเกิดขึ้นสูงและมีประสิทธิภาพต่ำ

ด้วยเหตุนี้ซิลิกอนไoids ที่ใช้ในวงจรเรกติไฟเออร์ทั่วไปจึงไม่สามารถนำมาใช้กับวงจรคอนเวอร์เตอร์ได้ เนื่องจากมีช่วงเวลาคืนตัวที่มาก กำลังสูญเสียในรูปความร้อนจะเกิดขึ้นสูงและมีประสิทธิภาพต่ำ โดยไoids ที่ใช้ในวงจรนูสคอนเวอร์เตอร์นี้จะเลือกใช้ใน 3 ชนิดดังต่อไปนี้

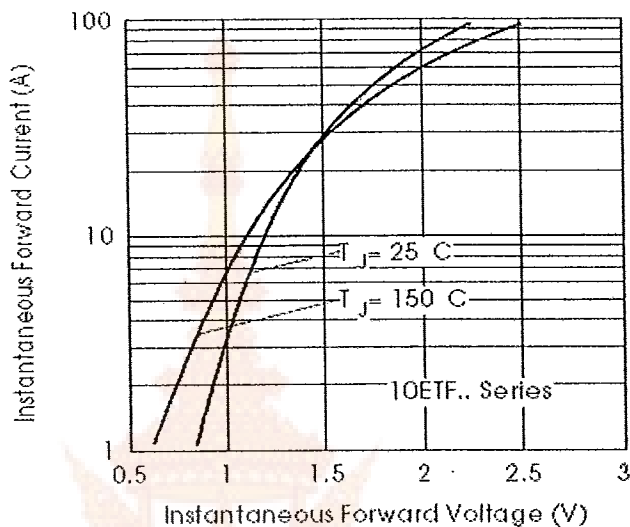
1. ฟ้าสต์ – รีคัฟเวอร์ไoids (Fast Recovery Diode)
2. อุลตร้าฟ้าสต์ – รีคัฟเวอร์ไoids (Ultra Fast Recovery Diode)
3. ชอตต์กี้ไoids (Shottky Diode )

ฟ้าสต์ – รีคัฟเวอร์ไoids (Fast Recovery Diode) มีช่วงเวลาในการคืนตัวประมาณ 200 – 750 นาโนวินาที ซึ่งสั้นกว่าซิลิกอนไoids มาก มีอัตราแทนแรงดันใบขั้นสกัดบันไดสูงถึง 1000 โวลต์



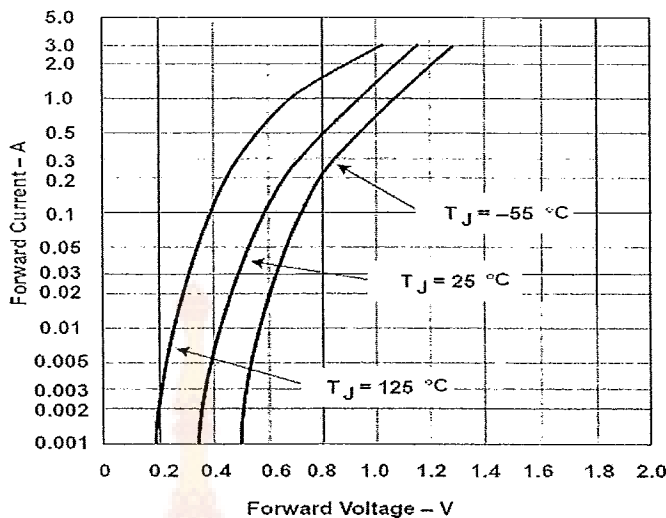
ภาพที่ 2-32 กราฟแรงดันต่อกลาง

อุลตร้าฟ้าสต์ – รีคัฟเวอร์ไดโอด (Ultra Fast Recovery Diode) มีช่วงเวลาในการคืนตัวประมาณ 25 – 100 นาโนวินาที มีอัตราทันแรงดันในอัสกัลับได้สูงถึง 1000 โวลต์ แรงดันตกคร่อมขณะที่นำกระแสของไดโอดทั้งสองชนิดนี้มีค่าอยู่ในช่วงเดียวกัน คือ 0.6 – 1.5 โวลต์



ภาพที่ 2-33 กราฟแรงดันตกคร่อมขณะนำกระแสของไดโอดนำกระแส

ชอตต์เก็ตไดโอด (Shottky Diode) มีค่าแรงดันตกคร่อมในขณะนำกระแสค่อนข้างต่ำที่ประมาณ 0.5 โวลต์ จึงเหมาะสมกับวงจรบูสต์เตอร์ที่มีค่าแรงดันเอาต์พุตค่าต่ำๆ และกระแสสูง ชอตต์เก็ตไดโอดจะไม่เกิดประจุสะสมภายในตัวมันขณะนำกระแสซึ่งเวลาคืนตัวที่ผลิตได้ในปัจจุบันมีค่าต่ำมาก มีอัตราทันแรงดันในอัสกัลับได้สูงสุด 200 โวลต์ เท่านั้นและมีกระแสเร็วสูงทำให้มีกำลังงานสูญเสียขณะถูกนำไปอัสกัลับค่อนข้างสูง และจะให้ทราบเช่นเดียวกับช่องทางนำกระแสสูง



ภาพที่ 2-34 กราฟแรงดันต่อกล่องขณะไดโอดนำกระแสและค่ากระแสเร็วไฟ lod

#### 2.4.5 เพาเวอร์มอสเฟต

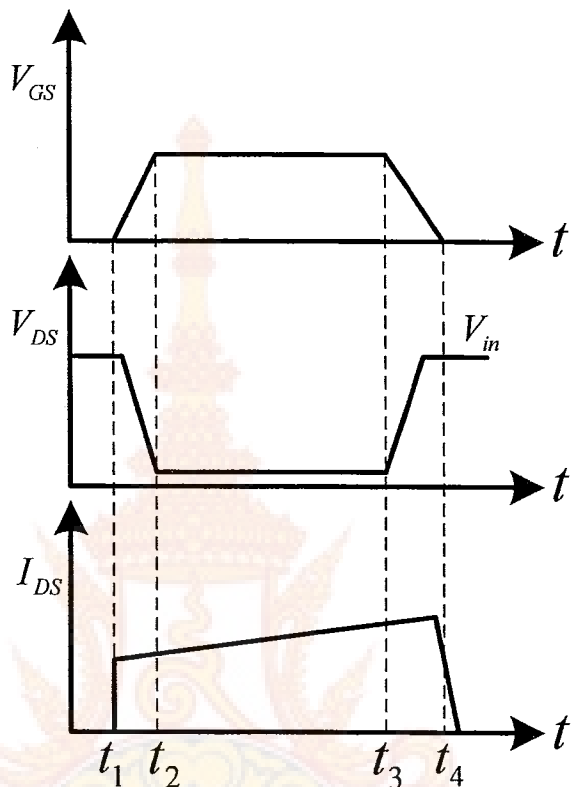
เพาเวอร์มอสเฟตสามารถทำงานได้ที่ความถี่สูงตั้งแต่ 20 kHz ไปจนถึงประมาณ 200 – 400 kHz เวลาในการเปลี่ยนสถานะค่อนข้างสั้น และจะมีการพัฒนาให้เพิ่มความถี่สูงขึ้นไปอีกซึ่งจะมีผลในการลดขนาดของบุ๊สคอนเวอร์เตอร์ ในส่วนวงจรขับของเพาเวอร์มอสเฟตนี้สามารถทำได้ง่าย เพาเวอร์มอสเฟตจึงเข้ามาแทนที่ในโพลาร์เพาเวอร์ทรานซิสเตอร์ได้อย่างรวดเร็ว ในระบบสวิตชิ่งเพาเวอร์ซัพพลาย

##### 2.4.5.1 กำลังงานสูญเสียในรูปของความร้อนของเพาเวอร์มอสเฟต

กำลังงานสูญเสียที่เกิดขึ้นในเพาเวอร์มอสเฟตจะทำงานจะเป็นไปได้ 2 ลักษณะ คือ กำลังงานสูญเสียของเปลี่ยนสถานะและกำลังงานสูญเสียขณะนำกระแสเพาเวอร์มอสเฟต จะมีช่วงเวลาเริ่มน้ำกระแสและช่วงเวลาเริ่มหาดนำกระแสสั้นมาก เพราะตามโครงสร้างของเพาเวอร์มอสเฟตจะไม่มีการสะท้อนประจุเกิดขึ้น

อย่างไรก็ตามเพาเวอร์มอสเฟตจะมีค่าความต้านทานขณะนำกระแสสูง การสูญเสียกำลังงานนำกระแสจึงสูงกว่าในโพลาร์ เพาเวอร์ทรานซิสเตอร์ถึงแม้ว่าช่วงเวลาเริ่มน้ำกระแสและหาดนำกระแสของเพาเวอร์มอสเฟตจะค่อนข้างสั้น แต่โดยทั่วไปเพาเวอร์มอสเฟตมักใช้งานที่ความถี่สูง การคิดค่ากำลังงานสูญเสียขณะทำงานจำเป็นต้องนำค่ากำลังงานสูญเสียขณะเปลี่ยนสถานะมาคิดด้วย และเนื่องจากช่วงเวลาเริ่มหาดนำกระแส (Turn off Time) กับช่วงเวลาเริ่ม

นำกระแส (Turn on Time) ของเพาเวอร์มอสเฟตมีค่าใกล้เคียงกันจึงต้องนำมาคิดทั้งสองช่วงเวลา ดังนี้เมื่อกำลังงานสูญเสียของเพาเวอร์มอสเฟตขณะทำงาน  $P_D$  จะมีค่าเท่ากับ



ภาพที่ 2-35 ลักษณะของกระแสและแรงดันตกคร่อมเพาเวอร์มอสเฟต เมื่อเริ่มน้ำกระแสและเริ่มหยุดนำกระแส

$$P_D = P_{sw(on)} + P_{sw(off)} + P_C \quad (2.46)$$

$$P_{sw(on)} = \frac{0.5I_{PK(on)}V_{in}t_r}{T} \quad (2.47)$$

$$P_{sw(off)} = \frac{0.5I_{PK(on)}V_{in}t_f}{T} \quad (2.48)$$

$$P_C = I_{D_{rms}}^2 \times R_{DS} T_{(J)} \quad (2.49)$$

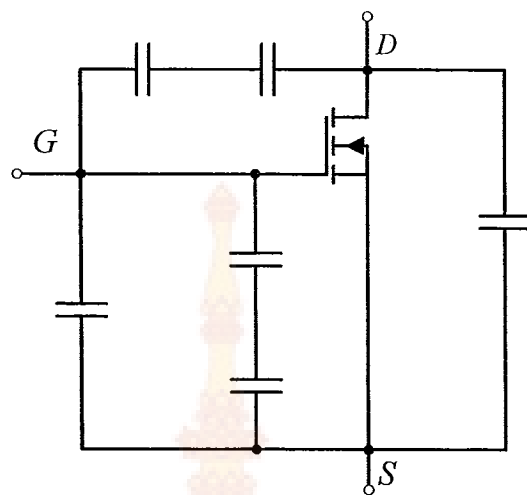
เมื่อ	$P_{sw(on)}$	คือ กำลังงานสูญเสียขณะเริ่มน้ำกระแสของเพาเวอร์มอสเฟต
	$P_{sw(off)}$	คือ กำลังงานสูญเสียขณะเริ่มหยุดน้ำกระแสของเพาเวอร์มอสเฟต
	$P_C$	คือ กำลังงานสูญเสียขณะนำกระแสของเพาเวอร์มอสเฟต
	$I_{PK(on)}$	คือ ค่ากระแสสูงสุดขณะเริ่มน้ำกระแส
	$I_{Drms}$	คือ ค่ากระแส rms
	$R_{DS}$	คือ ค่าความต้านทานระหว่างขาเดรนกับขาชอร์ส
	$T_{(J)}$	คือ อุณหภูมิroyต่อสูงสุดขณะทำงานของเพาเวอร์มอสเฟต
	$t_r$	คือ ช่วงเวลาเริ่มน้ำกระแสของเพาเวอร์มอสเฟต
	$t_f$	คือ ช่วงเวลาเริ่มหยุดนำกระแสของเพาเวอร์มอสเฟต

#### 2.4.5.2 เงื่อนไขของวงจรขับเพาเวอร์มอสเฟต

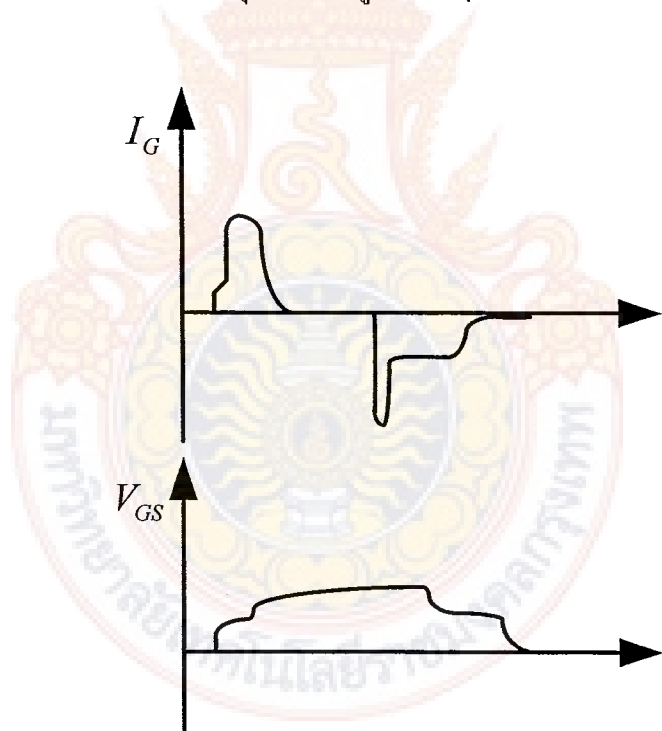
การขับเพาเวอร์มอสเฟตให้น้ำกระแสหนึ้นแตกต่างจากการขับกระแสไฟอัลในใบโพลาร์เพาเวอร์ทรานซิสเตอร์ เนื่องจากมีเงื่อนไขการใบอัลที่แตกต่างกัน สำหรับใบโพลาร์เพาเวอร์ทรานซิสเตอร์กระแสจะ ให้ผลผ่านคอลเลกเตอร์และอีมิตเตอร์ได้ ก็ต่อเมื่อมีกระแสในอัลให้ผลผ่านที่เบสและอีมิตเตอร์ แต่เพาเวอร์มอสเฟตจะมีกระแสไฟให้ผลผ่านเดรนและชอร์สได้ ก็ต่อเมื่อแรงดันตกคร่อมที่ขาเกตและชอร์สมีค่าอย่างต่ำเท่ากับค่าแรงดันจีดเริ่ง (Threshold Voltage) ของเพาเวอร์มอสเฟต แต่ใช้กระแสต่ำกว่าการขับเพาเวอร์มอสเฟตให้น้ำกระแสเพียง ทำง่ายและยุ่งยากน้อยกว่าใบโพลาร์เพาเวอร์ทรานซิสเตอร์มาก อย่างไรก็ตามเพื่อให้เพาเวอร์มอสเฟตทำงานได้อย่างมีประสิทธิภาพสูงสุด จึงจำเป็นต้องศึกษาเงื่อนไขต่างๆ สำหรับการบังคับให้เพาเวอร์มอสเฟตนำกระแสเป็นอันดับแรกเสียก่อน

#### 2.4.5.3 ค่าความจุไฟฟ้าต้านอนพุต (Input Capacitance)

เนื่องจากลักษณะโครงสร้างภายในตัวเพาเวอร์มอสเฟตเหมือนกับมีตัวเก็บประจุอยู่รอบๆ ชาต่างๆ ของเพาเวอร์มอสเฟต ตัวเก็บประจุเหล่านี้มีจังหวะให้เพาเวอร์มอสเฟตต้องหารจประจุเข้าไปที่ตัวเก็บประจุเสียก่อน เพื่อให้แรงดันตกคร่อมที่ขาเกต  $V_{GS}$  มีค่าเพิ่มขึ้นจนถึงค่าแรงดันจีดเริ่มเพาเวอร์มอสเฟตจึงเริ่มน้ำกระแส ในทางกลับกันการหยุดนำกระแสของเพาเวอร์มอสเฟต จะต้องทำให้ตัวเก็บประจุหายประจุออกไปจนแรงดันตกคร่อมที่ขาเกต  $V_{GS}$  มีค่าลดลงต่ำกว่าค่าแรงดันจีดเริ่มเพาเวอร์มอสเฟตจึงหยุดนำกระแส ลักษณะของการกระแสและแรงดันที่ขาเกตจึงมีลักษณะดังภาพที่ 2-36 โดยทั่วไปแล้วค่าความจุของตัวเก็บประจุในตัวเพาเวอร์มอสเฟตนี้อาจเป็นตัวกำหนดความเร็วในการเปลี่ยนสถานะของเพาเวอร์มอสเฟต



ภาพที่ 2-36 ตัวเก็บประจุแห้งที่ต่ออยู่ที่ขาต่างๆ ภายในตัวเพาเวอร์มอสเฟต



ภาพที่ 2-37 ลักษณะกระแสและแรงดันที่ขาเกตของเพาเวอร์มอสเฟตถูกไบอัลส์ให้กำรระดับ

## 2.5 วงจรควบคุมการทำงานสำหรับคอนเวอร์เตอร์

การควบคุมแรงดันขาออกของวงจรคอนเวอร์เตอร์ทำได้โดยการควบคุมค่าอัตราดิวตี้ไซเคิลซึ่งมี 2 ทฤษฎี ที่ใช้ในการควบคุมแรงดันขาออก คือ

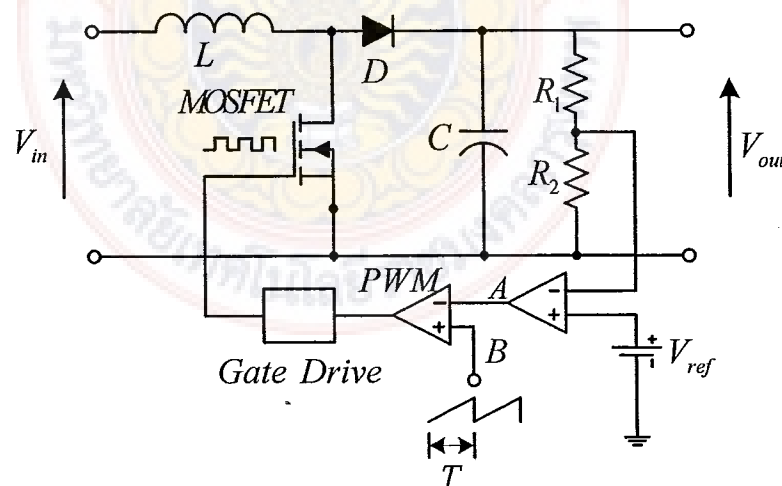
1) ควบคุมโดยให้ความถี่ในการสับสวิตช์คงที่ คือการใช้ความถี่การสับสวิตช์มีค่าคงที่ และทำการปรับดิวตี้ไซเคิลของสวิตช์เพื่อที่จะควบคุมค่าแรงดันเฉลี่ยว่างออก การควบคุมชนิดนี้เรียกว่า ปัลส์วิดชัมมอคูเลชัน (Pulse Width Modulation ; PWM)

2) ควบคุมโดยให้ความถี่ในการสับสวิตช์เปลี่ยนแปลง คือการใช้ความถี่ในการสับสวิตช์และเปลี่ยนไป โดยอาจให้ช่วงเวลาในการเปิดหรือปิดของสวิตช์ซึ่งมีค่าคงที่ ซึ่งเรียกว่า พัลส์ฟีเคนซ์ มอคูเลชัน (Pulse Frequency Modulation ; PFM)

เนื่องจากคอนเวอร์เตอร์เก็บทุกแบบจะคงค่าแรงดันเอาไว้พุด ได้ด้วยการควบคุมช่วงเวลา นำกระแสของสวิตช์จะง่ายควบคุมการทำงานของนูสคอนเวอร์เตอร์ โดยทั่วไปใช้เทคนิคการพัลส์วิดชัมมอคูเลชัน เป็นหลักการใช้ PWM เพื่อควบคุมการนำกระแสค่าของสวิตช์ในคอนเวอร์เตอร์ สามารถทำได้ใน 2 ลักษณะการทำงานของวงจรควบคุม คือ ในโหมดควบคุมวงจรแรงดันและในโหมดควบคุมกระแส

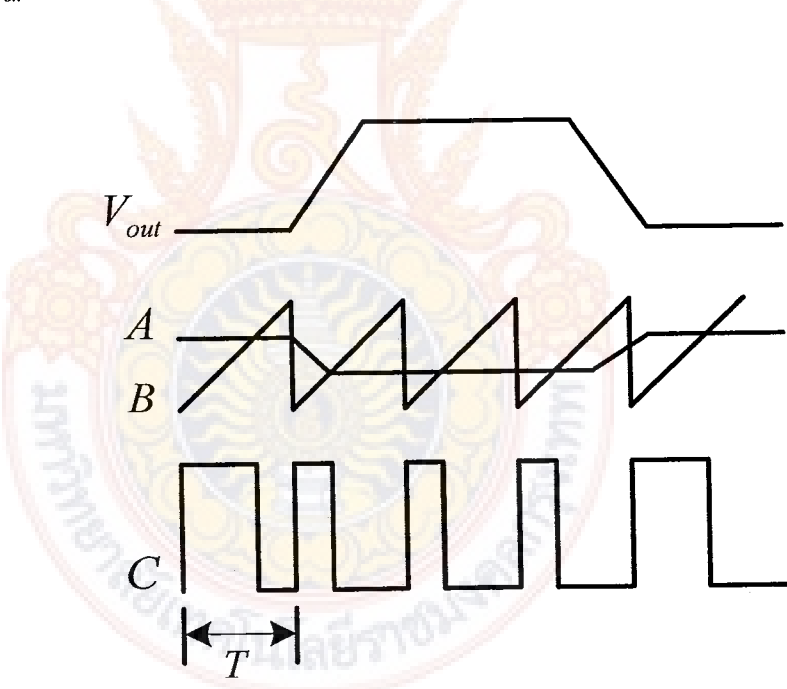
### 2.5.1 วงจรควบคุมในโหมดแรงดัน (Voltage Mode Control)

การทำงานของวงจรควบคุมในโหมดนี้จะอาศัยการตรวจจับการเปลี่ยนแปลงของค่าแรงดันที่เอาไว้พูดมาควบคุมช่วงเวลานำกระแสของสวิตช์เพื่อคงค่าแรงดันเอาไว้พุดพื้นฐานของวงจรควบคุมในโหมดควบคุมจากแรงดัน ดังในภาพที่ 2-38



ภาพที่ 2-38 วงจรพื้นฐานสำหรับการควบคุมคอนเวอร์เตอร์ในโหมดควบคุมแรงดัน

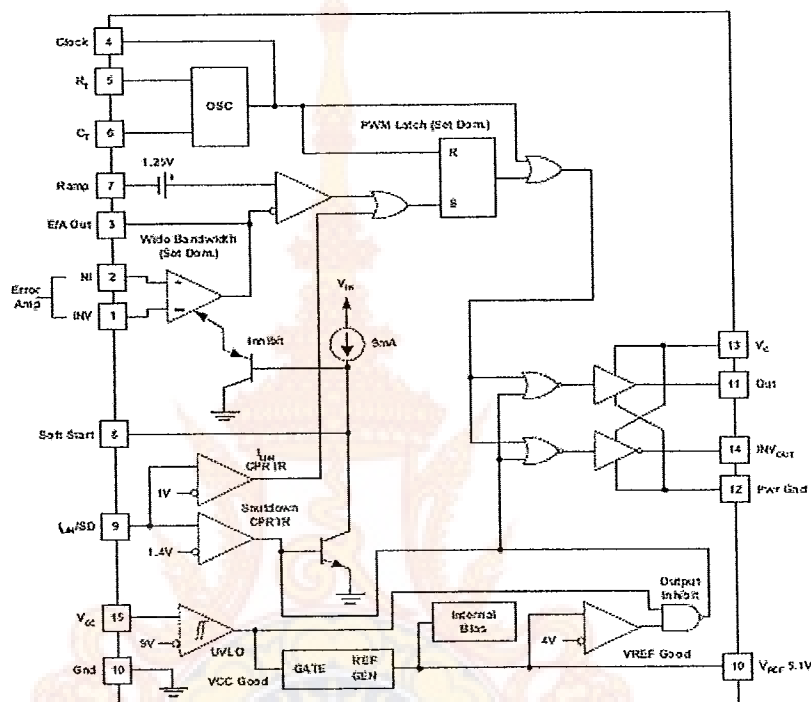
วงจรควบคุมให้แรงดันเอาต์พุตคงที่โดยจะอาศัยการป้อนกลับค่าแรงดันที่เอาต์พุต และการเปรียบเทียบกับแรงดันอ้างอิง ( $V_{ref}$ ) ของวงจรเพื่อตรวจจับการเปลี่ยนแปลงของแรงดันที่เอาต์พุตค่าแตกต่างที่ได้จะถูกขยายความแตกต่าง (E/A) ก่อนที่จะส่งไปยังวงจร PWM โดยค่าแรงดันที่ได้จากวงจรขยายความแตกต่างที่ดำเนินการ A จะถูกเปรียบเทียบกับแรงดันรูปฟันเลื่อยที่ดำเนินการ B ของ PWM อีกรั้งหนึ่ง เอาต์พุตที่ได้จากการ PWM จะเป็นพัลส์สี่เหลี่ยม ซึ่งมีความเวลาคงที่เท่ากับความเวลาของแรงดันรูปฟันเลื่อยและมีความกว้างของพัลส์เปลี่ยนไปตามผลการเปรียบเทียบของค่าแรงดันที่ดำเนินการ A และ B ค่าความกว้างของพัลส์นี้จะเป็นตัวกำหนดช่วงเวลานำกระแสของสวิตช์ในบุสคอนเวอร์เตอร์ เนื่องจากค่าแรงดันป้อนกลับจะถูกส่งมายังวงจรขยายความแตกต่างที่ขาอินเวอร์ติ้ง ผลต่างของแรงดันเอาต์พุตและแรงดันอ้างอิงที่จุด A จึงมีลักษณะต่างเฟสอยู่ที่ 180 องศา กล่าวคือ เมื่อแรงดันเอาต์พุตมีค่ามากขึ้น แรงดันที่จุด A จะมีค่าลดลง ความกว้างพัลส์ที่เอาต์พุตของวงจร PWM จึงมีค่าลดลงด้วย และช่วงเวลาการนำกระแสของเพาเวอร์นอร์มอลไฟส์ก็จะมีค่าลดลง ถ้าแรงดันเอาต์พุตลดลงแรงดันที่จุด A จะมีค่าเพิ่มขึ้นความกว้างพัลส์ที่เอาต์พุตของวงจร PWM จึงมีค่าเพิ่มขึ้น ( $t_{on}$ ) ก็จะมีค่าเพิ่มขึ้นทำให้บุสคอนเวอร์เตอร์สามารถค่าแรงดันไว้ได้



ภาพที่ 2-39 ลักษณะความกว้างของเอาต์พุตพัลส์ของ PWM

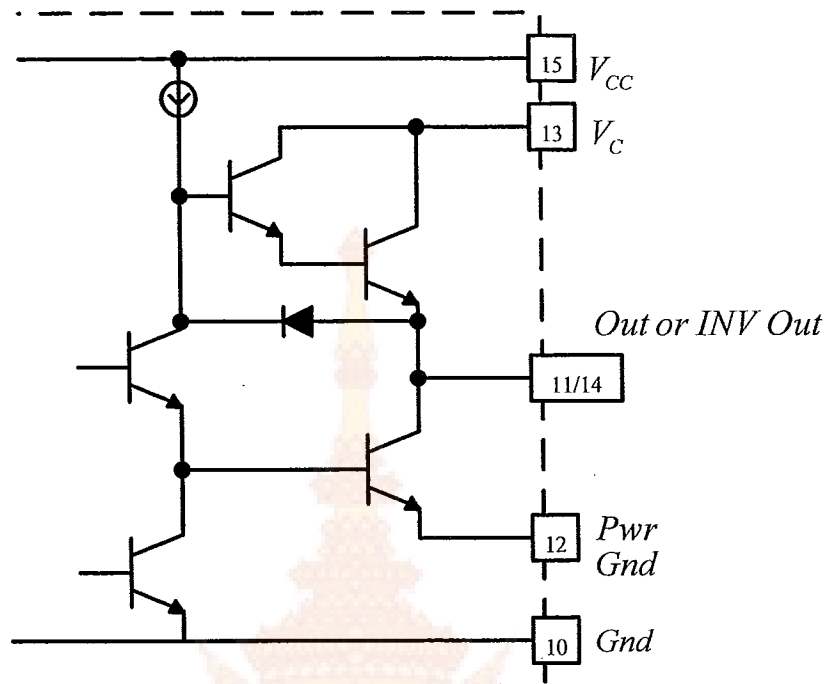
## 2.6 ไอซีที่ใช้ในการควบคุม UC3824

ไอซีเบอร์ UC3824 เป็นไอซีที่ออกแบบมาเพื่อใช้ควบคุมการทำงานของวงจรบูสต์คอนเวอร์เตอร์ โดยทำงานด้วยโหมดความถี่จากแรงดันหรือโหมดกระแสโครงสร้างภายในและการจัดขาของไอซีเบอร์ UC3824 ดังแสดงด้วยภาพที่ 2-40



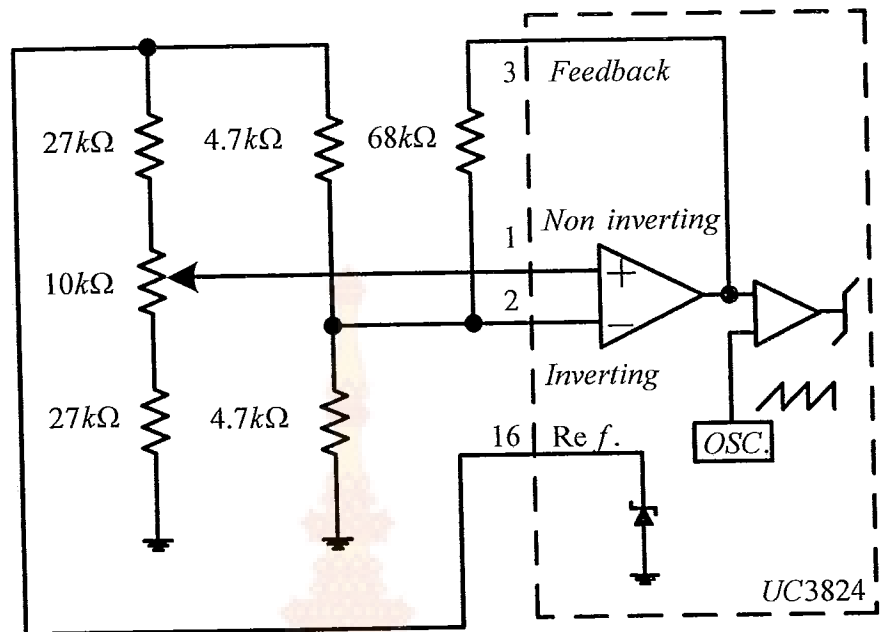
ภาพที่ 2-40 โครงสร้างภายในและการจัดขาของไอซีเบอร์ UC3824

ความกว้างของเอาต์พุตพัลส์ของไอซี จะได้จากการเปลี่ยนเทียบสัญญาณฟินเลื่อยที่ขา 7 กับแรงดันที่ได้จากการขยายความต่าง (Error Amp) ถ้าแรงดันที่มาจากวงจรขยายความต่างมีค่าสูงขึ้น จะทำให้ความกว้างของเอาต์พุตพัลส์ของไอซีลดลง ในทางกลับกันถ้าแรงดันจากวงจรขยายความต่างมีค่าลดลงจะทำให้ความกว้างเอาต์พุตพัลส์ของไอซีเพิ่มขึ้นความกว้างเอาต์พุตพัลส์ของไอซีนี้สามารถกำหนดให้มีค่ามากสุดหรือมีค่าเท่ากับศูนย์ได้ด้วยการเปลี่ยนแปลงแรงดันที่ขา 3 จาก 0.5 – 5.1 โวลต์ การเลือกใช้งานเอาต์พุตพัลส์ของไอซีที่ขา 11 และขา 14 โดยที่ขาทั้ง 2 นี้จะทำงานตรงกันข้ามกันเสมอ โดยใช้การสลับการทำงานตามจังหวะของ Flip Flop เพื่อใช้ขับวงจรบูสต์คอนเวอร์เตอร์

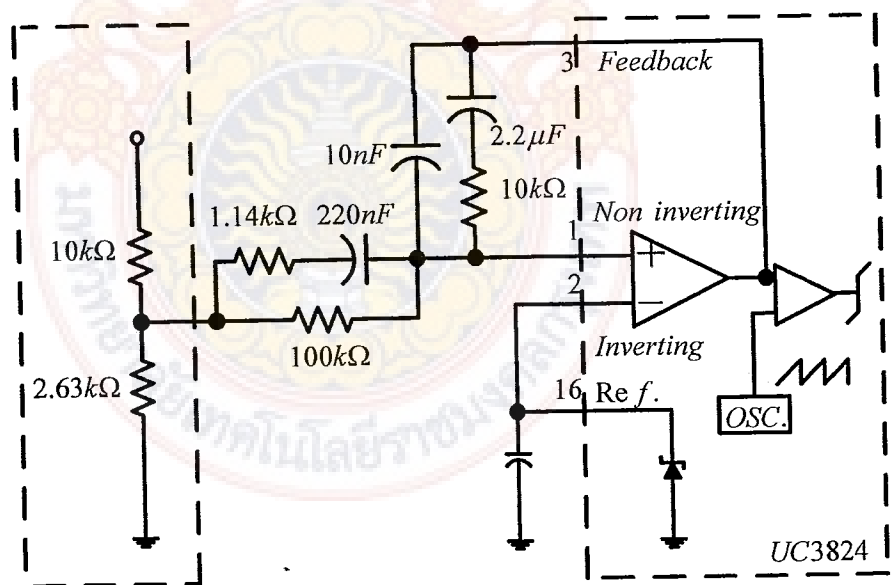


ภาพที่ 2-41 การเลือกใช้งานเอาต์พุตของ ไอซีเบอร์ UC3824

ไอซีเบอร์ UC3824 ต้องการไฟเลี้ยง 8 – 30 โวลต์ มีแรงดันข้างอิ่มภายใน 5.1 โวลต์ และสามารถจ่ายกระแสได้ถึง 100 มิลลิแอมป์ เพื่อนำไปใช้กับวงจรภายนอกได้ โดยมีค่าความถูกต้อง  $\pm 15\%$  ความคลาดเคลื่อนทางอุณหภูมิค่าน้อยกว่า 50 มิลลิโวลต์ เมื่อทำงานในช่วง 0 – 70 องศาเซลเซียส สามารถทำงานได้ที่ความถี่สูงสุด 1 MHz สามารถแสดงการต่อใช้งาน ไอซีเบอร์ UC3824 สำหรับวงจรแรงดันไฟฟ้ากระแสตรงทั้งแบบ Open loop และ Close loop เป็นต้น



ภาพที่ 2-42 การต่อใช้งานวงจรควบคุมไอซีแบบ Open loop



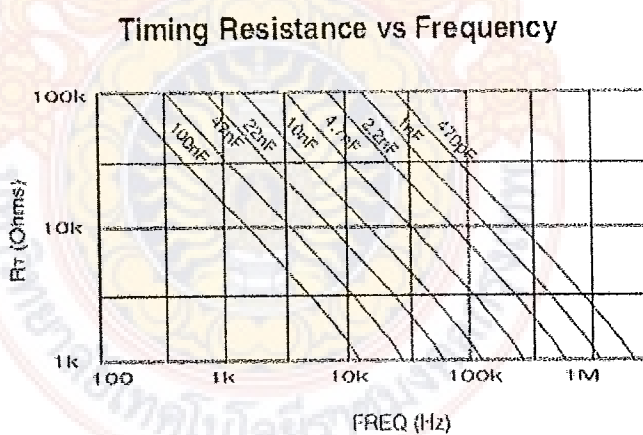
ภาพที่ 2-43 การต่อใช้งานวงจรควบคุมไอซีแบบ Close loop

จากภาพที่ 2-41 เป็นการต่อใช้งานแบบ Open loop จะใช้แรงดันที่ขา 1 เป็นแรงดันอ้างอิง โดยแบ่งแรงดันจากขา 16 ให้เหลือ 2.5 โวลต์ ส่วนที่ขา 2 จะเป็นแรงดันที่จะปรับเข้าไปวัดผลต่าง กับแรงดันอ้างอิงและขาที่ 3 จะเป็นขาที่ใช้ต่อตัวต้านทานที่ใช้ในการปรับค่าตัวข่าย

จากภาพที่ 2-42 เป็นการต่อใช้งานแบบ Close loop จะใช้แรงดันที่ขา 2 เป็นแรงดันอ้างอิงที่ 5.1 โวลต์ของขา 16 ส่วนขา 2 และ 3 จะใช้เป็นจุดต่อร่วมกับวงจร Compensation Network ซึ่งเป็น วงจรในการควบคุมแบบย้อนกลับ จะใช้โวลต์เตาดิไวเดอร์วัดสัญญาณแรงดันเอาต์พุตนำกลับมา เปรียบเทียบกับสัญญาณอ้างอิง

วงจรสร้างสัญญาณกำเนิดความถี่ไอซีเบอร์ UC3824 เป็นวงจรที่มีความถี่คงที่ ตามเวลา การทำงานของอาต์พุตพัลส์กำหนดโดยค่าของ  $R_T$  และ  $C_T$  จากภายนอกที่ขา 5 และขา 6 ของไอซี ค่าความเวลาการทำงานกำหนดได้จากสมการที่ (2-44)

$$f = \frac{1}{C_T R_T} \quad (2-50)$$



ภาพที่ 2-44 กราฟความสัมพันธ์ของค่า  $R_T$  และ  $C_T$  ในการกำหนดความถี่

## 2.7 วงจรควบคุมการประจุและสับเปลี่ยนแหล่งจ่ายไฟฟ้า

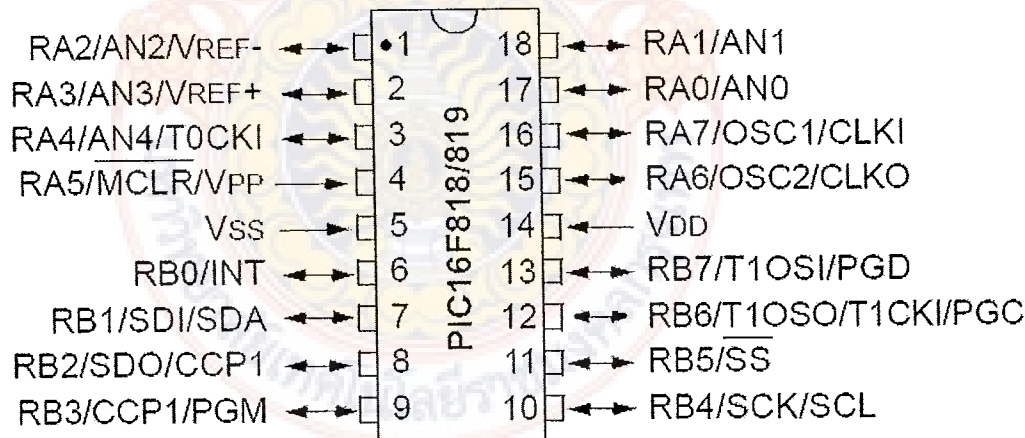
มีหน้าที่ควบคุมการประจุอัลตราคาป่าชิเตอร์ โดยทั่วไปมีหน้าที่สำคัญ คือ

2.7.1 ตัดการประจุเมื่อแรงดันที่ อัลตราคาป่าชิเตอร์ ถึงพิกัด เพื่อป้องกันการประจุเกิน (Over Charge)

2.7.2 ตัดการจ่ายพลังงานของอัลตราคาป่าชิเตอร์ไปสู่ภาระทางไฟฟ้า เมื่ออัลตราคาป่าชิเตอร์มีแรงดันไฟฟ้าต่ำ (Low Voltage Disconnect)

2.7.3 สั่งการให้จ่ายพลังงานจากเซลล์แสงอาทิตย์ เมื่อมีแรงดันไฟฟ้าเพียงพอสำหรับภาระทางไฟฟ้าและสำหรับการประจุ รวมถึงการจ่ายพลังงานจากอัลตราคาป่าชิเตอร์ เมื่อเซลล์แสงอาทิตย์มีแรงดันไม่เพียงพอ

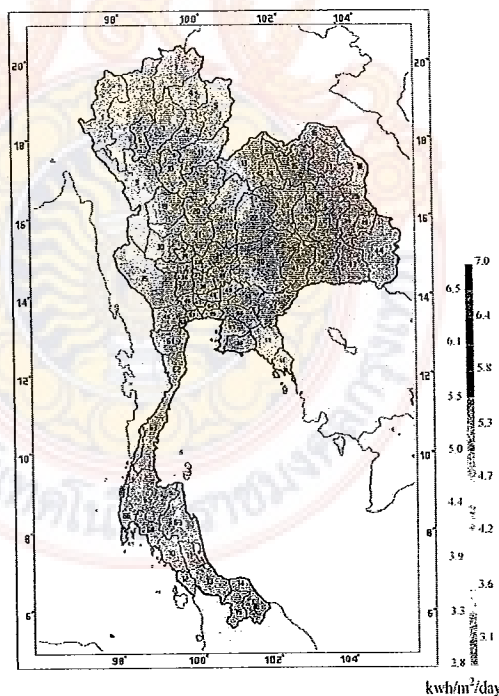
2.7.4 ไอซีที่ใช้ในการควบคุมการประจุและสับเปลี่ยนแหล่งจ่ายไฟฟ้า ไอซีเบอร์ PIC16F819 เป็นไอซีไมโครคอนโทรลเลอร์ที่สามารถทำการโปรแกรมให้อ่านค่าสัญญาณอนาล็อกได้ รวมถึงนำค่าสัญญาณนั้นมาประมวลผลตามเงื่อนไขของโปรแกรมและแสดงผลออกมานเป็นตัวเลข ได้เมื่อใช้ต่อร่วมกับจอ LCD หรือ 7 segment ด้านเอกสารพูดของไอซีสามารถนำสัญญาณไปขึ้นอุปกรณ์ต่างๆ ได้ เช่น BJT และ RELAY นอกจากนี้ขาดง่ายของไอซียังสามารถโปรแกรมให้ใช้งานได้หลายฟังก์ชัน



ภาพที่ 2-45 การจัดขาของไอซีเบอร์ PIC16F819

## 2.8 ศักยภาพพลังงานแสงอาทิตย์ของประเทศไทย

ศักยภาพพลังงานแสงอาทิตย์ของประเทศไทย (พ.ศ. 2542) โดยกรมพัฒนาและส่งเสริมพลังงานและคณะวิทยาศาสตร์ มหาวิทยาลัยศิลปากรพบว่าการกระจายของความเข้มรังสีดวงอาทิตย์ตามบริเวณต่างๆ ในแต่ละเดือนของประเทศไทย ได้รับอิทธิพลสำคัญจากลมมรสุมตะวันออกเฉียงเหนือ และลมมรสุมตะวันตกเฉียงใต้ และพื้นที่ส่วนใหญ่ของประเทศไทยได้รับรังสีดวงอาทิตย์สูงสุดระหว่างเดือนเมษายน และพฤษภาคม โดยมีค่าอยู่ในช่วง 20 ถึง 24 MJ/m<sup>2</sup>-day (5.55 – 6.66 kwh/m<sup>2</sup>-day) เมื่อพิจารณาแผนที่ศักยภาพพลังงานแสงอาทิตย์รายวันเฉลี่ยต่อปีพบว่าบริเวณที่ได้รับรังสีดวงอาทิตย์สูงสุดเฉลี่ยทั้งปีอยู่ที่ภาคตะวันออกเฉียงเหนือ โดยครอบคลุมบางส่วนของจังหวัดนครราชสีมา บุรีรัมย์ สุรินทร์ ศรีสะเกษ ร้อยเอ็ด ยโสธร อุบลราชธานี และอุดรธานี และบางส่วนของภาคกลางที่จังหวัดสุพรรณบุรี ชัยนาท อุบลฯ และพะเยา โดยได้รับรังสีดวงอาทิตย์เฉลี่ยทั้งปี 19 ถึง 20 MJ/m<sup>2</sup>-day (5.27 – 5.55 kwh/m<sup>2</sup>-day) พื้นที่ดังกล่าวคิดเป็น 14.3% ของพื้นที่ทั้งหมดของประเทศไทย นอกจากนี้ยังพบว่า 50.2% ของพื้นที่ทั้งหมด ได้รับรังสีดวงอาทิตย์เฉลี่ยทั้งปี ในช่วง 18-19 MJ/m<sup>2</sup>-day (5.00 – 5.27 kwh/m<sup>2</sup>-day) จากการคำนวณรังสีรวมของดวงอาทิตย์รายวันเฉลี่ยต่อปีของพื้นที่ทั่วประเทศไทยมีค่าเท่ากับ 18.2 MJ/m<sup>2</sup>-day (5.05 kwh/m<sup>2</sup>-day) จากผลที่ได้นี้แสดงให้เห็นว่าประเทศไทยมีศักยภาพพลังงานแสงอาทิตย์ค่อนข้างสูง



ภาพที่ 2-46 แผนที่ศักยภาพพลังงานแสงอาทิตย์ของประเทศไทย

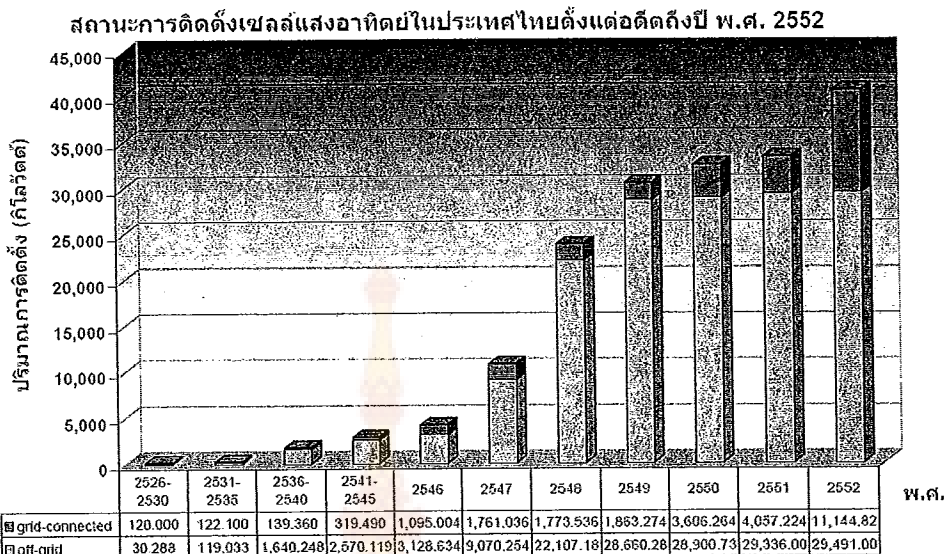
ที่มา: กรมพัฒนาพลังงานทดแทนและอนุรักษ์พลังงาน ออนไลน์

กรมพัฒนาพลังงานทดแทนและอนุรักษ์พลังงาน ได้ดำเนินการจัดทำโครงการด้านพลังงานแสงอาทิตย์ทั่วประเทศไทย ตั้งแต่ปี พ.ศ. 2526-2552 จำนวนทั้งสิ้น 1,456 แห่ง ขนาดกำลังการผลิต 3,349.491 กิโลวัตต์ โดยแบ่งออกเป็นระบบต่างๆ ดังนี้

### ตารางที่ 2-5 โครงการด้านพลังงานแสงอาทิตย์ทั่วประเทศไทย

ระบบ	แห่ง	กิโลวัตต์
ระบบประจุเบตเตอร์สำหรับหมู่บ้านชนบท	353	1025.5
ระบบผลิตไฟฟ้าสำหรับโรงเรียนชนบทและโรงเรียนชนบทเพื่อขยายกำลังผลิต	217	946.5
ระบบผลิตไฟฟ้าสำหรับศูนย์การเรียนชุมชน	157	235.5
ระบบผลิตไฟฟ้าสำหรับโรงเรียนต่อรากะร่วนชายแดน	38	100.75
ระบบผลิตไฟฟ้าสำหรับฐานปฏิบัติการทางทหารและต่อรากะร่วนชายแดน	415	93.375
ระบบผลิตไฟฟ้าสำหรับสถานีอนามัย	83	166
ระบบผลิตไฟฟ้าสำหรับเขตพื้นที่ป่าสงวนแห่งชาติและอุทยานแห่งชาติ	40	120
ระบบผลิตไฟฟ้าเชื่อมต่อกับระบบจำหน่ายไฟฟ้า	15	202.2
ระบบผลิตไฟฟ้าในพื้นที่โครงการอันเนื่องมาจากพระราชดำริ	67	275.666
ระบบสูบน้ำสำหรับหมู่บ้านชนบท	65	130
ระบบสูบน้ำสำหรับสถานีอนามัย	1	4
ระบบ Mini Grid สำหรับหมู่บ้าน	5	50
รวม	1,456	3,349.491

สำหรับการใช้งานด้านพลังงานแสงอาทิตย์ของประเทศไทยนับตั้งแต่ปี พ.ศ. 2526-2552 พบว่า มีหน่วยงานทั้งในส่วนของภาครัฐ สถาบันการศึกษาและเอกชน ได้ดำเนินการติดตั้งระบบผลิตไฟฟ้าด้วยเซลล์แสงอาทิตย์ ระบบสูบน้ำด้วยเซลล์แสงอาทิตย์ รวมถึงระบบการต่อสารด้วยเซลล์แสงอาทิตย์เป็นจำนวนถึง 40,568.833 กิโลวัตต์



ที่มา : พช. ยธ. กฟผ. กฟภ. กฟใน. สำนข. สวอ. กส. ตด. นจด. นน. นห. สนพ. TEI. โรงไฟฟ้าพลังงานแสงอาทิตย์ กรมพัฒนาภาครัฐและภาคเอกชน ที่อยู่ในเครือข่าย ประจำปี พ.ศ. 2552  
ข้อมูลโดย : สถาบันเพื่อแนวโน้มแสงอาทิตย์ กรมพัฒนาภาครัฐและภาคเอกชน ที่อยู่ในเครือข่าย ประจำปี พ.ศ. 2552

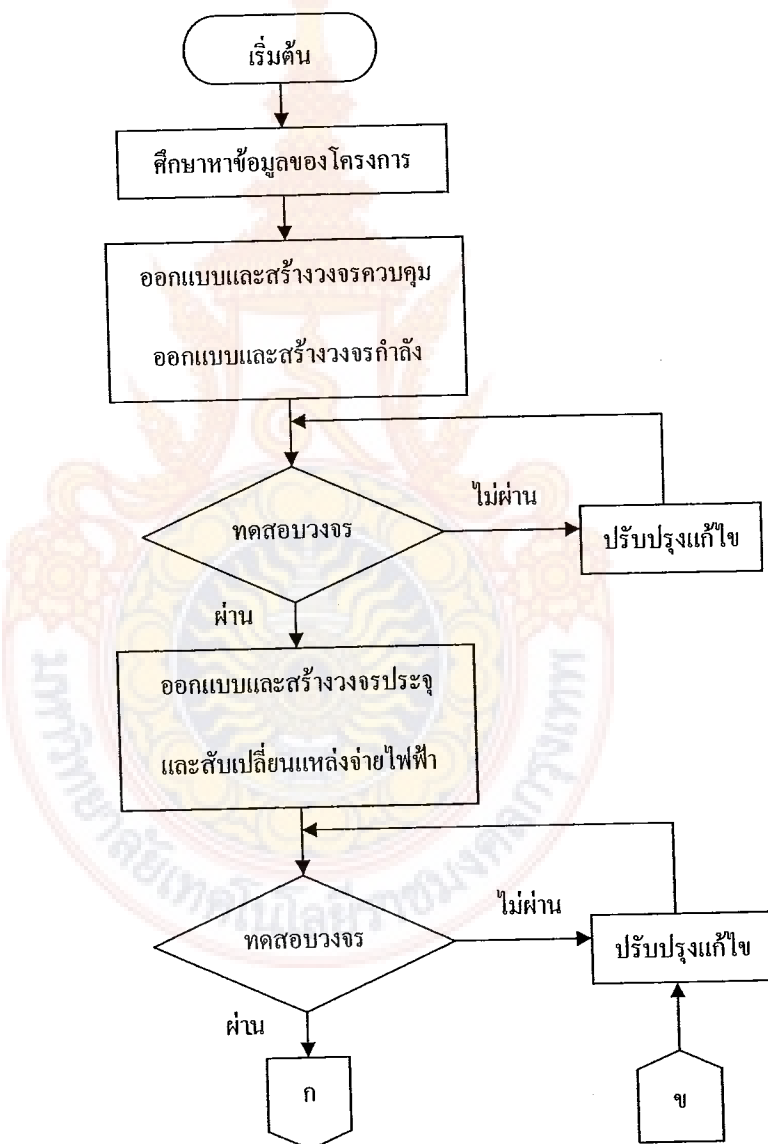
ภาพที่ 2-47 แผนภูมิการติดตั้งเซลล์แสงอาทิตย์ในประเทศไทย  
ที่มา: กรมพัฒนาพลังงานทดแทนและอนุรักษ์พลังงาน ออน-ไลน์

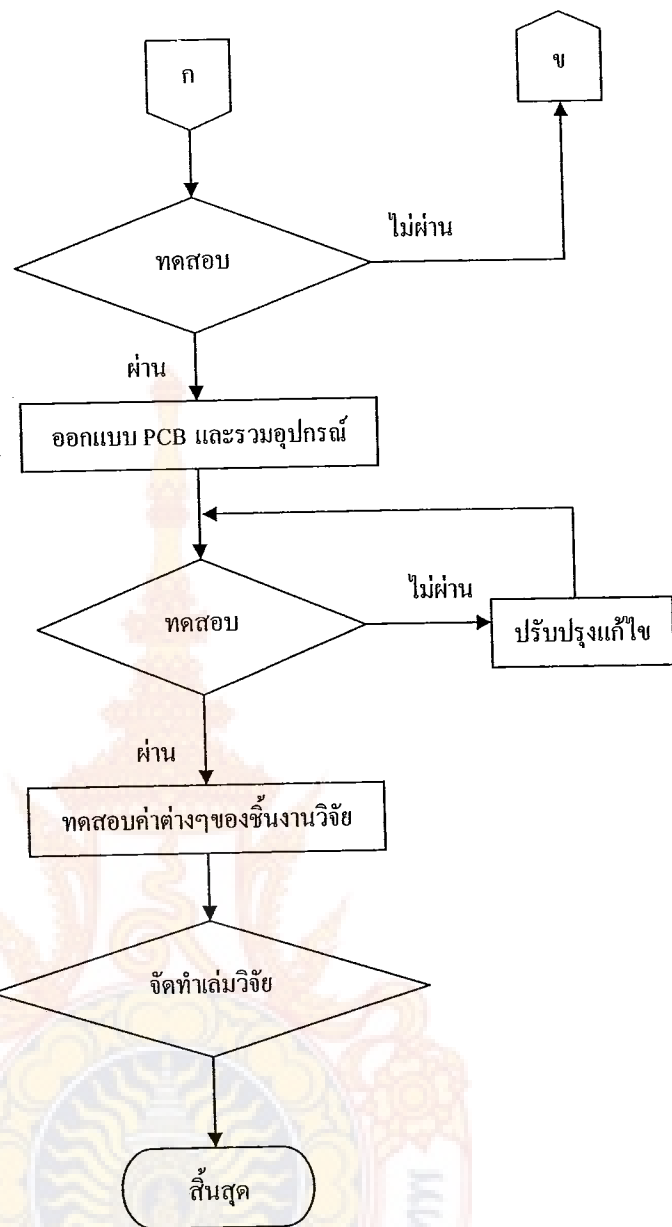
ปัจจุบันได้มีการให้ความสำคัญกับพลังงานแสงอาทิตย์มากขึ้นเนื่องด้วยเล็งเห็นถึงพลังงานของโลกที่ใช้อยู่ในปัจจุบันเริ่มจะหมดไป พลังงานแสงอาทิตย์จึงเข้ามามีบทบาทมากในการเป็นอีกหนึ่งทางเลือกสำหรับพลังงานทดแทนในอนาคต ในประเทศไทยเริ่มนำพลังงานจากแสงอาทิตย์มาใช้เพิ่มมากขึ้นเนื่องจากเซลล์แสงอาทิตย์มีราคาที่ถูกลงกว่าสมัยก่อนมากจึงเป็นที่นิยมในปัจจุบันอีกทั้งยังมีการใช้ในโครงการพระราชดำริต่างๆ รวมถึงหน่วยงานจากภาครัฐและเอกชนให้การสนับสนุนในโครงการต่างๆ อีกmanyทำให้มีการใช้งานเพิ่มมากขึ้นอย่างรวดเร็ว ดังเห็นได้จากภาพที่ 2-47 จะเห็นได้ว่า จากการติดตั้งปัจจุบันมีแนวโน้มในการใช้พลังงานจากแสงอาทิตย์เพิ่มมากขึ้นเรื่อยๆ

### บทที่ 3

#### การออกแบบงานวิจัย

ขั้นตอนการดำเนินการออกแบบเพื่อสร้างแหล่งจ่ายไฟแบบไฮบริด์ ประกอบด้วยขั้นตอน  
ต่างๆ ซึ่งอธิบายด้วยแผนผังการทำงานดังภาพที่ 3-1

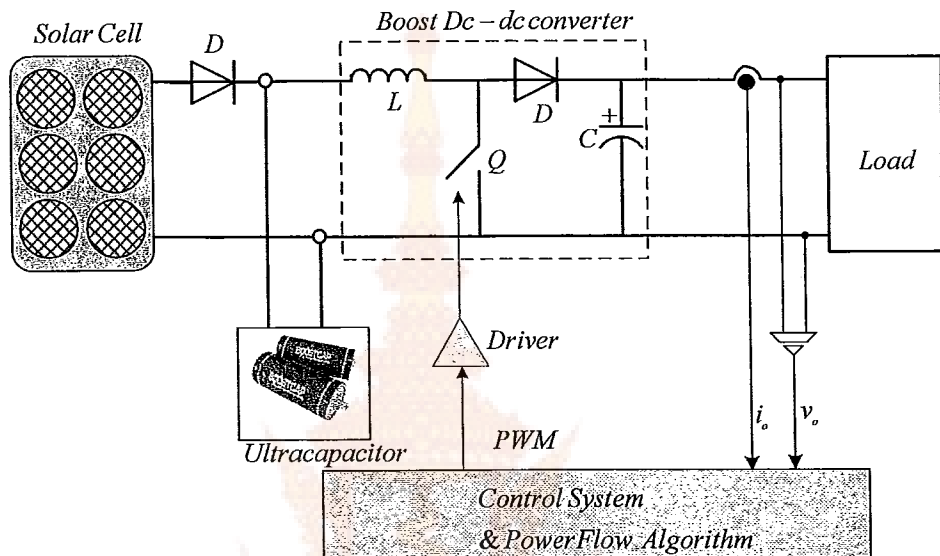




ภาพที่ 3-1 แผนผังขั้นตอนการดำเนินงาน

### 3.1 การศึกษาข้อมูล

จากการศึกษาข้อมูลรวมถึงทฤษฎีต่างๆ ที่เกี่ยวข้องในการสร้างแหล่งจ่ายไฟแบบบุสคอนเวอร์เตอร์จาก อัลตราค่าปานิชิเตอร์โดยใช้เซลล์แสงอาทิตย์เป็นผู้โครงสร้างของงานวิจัยได้ดังนี้



ภาพที่ 3-2 แผนผังโครงสร้างแหล่งจ่ายไฟแบบบุสคอนเวอร์เตอร์จากอัลตราค่าปานิชิเตอร์โดยใช้เซลล์แสงอาทิตย์

จากแผนผัง โครงสร้างในภาพที่ 3-2 สามารถอธิบายการทำงานของแหล่งจ่ายไฟแบบบุสคอนเวอร์เตอร์จาก อัลตราค่าปานิชิเตอร์ ได้ดังนี้

3.1.1 INPUT ได้จากเซลล์แสงอาทิตย์ขนาด 70 วัตต์ 17.6 โวลต์ 4.38 แอมป์ โดยระดับแรงดันอินพุต ได้จากเซลล์แสงอาทิตย์ที่มีระดับแรงดันระหว่าง 12 – 24 โวลต์ซึ่ง ตามความเข้มของแสงอาทิตย์

3.1.2 อัลตราค่าปานิชิเตอร์ ขนาด 1200 ฟาร์ด 2.7 โวลต์ อนุกรมกัน 5 ตัว 2 ชุด ได้ความจุ 240 ฟาร์ด 13.5 โวลต์ ทำหน้าที่เก็บและจ่ายพลังงานเมื่อโหลดต้องการพลังงานชั่วขณะ

3.1.3 POWER UNIT เป็นส่วนภาคกำลังของวงจรบุสคอนเวอร์เตอร์ ประกอบด้วย 2 ส่วน คือ วงจรกำลัง และวงจรกรองแรงดัน โดยวงจรกรองกำลังจะทำหน้าที่ในการเปลี่ยนแปลงระดับ

แรงดันไฟฟ้ากระแสตรงจากระดับหนึ่งเป็นอีกระดับที่สูงขึ้น โดยทำงานตามหลักการของวงจรทบท แรงดันไฟฟ้ากระแสตรง แต่แรงดันที่ได้จากการกำลังจะซัมมิล่าวนของแรงดันกระแสเพื่อมรวมอุกมา ดังนั้นแรงดันที่ได้จะต้องผ่านวงจรกรองแรงดัน เพื่อลดแรงดันกระแสเพื่อมที่รวมอุกมา

3.1.4 CONTROL UNIT ในส่วนของวงจรควบคุม จะใช้ไอซีกำเนิดพัลส์วิดซัมมูลค่าชั้น เมอร์ UC3824 ในการควบคุมการทำงานของวงจรบูสต์เตอร์ความถี่ที่ใช้ 100 kHz โดยจะนำ สัญญาณแรงดันเอาต์พุตและสัญญาณกระแสเอาต์พุตป้อนกลับมาทำการเปรียบเทียบกับแรงดัน อ้างอิงของชุดดูเซอร์ระบบ เพื่อนำสัญญาณที่ได้ไปควบคุมการทำงานของวงจรบูสต์เตอร์ เพื่อช่วยให้แรงดันเอาต์พุตของวงจรบูสต์เตอร์คงที่

3.1.5 OVER CURRENT PROTECTION หากด้านเอาต์พุตจะมีวงจรป้องกันในส่วนของ กระแสเอาต์พุต โดยเมื่อกระแสเอาต์พุตมีค่าสูงเกินกว่าที่ตั้งไว้และเมื่อเกิดการลัดวงจร วงจรป้องกัน ส่วนนี้จะทำการตัดวงจรทางด้านเอาต์พุตออกจากโหลดเพื่อป้องกันความเสียหายที่อาจเกิดขึ้น

### 3.2 การออกแบบวงจรกำลังของวงจรบูสต์เตอร์

วงจรกำลังของวงจรบูสต์เตอร์ จะประกอบไปด้วยอุปกรณ์ที่สำคัญ คือ ตัว เဟนี่ชาน้ำความถี่สูง อุปกรณ์ที่ทำหน้าที่สวิตช์ ตัวเก็บประจุทางด้านเอาต์พุต วงจรกำลังต้องมี ความสามารถในการทำงาน ได้ปกติที่ขนาดพิกัดกระแส แรงดัน และความถี่ที่ใช้งานนี้ที่ 100 kHz ซึ่งเป็นความถี่ในการสวิตช์ของอุปกรณ์สวิตช์ และเนื่องจากแรงดันเอาต์พุตที่ได้จากการบูสต์ เวอร์เตอร์ แต่ละตัวยังมีส่วนของแรงดันกระแสเพื่อมอยู่ ดังนั้นจึงต้องผ่านวงจรกรองแรงดันเพื่อลด แรงดันกระแสเพื่อม

ในวงจรกำลังจะประกอบไปด้วยการออกแบบส่วนต่างๆ ดังนี้

- 1) การคำนวณหาค่าตัวหน่วยน้ำความถี่สูง
- 2) การเลือกอุปกรณ์ในการสวิตช์
- 3) การคำนวณหาค่าตัวเก็บประจุทางด้านเอาต์พุต
- 4) การเลือกไดโอดความถี่สูง .

### 3.2.1 การคำนวณหาค่าตัวเหนี่ยวน์นำความถี่สูง

วงจรบูสคอนเวอร์เตอร์ตัวเหนี่ยวน์เป็นอุปกรณ์ที่สำคัญมาก เนื่องจากมีหน้าที่ในการเก็บและถ่ายพลังงานเป็นผลให้ระดับแรงดันทางด้านเอาต์พุตมีค่าสูงกว่าระดับแรงดันทางด้านอินพุต การคำนวณหาค่าของตัวเหนี่ยวน์สามารถหาได้จาก

$$L = \frac{V_s D}{f \Delta I} \quad (3.1)$$

เมื่อ  $L$  คือ ค่าตัวเหนี่ยวน์

$V_s$  คือ แรงดันอินพุต

$D$  คือ ดิวตี้ไซเคิล

$f$  คือ ความถี่ที่ใช้ในวงจร

$\Delta I$  คือ กระแสกระแสเพื่อมทางอินพุต

$$D = \frac{(V_o - V_s)}{V_o} = \frac{(24 - 12)}{24} = 0.5$$

แทนค่าในสมการที่ (3.1) เพื่อหาค่าตัวเหนี่ยวน์

$$L = \frac{12 \times 0.5}{100 \times 10^3 \times 0.12} = 500 \mu H$$

เมื่อได้ค่าของตัวเหนี่ยวน์แล้วจะหาขนาดของแกนที่ใช้โดยเลือกชนิดของแกนเป็นแกนเฟอร์เรต เพราะมีค่าสูงเสียต่ำเมื่อทำงานที่ความถี่สูง การคำนวณขนาดใช้วิธีการคำนวณแบบ  $A_p$  (Area Approach) วิธีนี้เป็นการออกแบบเพื่อใช้ค่า  $T_{rise}$  ซึ่งอยู่ในรูปของความหนาแน่นกระแสของลวดตัวนำ ( $J = 100 - 1000 A/cm^2$ ) โดยคำนวณขนาดของแกนเฟอร์เรตดังนี้

ขั้นตอนที่ 1 จากขีดจำกัดและข้อกำหนดในการคำนวณหาค่า  $A_p$  ในการคำนวณค่าต่างๆ ดังนี้  $J = 4 A/mm^2 = 4 \times 10^6 A/m^2$ ,  $k = 0.45$  กระแสสینพุต ( $I_{rms}$ ) =  $3.53A$  กระแสสินพุต สูงสุด ( $I_{peak}$ ) =  $5A$  และ  $B = 0.25$  แทนค่าลงในสมการที่ 3.2

$$A_p = \frac{LI_{peak}I_{rms}}{BJk} \quad (3.2)$$

$$= \frac{500 \times 10^{-6} \times 5 \times 3.53}{0.25 \times 4 \times 10^6 \times 0.45}$$

$$= 19.611 \times 10^{-9} \approx 19611 mm^3$$

ขั้นตอนที่ 2 เลือกขนาดของแกนเพอร์ไอิร์ทที่มีค่า  $A_p$  มากกว่าที่ได้คำนวณมาจากการขั้นตอนที่ 1 เพื่อจะได้เลือก  $A_p$  น้อยกว่าที่คำนวณได้อาจจะทำให้มีได้ค่าต่างๆ ตามต้องการ โดยจะเลือกใช้ แกนเพอร์ไอิร์ทเบอร์ ETD59 ซึ่งมีค่าต่างๆ ดังนี้

$$A_p = 51500 mm^3, A_w = 366 mm^2, S = 368 mm^2$$

ขั้นตอนที่ 3 กำหนดให้  $L = 500 \mu H$ ,  $I_{peak} = 5A$ ,  $B = 0.25$ , และ  $S = 368 mm^2$  แทนค่าเพื่อหาจำนวนรอบของชุดลวดตัวหนีบว่าจะได้ ดังนี้

$$N = \frac{LI_{peak}}{BS} \quad (3.3)$$

$$= \frac{500 \times 10^{-6} \times 5}{0.25 \times 368 \times 10^{-6}} = 27 \text{ รอบ}$$

ขั้นตอนที่ 4 คำนวณหาขนาดของขดลวดตัวนำ  $A_v$

$$A_v = \frac{I_{rms}}{J} \quad (3.4)$$

$$\begin{aligned} &= \frac{3.53A}{4 \times 10^6 A/m^2} \\ &= 0.88 mm^2 \end{aligned}$$

ขั้นตอนที่ 5 เลือกเบอร์ลวดทองแดงให้มี  $A_v$  ใหญ่กว่า  $A_v$  ที่ได้จากการคำนวณจากขั้นตอนที่ 4 โดยคำนวณเส้นผ่านศูนย์กลางของขดลวดได้จาก สมการที่ 3.5

$$d = \sqrt{\frac{4A_v}{\pi}} \quad (3.5)$$

$$= \sqrt{\frac{4 \times 0.88 mm^2}{\pi}}$$

$$= 1.058 mm$$

เลือกขดลวดเบอร์ 26 มีเส้นผ่านศูนย์กลางมากกว่าที่คำนวณได้ เนื่องจากเส้นผ่านศูนย์กลางมีผลต่อการไฟฟ้าในขดลวด ถ้าค่าน้อยกว่าที่คำนวณได้กระแสจะไฟฟ้าไม่ถึงที่ต้องการ ทำให้กระแสไฟฟ้าไม่ต่อเนื่อง

ขั้นตอนที่ 6 คำนวณหาพื้นที่หน้าตัดของชุดลวดที่ใช้งานจริงว่าสามารถนำไปใช้กับแกนเฟืองได้หรือไม่

$$A_w = \frac{\pi d^2}{4} \quad (3.6)$$

$$= \frac{\pi (1.058)^2}{4}$$

$$= 0.88 \text{ mm}^2$$

$$W = \frac{N \times A_w}{k} \quad (3.7)$$

$$= \frac{27 \times 0.88}{0.45}$$

$$= 52.8 \text{ mm}^2$$

ดังนั้นจะได้  $W$  ที่ใช้ได้จะมีค่า  $\leq 366 \text{ mm}^2$

ขั้นตอนที่ 7 คำนวณหาค่าความกว้างของ Air Gab ( $l_g$ )

$$l_g = \frac{\mu_o N^2 S}{2L} \quad (3.8)$$

$$= \frac{4\pi \times 10^{-7} \times (27)^2 \times 368 \times 10^{-6}}{2 \times 500 \times 10^{-6}}$$

$$= 0.9 \text{ mm}$$

### 3.2.2 การเลือกอุปกรณ์สวิตช์

อุปกรณ์สวิตช์ในวงจรบูสต์เรอร์ควรเลือกอุปกรณ์ที่สามารถทำงานได้ดีที่สุดเมื่อสูงเวลาในการเปลี่ยนสถานะท่อนข้างสั้น ในโครงงานนี้ได้เลือกใช้เพาเวอร์มอสเฟตทำหน้าที่เป็นอุปกรณ์สวิตช์ เพราะนอกจากสามารถทำงานที่ความถี่สูงตั้งแต่ 30 – 400 kHz แล้วเวลาในการสับสวิตช์อยู่ในช่วงนาโนวินาที และในวงจรเพาเวอร์มอสเฟตนั้น สามารถทำได้จ่ายเพียงความคุณด้วยแรงดันและต้องการกระแสอินพุตค่าต่ำๆ เท่านั้น

### 3.2.3 การคำนวณหาค่าตัวเก็บประจุด้านเอาต์พุต

ในวงจรกำลังของวงจรทบทแรงดันไฟฟ้ากระแสตรง ตัวเก็บประจุด้านเอาต์พุตของวงจรมีหน้าที่ในการเก็บพลังงานรูปของประจุไฟฟ้าและทำการจ่ายแรงดันออกให้กับเอาต์พุต โหลด หรือคายประจุไฟฟ้าเมื่ออุปกรณ์สวิตช์  $T_{on}$  และทำการเก็บประจุ เมื่ออุปกรณ์สวิตช์  $T_{off}$  ดังนั้น จำเป็นต้องเลือกตัวเก็บประจุที่สามารถทนแรงดันได้เท่าหรือมากกว่าแรงดันเอาต์พุต หากเลือกตัวเก็บประจุที่มีขนาดใหญ่จะมีส่วนช่วยในการลดแรงดันกระแสเพื่อมทางด้านเอาต์พุต การคำนวณหาค่าตัวเก็บประจุทางด้านเอาต์พุตหาได้จาก สมการที่ 3.9

$$C = \frac{I_o D}{f \Delta V_o} \quad (3.9)$$

เมื่อ  $C$  คือ ค่าตัวเก็บประจุทางด้านເອາະພຸດ

$I_O$  คือ แรงดันทางด้านອินพຸດ

$D$  คือ ดิวตี้ไซเคิล

$f$  คือ ความถี่ที่ใช้ในวงจร

$\Delta V_O$  คือ แรงดันกระแสเพื่อมทางด้านເອາະພຸດ

แทนค่าลงในสมการที่ 3.9 เพื่อหาค่าตัวเก็บประจุทางด้านເອາະພຸດ

$$C \geq \frac{2 \times 0.5}{100 \times 10^3 \times 0.024} \geq 416.6 \mu F$$

ดังนั้น ควรเลือกขนาดตัวเก็บประจุทางด้านເອາະພຸດของวงจรที่มีค่าสูงกว่า  $416.6 \mu F$  และแรงดันที่ทันได้ต้องไม่ต่ำกว่าแรงดันເອາະພຸດ โครงการนี้ได้เลือกใช้ขนาดตัวเก็บประจุทางด้านເອາະພຸດ  $6800 \mu F$  ทันแรงดันได้ 35 โวลต์

ในการเลือกค่าตัวเก็บประจุใช้ค่าที่มีความจุยิ่งสูงจะทำให้แรงดันกระแสเพื่อมทางด้านເອາະພຸດ มีค่าลดลง แต่ค่าความจุของตัวเก็บประจุจะต้องไม่น้อยกว่าค่าที่คำนวณได้ ถ้าเลือกตัวเก็บประจุที่มีค่าความจุและอัตราทานแรงดันสูงๆ ราคาก็จะสูงตามไปด้วย จึงต้องเลือกขนาดให้เหมาะสมกับการใช้งาน

### 3.2.4 การเลือกໄດ້ໂອດຄວາມຄືສູງ

ໄດ້ໂອດທີ່ໃຊ້ໃນวงຈຽກລັງຂອງງຈຽກນູສຄອນເວອຣ໌ເຕອຣ໌ທຳງານທີ່ຄວາມຄືສູງ ໄດ້ໂອດທີ່ໃຊ້ໃນງຈຽກເຮັກຕິໄຟເອອຣ໌ໂດຍຫ້ໄປຈະໄນ່ສາມາດນຳມາໃຊ້ງານໄດ້ ການເລືອກໃຊ້ງານໄດ້ໂອດໃນງຈຽກ ກຽກລັງຂອງງຈຽກນູສຄອນເວອຣ໌ເຕອຣ໌ນີ້ຈຳເປັນຕົ້ນທີ່ມີຄຸນສົມບັດທີ່ສຳຄັນ ອີ່ທຳງານທີ່ຄວາມຄືສູງໄດ້ ແລະນີ້ແຮງດັນຕົກຄ່ອມຂະນະນໍາກະແສດໍາ

### 3.3 การออกแบบจังหวัดความคุณว่างจรรยาบรรณเวอร์เตอร์

ในส่วนของวงจรที่ควบคุมการทำงานของจรรยาบรรณเวอร์เตอร์ จะทำหน้าที่ควบคุมให้แรงดันเอาต์พุตคงที่ 24 โวลต์ โดยใช้การป้อนกลับของแรงดันและกระแสทางด้านเอาต์พุต นอกจากนี้จะควบคุมยังทำหน้าที่ผลิตความถี่ที่ใช้ในการสวิตซ์ของอุปกรณ์สวิตช์

ในการออกแบบจังหวัดความคุณจะประกอบไปด้วยวงจรต่างๆ ดังนี้

- 1) วงจรกำเนิดสัญญาณความถี่
- 2) วงจรในโหมดควบคุมแรงดันและวงจรชดเชยระบบ

#### 3.3.1 วงจรกำเนิดสัญญาณความถี่

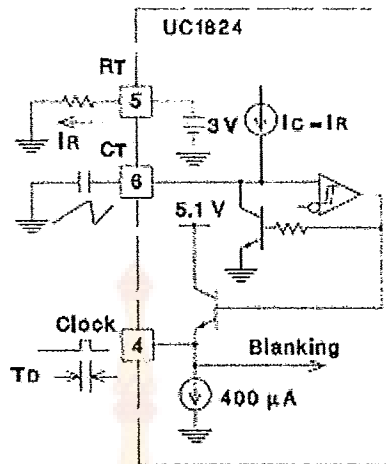
ไอซี UC3824 สามารถควบคุมการทำงานแบบ PWM โดยที่มีความถี่คงที่ ความถี่ และความเวลาในการทำงานของเอาต์พุต กำหนดได้โดยค่าของ  $C_T$  และ  $R_T$  ที่ต่ออยู่ภายใต้ขา 5 และ 6 ของไอซี วงจนี้จะทำหน้าที่กำเนิดความถี่และควบคุมความถี่ให้คงที่ ค่าความถี่สามารถหาได้จาก สมการที่ 3.10

$$f = \frac{1}{R_T C_T} \quad (3.10)$$

เมื่อ  $f$  คือ ความถี่ในการทำงานของอุปกรณ์สวิตช์  
 $C_T$  กำหนดให้มีค่า  $1nF$

ดังนั้น  $R_T$  มีค่า

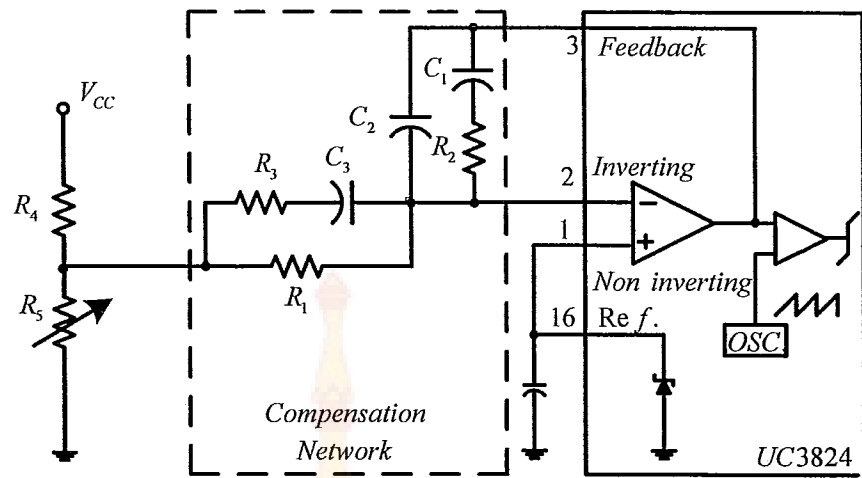
$$R_T = \frac{1}{100 \times 10^3 \times 1 \times 10^{-9}} = 10 k\Omega$$



ภาพที่ 3-3 วงจรกำเนิดสัญญาณความถี่ของไอซี UC3824

### 3.3.2 วงจรควบคุมในโหมดแรงดันและวงจรชดเชยระบบ

การตรวจจับแรงดันเอาต์พุตจะใช้แบบแรงดันเอาต์พุต ซึ่งเป็นสัญญาณบวก ซึ่งจะใช้ค่าความต้านทาน  $R_1$  และ  $R_2$  โดยอาศัยหลักการแบ่งแรงดันมาเปรียบเทียบกับแรงดันอ้างอิง  $V_{ref}$  เมื่อแรงดันเอาต์พุตมีค่าลดลง จะทำให้  $V_{error}$  มีค่ามากขึ้นและนำสัญญาณที่ได้จากการเปรียบเทียบระหว่าง  $V_{error}$  และ  $V_{ref}$  ไปเข้ากับชุดชดเชยระบบ เพื่อใช้ในการปรับดิวตี้ไซเคิล (Duty Cycle) โดยจะนำสัญญาณ  $V_{error}$  ที่ได้ไปเปรียบเทียบกับสัญญาณ Ramp Oscillator ทำให้ได้สัญญาณ DTC Comp ไปควบคุมการเปิดและปิดของเพาเวอร์มอสไฟต์ วงจนี้จะถูกควบคุมแรงดันเอาต์พุตให้คงที่และชดเชยให้ระบบมีเสถียรภาพ



ภาพที่ 3-4 วงจรในโหนดควบคุมแรงดันและวงจรชดเชยระบบ

การหาค่าความต้านทาน  $R_1$  และ  $R_2$  จะใช้หลักการของวงจรเบ่งแรงดันคำนวณค่าได้จากสมการที่ 3.11

$$V_{out} = \left[ \frac{R_1}{R_2} + 1 \right] \times V_{ref} \quad (3.11)$$

- เมื่อ  $V_{out}$  คือ แรงดันเอาต์พุตของวงจรนูสคอนเวอร์เตอร์  
 $V_{ref}$  คือ แรงดันอ้างอิงที่ขา 1 มีค่าน่าท่ากับขา 2 กำหนดให้มีค่า 5 โวลต์  
 $R_1$  คือ กำหนดให้มีค่า  $10k\Omega$

แทนค่าลงในสมการที่ 3.11 เพื่อหาค่า  $R_2$  จะได้

$$24 = 5 \left[ \frac{10 \times 10^3}{R_2} + 1 \right]$$

$$\therefore R_2 = 2.632 k\Omega$$

การคำนวณหาค่าอุปกรณ์ในวงจรชดเชยระบบ (Compensation Network)  
สมการ Loop Transfer Function ดังนี้

$$\left|G_L(S)\right|_{fc} = \left|G_C(S)\right|_{fc} \cdot \left|G_{PWM}(S)\right|_{fc} \cdot \left|G_{PS}(S)\right|_{fc} \cdot K_{FB} = 1$$

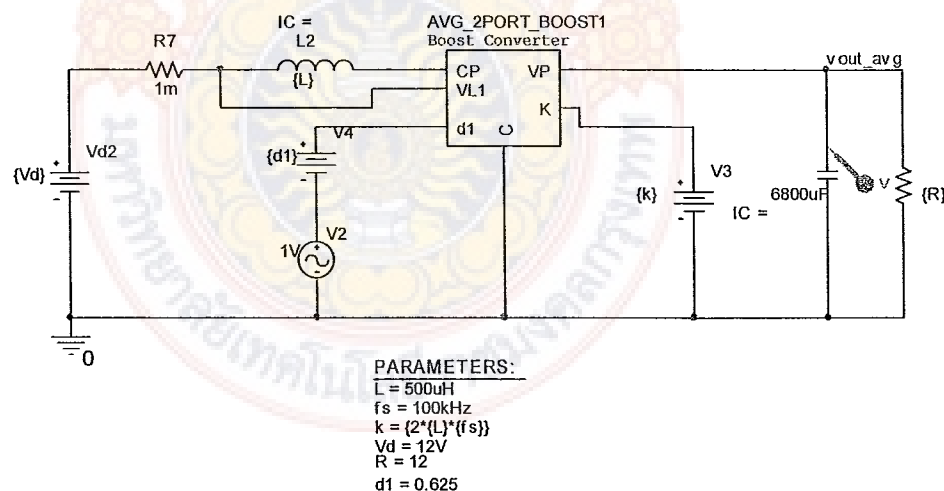
อัตราการขยายสัญญาณไฟฟ้ากระแสสลับ  $|G_{PWM}(S)|$  หาได้จาก

$$\left|G_{PWM}(S)\right|_{fc} = \frac{1}{V_r} = \frac{1}{1.8} = 0.556$$

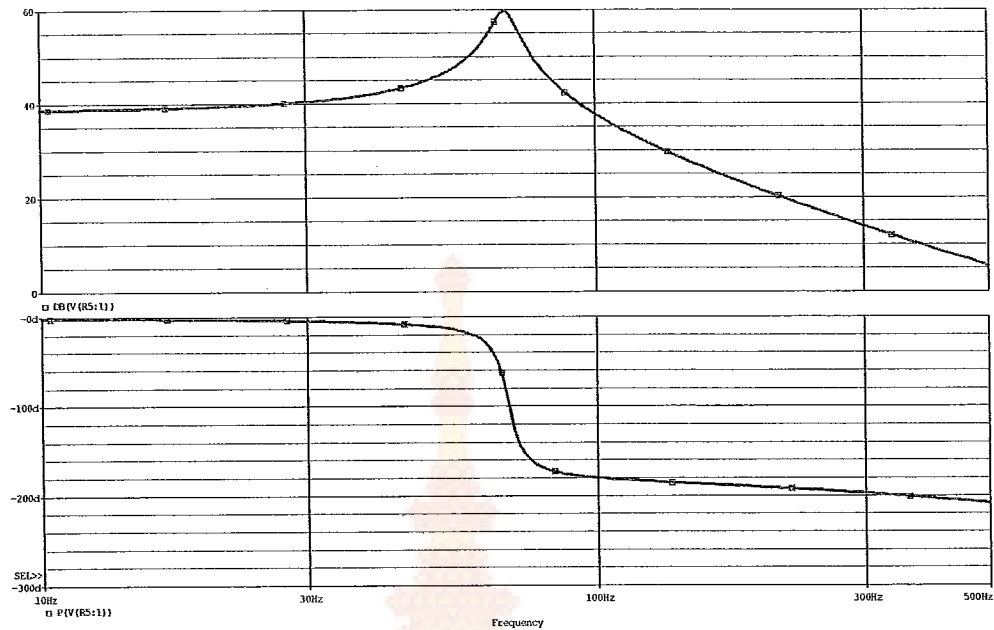
เมื่อ  $V_r$  คือ Valley - to - peak of PWM ไอซี UC3824 = 1.8 โวลต์ อัตราขยายของ Output Voltage Sensing Network ของ Boost Converter

$$K_{FB} = 0.2$$

Power State of Boost Converter  $\left|G_{PS}(S)\right|_{fc}$   
จำลองวงจรบูสต์คอนเวอร์เตอร์ โดยใช้โปรแกรม Orcad Pspice เพื่อหาความถี่ของ Bode Plot



ภาพที่ 3-5 จำลองวงจรบูสต์คอนเวอร์เตอร์ด้วยโปรแกรม Orcad Pspice



ภาพที่ 3-6 ผลของการจำลองวงจรบูตคอนเวอร์เตอร์ ด้วยโปรแกรม Orcad /Pspice

จากผลของการจำลองดังภาพที่ 3-6 สามารถนำไปหาค่าต่างๆ ได้ดังนี้

เลือก

$$f_c = 100 \text{ Hz}$$

$$\left| G_{PS}(S) \right|_{f_c} = 20 \text{ db} = 10$$

$$\angle \left| G_{PS}(S) \right|_{f_c} = -185.42^\circ$$

$$\therefore \left| G_C(S) \right|_{f_c} = \frac{1}{(0.556)(10)(0.2)} = 0.9$$

หาค่า  $\phi_{boost}$  ได้จากสมการ

$$\phi_{boost} = -90^\circ + \phi_{PM} - \angle |G_{PS}(S)|_{fc}$$

ซึ่ง  $\phi_{PM} = 60^\circ$  ซึ่งเป็นค่านิยมในการออกแบบ

$$\therefore \phi_{boost} = -90^\circ + 60^\circ + 185.49^\circ = 155.42^\circ$$

หาค่า  $K_{boost}$  ได้จาก

$$K_{boost} = \tan\left(45^\circ + \frac{\phi_{boost}}{4}\right)$$

$$= \tan\left(45^\circ + \frac{155.42^\circ}{4}\right)$$

$$= 9.28$$

หาค่า  $f_z$

$$f_z = \frac{fc}{K_{boost}} = \frac{100}{9.28} = 10.77 \text{ Hz} ; \omega z = 2\pi(10.77) = 67.67 \text{ rad}$$

หาค่า  $f_p$

$$f_p = (K_{boost})(fc) = (9.28)(100) = 928 \text{ Hz} ; \omega p = 2\pi(928) = 5830.8 \text{ rad}$$

หาค่า  $K_C$

$$K_C = |G_C(S)|_{fc} \cdot \frac{\omega z}{K_{boost}} = \frac{(0.9)(67.67)}{9.28} = 5.56$$

กำหนดให้  $R_1 = 100k\Omega$

หาค่า  $C_2$  ได้จาก

$$C_2 = \frac{\omega z}{K_C \omega_p R_1} = \frac{67.67}{(6.56)(5830.8)(100 \times 10^3)} = 17.7 nF$$

หาค่า  $C_1$  ได้จาก

$$C_1 = C_2 \left( \frac{\omega p}{\omega z - 1} \right) = (17.7 \times 10^{-9}) \left( \frac{5830.8}{67.67 - 1} \right) = 1.54 \mu F$$

หาค่า  $R_2$  ได้จาก

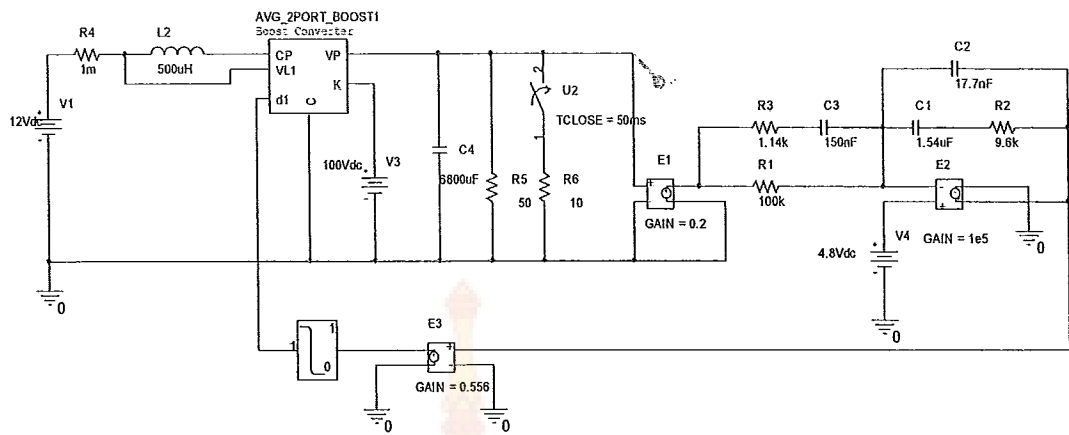
$$R_2 = \frac{1}{\omega z C_1} = \frac{1}{(67.67)(1.54 \times 10^{-6})} = 9.6 k\Omega$$

หาค่า  $R_3$  ได้จาก

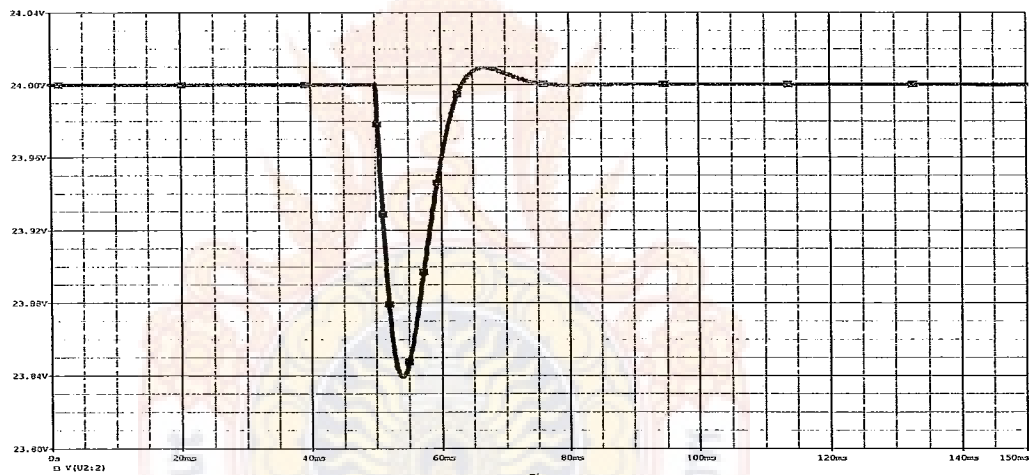
$$R_3 = \frac{R_1}{(\omega p) / (\omega z - 1)} = \frac{100 \times 10^3}{(5830.8) / (67.67 - 1)} = 1.14 k\Omega$$

หาค่า  $C_3$  ได้จาก

$$C_3 = \frac{1}{\omega p R_3} = \frac{1}{(5830.8)(1.14 \times 10^3)} = 150 nF$$



ภาพที่ 3-7 วงจรจำลองผลการตอบสนองของรุ่นสกอนเวอร์เตอร์ ด้วยโปรแกรม Orcad Pspice



ภาพที่ 3-8 ผลการตอบสนองของรุ่นสกอนเวอร์เตอร์ ด้วยโปรแกรม Orcad Pspice

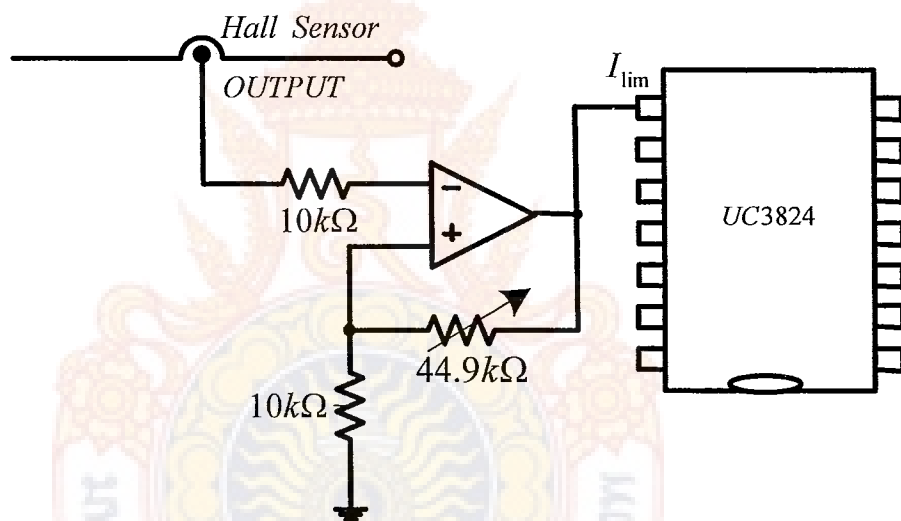
จากภาพที่ 3-8 จะเห็นได้ว่าผลตอบสนองเมื่อเราทำการป้อนกลับวงปิด และออกแบบตัวควบคุมแล้วสามารถควบคุมแรงดันเอาต์พุตให้คงที่ได้เมื่อมีโหลดมีการเปลี่ยนแปลง

### 3.4 การออกแบบวงจรป้องกัน

เนื่องจากวงจรของแหล่งจ่ายไฟแบบบุสคอนเวอร์เตอร์จากอัลตราคาปิซิเตอร์ โดยใช้เซลล์แสงอาทิตย์ไม่มีส่วนของวงจรป้องกัน หากเกิดปัญหานี้ร่องกระแสอาจกระตุกอาจก่อให้เกิดการทำงานที่ผิดพลาดของวงจรและส่งผลทำให้อุปกรณ์ต่างๆ ภายในวงจรเกิดความเสียหายขึ้น ได้จึงได้ทำการออกแบบวงจรป้องกันดังนี้

#### 3.4.1 วงจรจำกัดกระแสด้านเอาต์พุต (Current Limit Circuit)

โครงงานนี้ออกแบบให้จำกัดกระแสให้ 2 แอมป์ และเพื่อป้องกันความเสียหาย เมื่อวงจรกระแสเกินกว่าที่ออกแบบไว้ จึงใช้วงจรจำกัดกระแสด้านเอาต์พุตและเพื่อการตรวจสอบสัญญาณกระแสได้อย่างแม่นยำ โดยไม่เกิดค่าสัญญาณในรูปของความร้อนจึงเลือกใช้ Hall Sensor เป็นตัวตรวจจับกระแส



ภาพที่ 3-9 วงจรจำกัดกระแสด้านเอาต์พุต

เมื่อมีโหลดจะมีกระแสไหลส่งผลให้ Hall Sensor ส่งสัญญาณเป็นแรงดันไฟฟ้าสู่วงจรปรับระดับสัญญาณ ซึ่งในที่นี้ใช้อุปกรณ์ LF351 จากนั้นจึงผ่านขา 9 ซึ่งสัญญาณแรงดันดังกล่าวจะนำไปเปรียบเทียบกับ  $V_{ref}$  จากขา 16 ใน TL598 หากกระแสไหลเกิน 2 แอมป์ จะส่งผลให้สัญญาณจากแรงดัน Hall Sensor มีมากกว่า  $V_{ref}$  ซึ่งจะทำให้เพาเวอร์มอเตอร์หยุดทำงาน

คำนวณหาค่า  $R_2$  ได้ดังนี้

ที่ 2 แอมป์ Hall Sensor ส่งสัญญาณเป็นแรงดันไฟฟ้าเท่ากับ 0.8 โวลต์ เพื่อให้ได้อาตพุต  
เท่ากับ 5 โวลต์ ดังนั้นอัตราการขยายเท่ากับ 2.5 เท่า

$$A_V = 1 + \frac{R_2}{R_1}$$

กำหนดให้  $R_1 = 1k\Omega$

แทนค่าหา  $R_2$

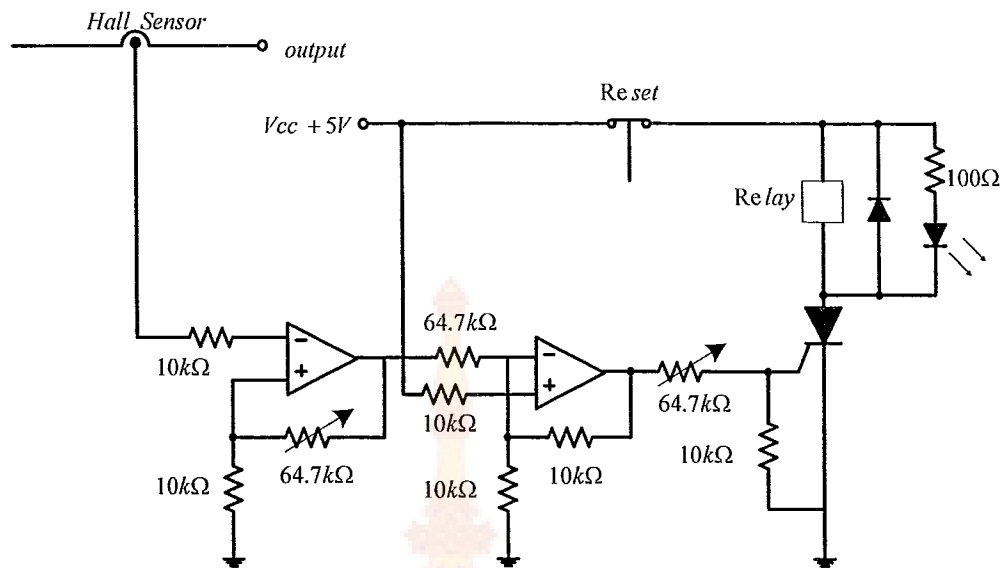
$$2.5 = 1 + \frac{R_2}{1k\Omega}$$

$$\therefore R_2 = 1.5 k\Omega$$

#### 3.4.2 วงจรตัดการทำงานเมื่อเกิดการลัดวงจรด้านอาตพุต (Short Circuit Protection)

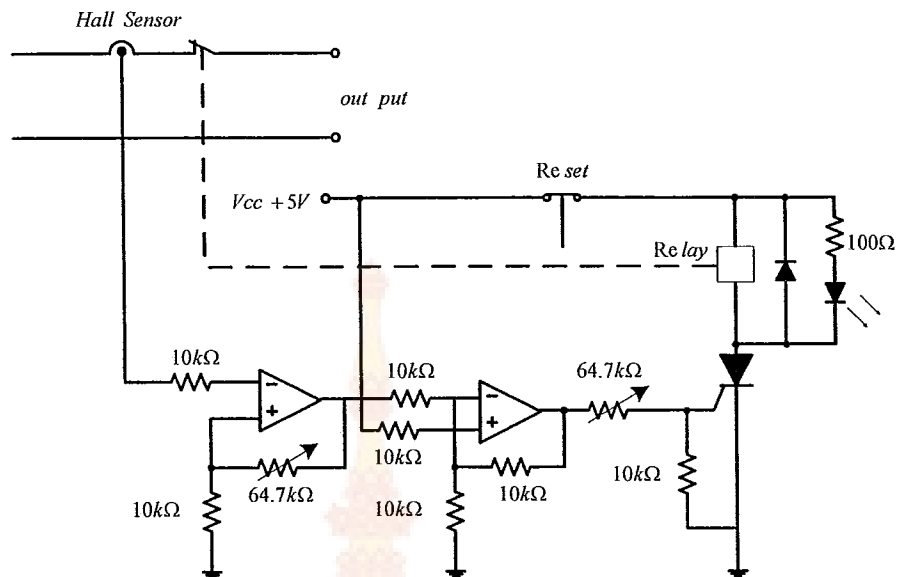
เนื่องจากวงจรจำกัดกระแสไม่สามารถตัดวงจรได้หากมีการลัดวงจรเกิดขึ้น ดังนั้นจึงจำเป็นต้องมีวงจรป้องกันการลัดวงจรอีกชุด

อุปกรณ์หลักที่ใช้ในวงจรป้องกันการลัดวงจรด้านอาตพุต คือ รีเลย์การใช้รีเลย์ในวงจร  
ป้องกันกระแสเกินนั้น เนื่องจากการตอบสนองที่รวดเร็วกว่าการป้องกันด้วยฟิวส์ที่ป้องกันกระแส  
เกินเวลาเป็นนานและกระแสเพื่อนใหม่ๆ มากจะเป็นลูกคลื่นที่มีความถี่สูงดังนั้นจึงต้องมีการ  
ตอบสนองที่มีความไวสูง



ภาพที่ 3-10 การทำงานของวงจรตัดการทำงานเมื่อถูกดึงจากด้านआดีพูต

โดยออกแบบด้วยวิธีการนำสัญญาณกระแสมาควบคุมหน้าสัมผัสแม่เหล็ก โดยใช้การตรวจจับกระแสด้วย Hall Sensor เป็นตัวตรวจจับกระแส เมื่อเอาต์พูตเกิดการดึงจากขึ้นจะทำให้ Hall Sensor ส่งสัญญาณแรงดันมาผ่านวงจรขยายสัญญาณแบบไม่กัลบเฟส โดยใช้อปเปนปี LM324 จากนั้นจึงผ่านวงจรรวมสัญญาณ ซึ่งจะได้สัญญาณผลต่างจากการหักสองทั้งสองที่มีแรงดันโดยที่จะมีซีเนอร์ไดโอดเป็นตัวรักษาแรงดันแรงดันที่เหมาะสมที่จะทริกที่ขาเกตของเอสซีอาร์ เมื่ออ่อนซีอาร์ทำงานก็จะไปควบคุมขาด漉รีเลย์และทำการตัดวงจรที่หน้าสัมผัสปกติปิด (Normally Closed Contact) และมี LED แสดงผลบอกสถานะ นอกจากนี้เอสซีอาร์จะรักษาสภาพหน้าสัมผัสไว้เพื่อไม่ให้เกิดการปิดวงจรอีกเมื่อตัดกระแสไฟไปแล้ว จนกว่าจะมีการกดสวิตช์รีเซ็ตอีกครั้ง



ภาพที่ 3-11 วงจรป้องกันการลัดวงจรด้านเอาต์พุต

คำนวณหาค่าต่างๆ ในวงจรป้องกันการลัดวงจรได้ดังนี้

หากค่า  $R_{15}$  จากวงจรขยายไม่เก็บเฟส อัตราการขยายหาได้จาก

$$A_V = 1 + \frac{R_{15}}{R_{14}}$$

กำหนดให้  $R_{14}$  มีค่าเท่ากับ  $10k\Omega$  และ  $A_V$  มีค่า 7.5 เท่า แทนค่าหา  $R_{14}$  จะได้

$$7.5 = 1 + \frac{R_{15}}{10k\Omega}$$

$$\therefore R_{15} = 65k\Omega$$

หาค่า  $R_{20}$  เมื่อกระแสทริกาเกตของเอกสารซีอาร์  $I_{GR} = 200 \mu A$  และดันเอาท์พุตจากวงจรรวมสัญญาณ  $V_{OP} = 2.5V$

ดังนั้นค่าความต้านทานที่ขาดของเอกสารซีอาร์  $R_{20}$

$$\begin{aligned} R_{20} &= \frac{V_{OP}}{I_{GR}} \\ &= \frac{2.5}{200 \times 10^{-6}} \\ \therefore R_{20} &= 12.5 k\Omega \end{aligned}$$

### 3.5 การออกแบบวงจรควบคุมการประจุและสับเปลี่ยนแหล่งจ่ายไฟฟ้า (Charge & switch Controller)

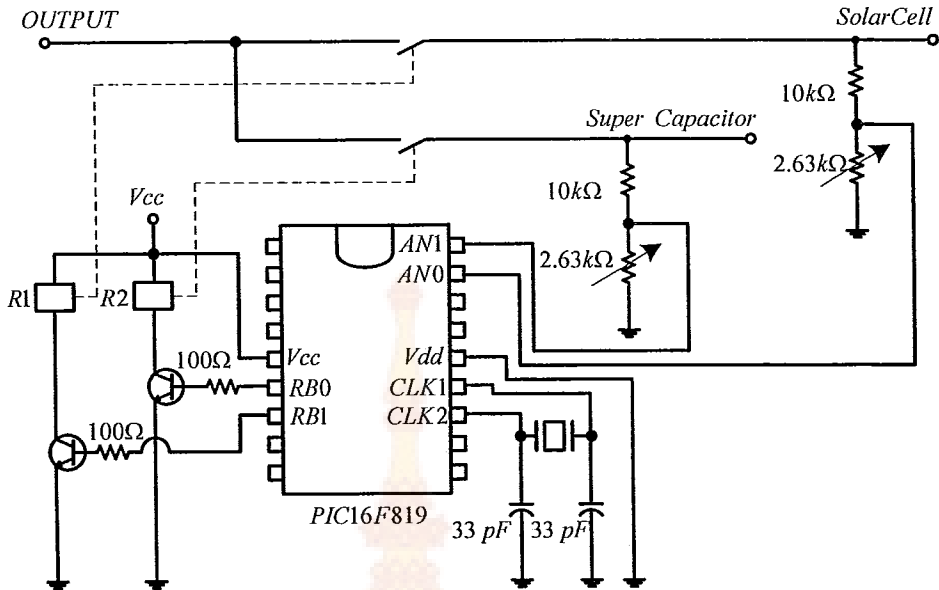
ในส่วนของวงจรควบคุมการประจุและสับเปลี่ยนแหล่งจ่ายไฟฟ้ามีหน้าที่ในการประจุไฟฟ้าให้กับ อัลตราคาป่าชิเตอร์ เมื่อมีพลังงานไฟฟ้ามากเพียงพอในขณะที่จ่ายพลังงานไฟฟ้าให้ โหลดของเซลล์แสงอาทิตย์และบังหน้าที่สับเปลี่ยนแหล่งจ่ายไฟฟ้าระหว่างเซลล์แสงอาทิตย์ กับอัลตราคาป่าชิเตอร์ให้ทำงานอย่างเหมาะสมและมีประสิทธิภาพมากที่สุดในการนำพลังงานไฟฟ้าจากเซลล์แสงอาทิตย์มาใช้งาน

ในการออกแบบวงจรควบคุมการประจุและสับเปลี่ยนแหล่งจ่ายไฟฟ้าประกอบไปด้วยส่วนที่สำคัญ คือ

- 1) วงจรการตรวจวัดแรงดันไฟฟ้า
- 2) ขั้นตอนวิธีในการควบคุมการประจุและสับเปลี่ยนแหล่งจ่ายไฟฟ้า

#### 3.5.1 วงจรการตรวจวัดแรงดันไฟฟ้า

ไอซี PIC16F819 สามารถทำการโปรแกรมให้ตรวจวัดแรงดันไฟฟ้าได้ สามารถนำค่าแรงดันดังกล่าววนนี้มาทำการโปรแกรม ตามเงื่อนไขที่กำหนดได้ ด้วยเหตุผลนี้จึงนำมาตรวจวัดแรงดันไฟฟ้าจากเซลล์แสงอาทิตย์และ อัลตราคาป่าชิเตอร์



ภาพที่ 3-12 วงจรการตรวจวัดแรงดันเซลล์แสงอาทิตย์และอัลตราค่าป่าชีเตอร์

### 3.5.2 ขั้นตอนวิธีในการควบคุมการประจุและสับเปลี่ยนแหล่งจ่ายไฟฟ้า

ไอซี PIC16F819 สามารถใช้โปรแกรมภาษา Assembly เกี่ยวกับคำสั่งให้ไอซีทำงาน  
เงื่อนไข โดยมีเงื่อนไขดังนี้

- 1) ตรวจวัดแรงดันเซลล์แสงอาทิตย์ก่อนเสมอ ถ้าเซลล์แสงอาทิตย์มีแรงดันมากกว่า 14 โวลต์ จะสั่งงานให้รีเลย์  $R_1$  ทำงานจ่ายไฟฟ้าจากเซลล์แสงอาทิตย์ให้วงจรบูสต์คอนเวอร์เตอร์จากนั้นจะตรวจเช็คแรงดันของ อัลตราค่าป่าชีเตอร์ ว่ามีค่าต่ำกว่า 10 โวลต์หรือไม่ถ้าต่ำกว่าจะสั่งให้รีเลย์  $R_2$  ทำงานเพื่อทำการประจุให้กับอัลตราค่าป่าชีเตอร์ จนกระหึ่งแรงดันมีค่าเท่ากับ 13.5 โวลต์รีเลย์  $R_2$  จะหยุดทำงานเพื่อยุดการประจุในขณะเดียวกันระหว่างที่ทำการประจุอยู่นั้นสามารถจ่ายไฟฟ้า ให้กับโหลดได้ในเวลาเดียวกัน
- 2) ตรวจวัดแรงดันอัลตราค่าป่าชีเตอร์ในกรณีที่แรงดันของเซลล์แสงอาทิตย์น้อยกว่า 14 โวลต์ ถ้าอัลตราค่าป่าชีเตอร์มีแรงดันมากกว่า 10 โวลต์ จะสั่งงานให้รีเลย์  $R_2$  ทำงานจ่ายไฟฟ้าจากอัลตราค่าป่าชีเตอร์ให้กับวงจรบูสต์คอนเวอร์เตอร์ไปจนกว่าแรงดันของเซลล์แสงอาทิตย์จะมีค่ามากกว่า 14 โวลต์จึงจะหยุดทำงานหรือจ่ายไฟฟ้าไปจนกระหึ่งแรงดันไฟฟ้าที่ อัลตราค่าป่าชีเตอร์ น้อยกว่า 10 โวลต์ จะสั่งให้รีเลย์  $R_2$  หยุดทำงานในขณะที่แรงดันจากเซลล์แสงอาทิตย์ยังน้อยกว่า 14 โวลต์

## บทที่ 4

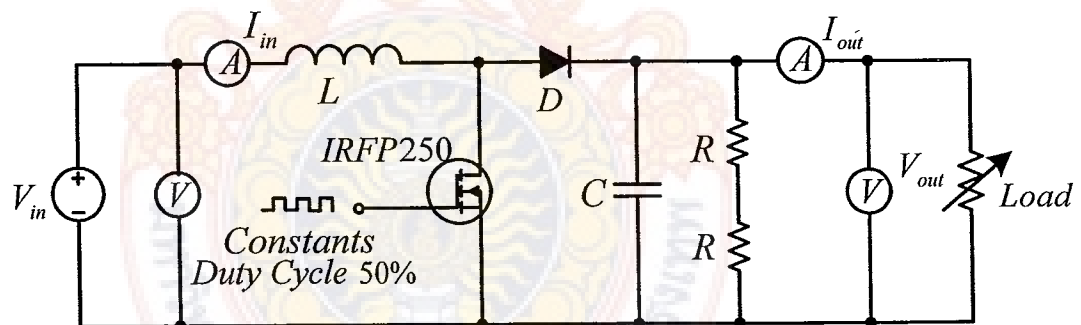
### ผลการวิจัยและข้อวิจารณ์

#### 4.1 การทดสอบวงจรกำลังและวงจรควบคุมของวงจรบูสต์อิเลคทรอนิกส์

การออกแบบในส่วนของวงจรกำลังและวงจรควบคุมของวงจรบูสต์อิเลคทรอนิกส์แล้ว ก็จะทำให้การทดสอบว่าวงจรกำลังและวงจรควบคุมสามารถทำงานไปตามที่ได้ออกแบบไว้หรือไม่รวมถึงอุปกรณ์ต่างๆ ที่เลือกไว้สามารถทำงานร่วมกับอุปกรณ์ตัวอื่นๆ ได้โดยไม่มีความผิดพลาด และเป็นไปตามหลักการทำงานของวงจรบูสต์อิเลคทรอนิกส์หรือไม่โดยการทดสอบแบ่งออกได้ ดังนี้

##### 4.1.1 การทดสอบแรงดันอาต์พุตเมื่อเปลี่ยนกระแสเอาต์พุตและแรงดันอินพุตแบบลูปเปิด

ทดสอบด้วยความถี่ 100 kHz ระดับแรงดันอินพุต 12 – 24 โวลต์ ปรับดิวตี้ไซเคิลคงที่ 50% เพื่อศึกษาการเปลี่ยนแปลงของกระแสเอาต์พุตกับแรงดันอินพุตว่ามีความสัมพันธ์กันอย่างไร และมีความเป็นไปได้มากน้อยเพียงใดในการจ่ายกระแสเอาต์พุตให้แก่โหลดเมื่อต้องใช้งานแบบลูปเปิด

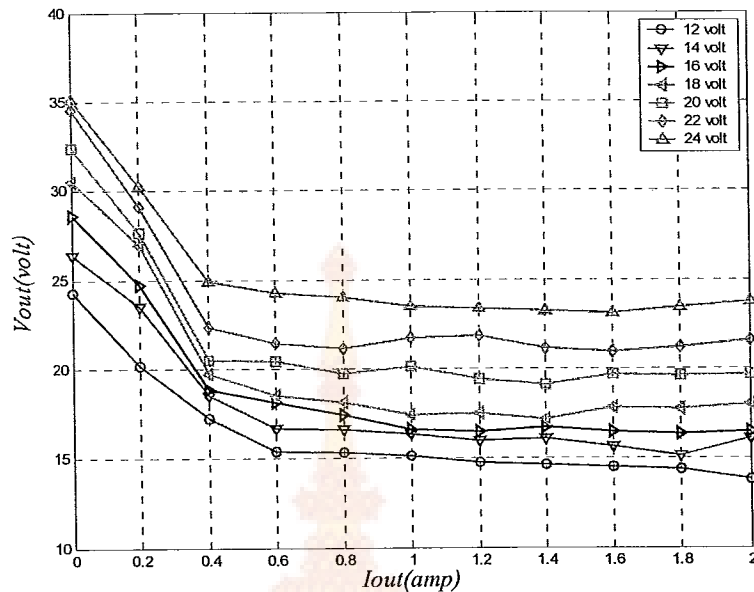


ภาพที่ 4-1 วงจรบูสต์อิเลคทรอนิกส์ในการทดสอบแบบลูปเปิด

ตารางที่ 4-1 ค่าแรงดันเอาต์พุตเมื่อเปลี่ยนกระแสเอาต์พุตและแรงดันอินพุตแบบลูปเปิด

แรงดันเอาต์พุต (V) ที่แรงดันอินพุตค่าต่างๆ								
กระแส เอาต์พุต (A)	แรงดัน อินพุต 12โวลต์	แรงดัน อินพุต 14โวลต์	แรงดัน อินพุต 16โวลต์	แรงดัน อินพุต 18โวลต์	แรงดัน อินพุต 20โวลต์	แรงดัน อินพุต 22โวลต์	แรงดัน อินพุต 24โวลต์	
0	24.24	26.4	28.59	30.49	32.35	34.57	35.12	
0.2	20.15	23.51	24.71	26.97	27.62	29.13	30.24	
0.4	17.24	18.54	18.83	19.73	20.48	22.32	24.93	
0.6	15.42	16.65	18.15	18.52	20.42	21.44	24.25	
0.8	15.35	16.6	17.43	18.12	19.74	21.15	24	
1	15.17	16.33	16.58	17.45	20.1	21.7	23.52	
1.2	14.73	15.95	16.5	17.53	19.42	21.87	23.39	
1.4	14.61	16.1	16.72	17.15	19.1	21.12	23.25	
1.6	14.53	15.65	16.46	17.83	19.64	20.96	23.14	
1.8	14.4	15.11	16.33	17.75	19.6	21.21	23.45	
2	13.82	16.1	16.5	18	19.65	21.57	23.75	

จากการทดสอบเมื่อขับพัลส์งานไฟฟ้าให้กับโหลดและดังภาพที่ 4-2 โดยวิธีลูปเปิดที่แรงดันอินพุตค่าต่างๆ นั้นจะเห็นได้ว่าแรงดันเอาต์พุตจะค่อยๆ ลดลงเมื่อโหลดมีการดึงกระแสมากขึ้น ทำให้ระดับแรงดันเอาต์พุตไม่คงที่ ดังนั้นจึงต้องทำให้แรงดันเอาต์พุตคงที่ โดยการควบคุมแรงดันด้วยวิธีลูปเปิด ในงานวิจัยนี้จะใช้ออชี UC3824 ในโหมดแรงดันเพื่อควบคุมแรงดันเอาต์พุตให้คงที่



ภาพที่ 4-2 กราฟความสัมพันธ์ระหว่างกระแสเอาต์พุตกับแรงดันเอาต์พุตเมื่อทดสอบแบบลูปเปิด เมื่อเปลี่ยนแรงดันอินพุต

#### 4.1.2 การทดสอบค่ากระแสอินพุตเมื่อเปลี่ยนกระแสเอาต์พุตและแรงดันอินพุตแบบลูปเปิด

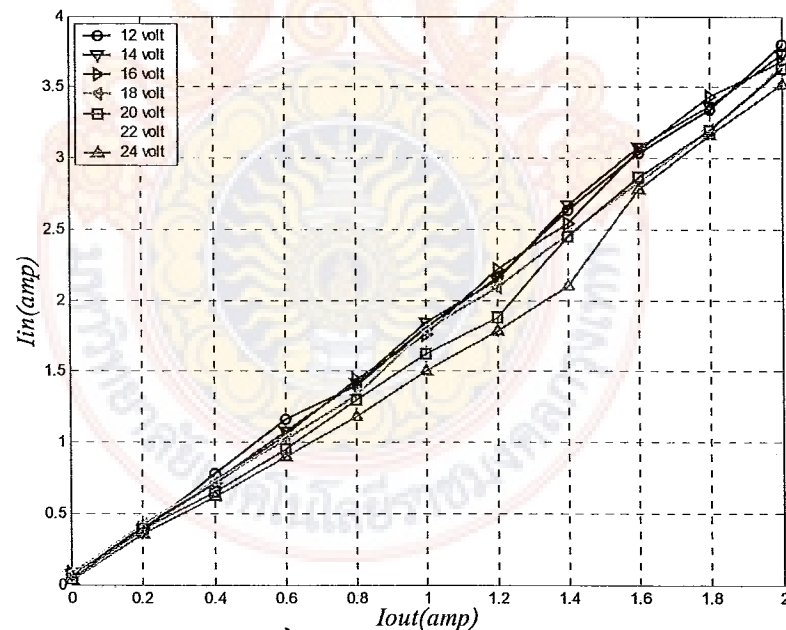
ทดสอบที่ความถี่ 100 kHz ระดับแรงดันอินพุต 12 – 24 โวลต์ ปรับดิวตี้ไซเคิลคงที่ที่ 50% เพื่อความเป็นไปได้ในค้านของกระแสอินพุตเมื่อต้องการจ่ายกระแสเอาต์พุตที่แรงดันอินพุตค่าต่างๆ

ตารางที่ 4-2 ค่ากระแสอินพุตเมื่อเปลี่ยนกระแสเอาต์พุตและแรงดันอินพุตแบบลูปเปิด

กระแสอินพุต (A) ที่แรงดันอินพุตค่าต่างๆ							
กระแส เอาต์พุต (A)	แรงดัน อินพุต						
	12 โวลต์	14 โวลต์	16 โวลต์	18 โวลต์	20 โวลต์	22 โวลต์	24 โวลต์
0	0.07	0.07	0.08	0.07	0.04	0.03	0.03
0.2	0.38	0.39	0.4	0.42	0.39	0.35	0.3
0.4	0.78	0.73	0.71	0.73	0.65	0.62	0.55

ตารางที่ 4-2 (ต่อ) ค่ากระแสอินพุตเมื่อเปลี่ยนกระแสเอาต์พุตและแรงดันอินพุตแบบลูปเปิด

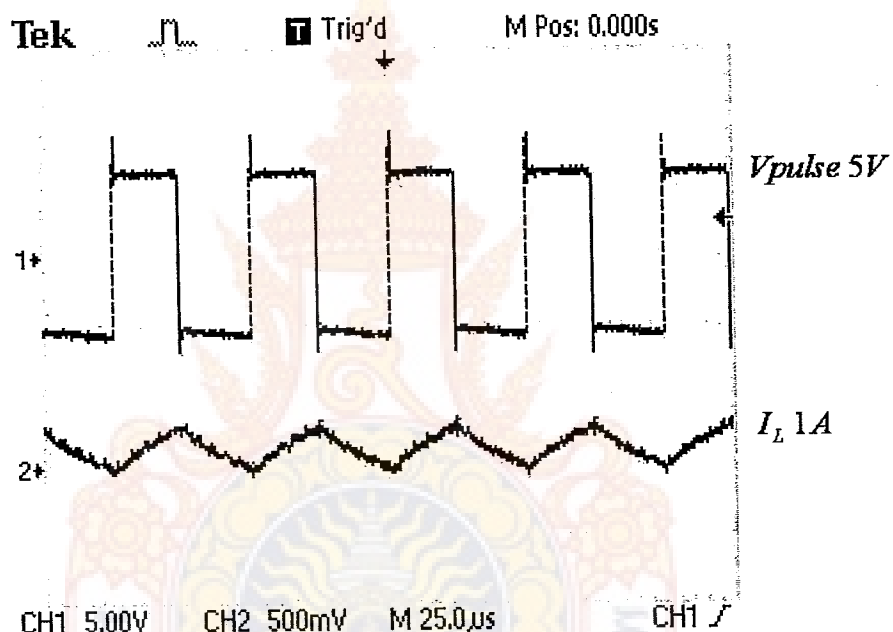
กระแสอินพุต (A) ที่แรงดันอินพุตค่าต่างๆ							
กระแส เอาต์พุต (A)	แรงดัน อินพุต						
12 โวลต์	14 โวลต์	16 โวลต์	18 โวลต์	20 โวลต์	22 โวลต์	24 โวลต์	
0.6	1.16	1.08	1.05	1.02	0.95	0.9	0.85
0.8	1.4	1.42	1.44	1.33	1.3	1.18	1.05
1	1.81	1.84	1.76	1.79	1.62	1.5	1.41
1.2	2.16	2.14	2.22	2.09	1.88	1.78	1.68
1.4	2.63	2.67	2.54	2.46	2.45	2.1	2.09
1.6	3.03	3.08	3.05	2.83	2.86	2.78	2.63
1.8	3.34	3.37	3.43	3.2	3.2	3.16	3
2	3.8	3.73	3.68	3.65	3.63	3.52	3.44



ภาพที่ 4-3 กราฟความสัมพันธ์ระหว่างกระแสอินพุตกับกระแสเอาต์พุต

จากการทดสอบความสัมพันธ์ระหว่างกระแสอินพุตกับกระแสเอาต์พุตที่แรงดันค่าต่างๆ ซึ่งเป็นการทดสอบแบบลูปเปิดทำให้ทราบว่าเมื่อโหลดมีค่าเพิ่มมากขึ้นก็จะส่งผลให้วงจรยังคงดับแรงดันไฟฟ้ากระแสตรงจะดึงกระแสอินพุตสูงขึ้นตามไปด้วย

4.1.3 การทดสอบเปรียบเทียบสัญญาณคำสั่งสวิตช์และสัญญาณกระแสที่ไฟล์ผ่านตัวเหนี่ยวนำแบบลูปเปิด  $V_s = V_o (1 - D)$

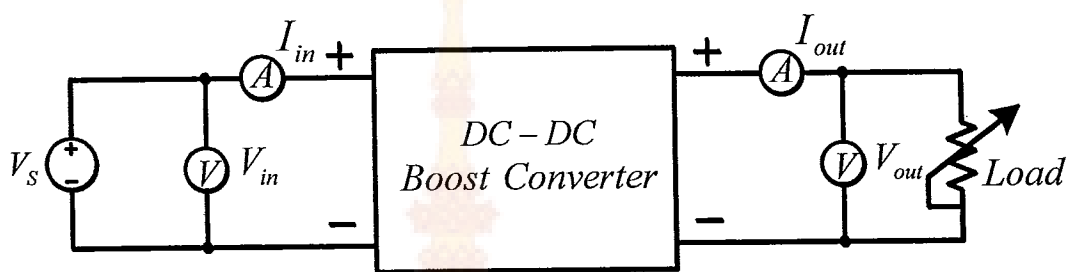


ภาพที่ 4-4 สัญญาณคำสั่งสวิตช์และสัญญาณกระแสที่ไฟล์ผ่านตัวเหนี่ยวนำแบบลูปเปิด

จากภาพที่ 4-4 แสดงให้เห็นถึงค่าสัญญาณจากชุดคำสั่งสวิตช์ ที่ได้จากไอซี UC3824 ผ่านไอซีขับเกต TLP250 เปรียบเทียบกับสัญญาณกระแสที่ไฟล์ผ่านตัวเหนี่ยวนำ จากการทดสอบโดยใช้ความถี่ที่ 100 kHz จะพบว่าสัญญาณจากชุดคำสั่งสวิตช์สามารถควบคุมสั่งงานให้มอเตอร์กำลังทำงานสวิตช์ได้และบังส่งผลให้กระแสที่ไฟล์ผ่านตัวเหนี่ยวนำมีการไฟล์ต่อเนื่อง

## 4.2 การทดสอบหาค่าประสิทธิภาพของวงจรบูสต์เตอร์เมื่อเปลี่ยนกระแสเอาต์พุตและแรงดันอินพุตแบบถูกปิด

### 4.2.1 การทดสอบหาค่าประสิทธิภาพของวงจรบูสต์เตอร์แบบถูกปิด



ภาพที่ 4-5 วงจรการวัดหาค่าประสิทธิภาพของแหล่งจ่ายไฟที่ค่ากระแสเอาต์พุตค่าต่างๆ

การทดสอบประสิทธิภาพที่ค่ากระแสเอาต์พุตค่าต่างๆ จะใช้ดีซีเพาเวอร์ซัพพลาย 0 – 30 โวลต์ 0 – 10 แอมป์ ต่อเข้าทางอินพุตเพื่อเป็นแรงดันอินพุตแทนแหล่งผลลัพธ์แสดงอาทิตย์ใช้จิจิตอลมัลติมิเตอร์วัดหาค่ากระแสและแรงดันทางอินพุตและเอาต์พุตตามภาพที่ 4-5 ใช้ตัวต้านทานปรับค่าเป็นโหลดทดสอบที่ความถี่ 100 kHz ทำการปรับค่ากระแสเอาต์พุตจากค่าที่ไม่มีโหลดจนถึงค่ากระแสพิกัดที่ระดับแรงดันอินพุต 12 – 24 โวลต์ สามารถได้ค่าตามตารางและสามารถคำนวณหาค่าประสิทธิภาพเมื่อทำการต่อโหลดได้ จากสมการ

$$\eta = \frac{P_{out}}{P_{in}} \times 100\%$$

กำลังไฟฟ้าด้านเอาต์พุตหาได้จาก

$$P_{out} = V_{out} \times I_{out}$$

กำลังไฟฟ้าด้านอินพุตหาได้จาก

$$P_{in} = V_{in} \times I_{in}$$

ตารางที่ 4-3 ค่าประสิทธิภาพที่กระแสเอาต์พุตค่าต่างๆ ที่แรงดันอินพุต 12 โวลต์

กระแส เอาต์พุต (A)	แรงดัน เอาต์พุต (V)	กำลังไฟฟ้า เอาต์พุต (W)	กระแส อินพุต (A)	แรงดัน อินพุต (V)	กำลังไฟฟ้า อินพุต (W)	ประสิทธิภาพ (%)
0	24.54	0	0.12	12	1.44	-
0.2	24.53	4.9	0.56	12	6.72	72.91
0.4	24.53	9.81	0.94	12	11.28	86.96
0.6	24.52	14.71	1.36	12	16.32	90.13
0.8	24.5	19.6	1.65	12	19.8	98.98
1	24.45	24.45	2.1	12	25.2	97.02
1.2	22.51	27.01	2.37	12	28.44	94.97
1.4	21.25	29.75	2.69	12	32.28	92.16
1.6	20.19	32.3	2.88	12	34.56	93.46
1.8	18.79	33.82	3.31	12	39.72	85.14
2	18.34	36.68	3.43	12	41.16	89.11

ตารางที่ 4-4 ค่าประสิทธิภาพที่กระแสเอาต์พุตค่าต่างๆ ที่แรงดันอินพุต 14 โวลต์

กระแส เอาต์พุต (A)	แรงดัน เอาต์พุต (V)	กำลังไฟฟ้า เอาต์พุต (W)	กระแส อินพุต (A)	แรงดัน อินพุต (V)	กำลังไฟฟ้า อินพุต (W)	ประสิทธิภาพ (%)
0	24.5	0	0.14	14	1.96	-
0.2	24.49	4.89	0.5	14	7	48.8
0.4	24.49	9.79	0.88	14	12.32	79.16
0.6	24.49	14.69	1.19	14	16.66	88.17
0.8	24.48	19.59	1.48	14	20.72	94.54

ตารางที่ 4-4 (ต่อ) ค่าประสิทธิภาพที่กระแสเอาต์พุตค่าต่างๆ ที่แรงดันอินพุต 14 โวลต์

กระแส เอาต์พุต (A)	แรงดัน เอาต์พุต (V)	กำลังไฟฟ้า เอาต์พุต (W)	กระแส อินพุต (A)	แรงดัน อินพุต (V)	กำลังไฟฟ้า อินพุต (W)	ประสิทธิภาพ (%)
1	24.45	24.45	1.8	14	25.20	97.00
1.2	24.32	29.18	2.1	14	29.40	99.20
1.4	24.03	33.64	2.45	14	34.30	98.07
1.6	23.3	37.28	2.8	14	39.20	95.10
1.8	22.38	40.28	3.2	14	44.80	89.91
2	21.83	43.66	3.65	14	51.10	85.44

ตารางที่ 4-5 ค่าประสิทธิภาพที่กระแสเอาต์พุตค่าต่างๆ ที่แรงดันอินพุต 16 โวลต์

กระแส เอาต์พุต (A)	แรงดัน เอาต์พุต (V)	กำลังไฟฟ้า เอาต์พุต (W)	กระแส อินพุต (A)	แรงดัน อินพุต (V)	กำลังไฟฟ้า อินพุต (W)	ประสิทธิภาพ (%)
0	24.48	0	0.01	16	0.16	-
0.2	24.48	4.89	0.47	16	7.52	65.2
0.4	24.48	9.79	0.83	16	13.28	73.71
0.6	24.48	14.68	1.14	16	18.24	80.48
0.8	24.48	19.58	1.44	16	23.04	84.98
1	24.41	24.41	1.85	16	29.6	82.46
1.2	24.34	29.2	2.15	16	34.4	84.88
1.4	24.28	33.99	2.51	16	40.16	84.63
1.6	24.24	38.78	2.87	16	45.92	84.45
1.8	23.6	42.48	3.06	16	48.96	86.76
2	22.56	45.12	3.21	16	51.36	87.85

ตารางที่ 4-6 ค่าประสิทธิภาพที่กระแสเอาต์พุตค่าต่างๆ ที่แรงดันอินพุต 18 โวลต์

กระแส เอาต์พุต (A)	แรงดัน เอาต์พุต (V)	กำลังไฟฟ้า เอาต์พุต (W)	กระแส อินพุต (A)	แรงดัน อินพุต (V)	กำลังไฟฟ้า อินพุต (W)	ประสิทธิภาพ (%)
0	24.47	0	0.01	18	0.18	-
0.2	24.47	4.89	0.44	18	7.92	61.74
0.4	24.47	9.78	0.73	18	13.14	74.42
0.6	24.47	14.68	1.02	18	18.36	79.95
0.8	24.47	19.57	1.31	18	23.58	82.99
1	24.43	24.43	1.62	18	29.16	83.77
1.2	24.42	29.3	1.92	18	34.56	84.79
1.4	24.35	34.09	2.22	18	39.96	85.31
1.6	24.17	38.67	2.54	18	45.72	84.58
1.8	23.67	42.61	2.87	18	51.66	82.48
2	22.9	45.8	3.2	18	57.61	79.51

ตารางที่ 4-7 ค่าประสิทธิภาพที่กระแสเอาต์พุตค่าต่างๆ ที่แรงดันอินพุต 20 โวลต์

กระแส เอาต์พุต (A)	แรงดัน เอาต์พุต (V)	กำลังไฟฟ้า เอาต์พุต (W)	กระแส อินพุต (A)	แรงดัน อินพุต (V)	กำลังไฟฟ้า อินพุต (W)	ประสิทธิภาพ (%)
0	24.48	0	0.01	20	0.2	-
0.2	24.48	4.89	0.42	20	8.4	58.21
0.4	24.48	9.79	0.68	20	13.6	71.98
0.6	24.48	14.68	0.93	20	18.6	78.92
0.8	24.48	19.58	1.19	20	23.8	82.26

ตารางที่ 4-7 (ต่อ) ค่าประสิทธิภาพที่กระแสเอาต์พุตค่าต่างๆ ที่แรงดันอินพุต 20 โวลต์

กระแส เอาต์พุต (A)	แรงดัน เอาต์พุต (V)	กำลังไฟฟ้า เอาต์พุต (W)	กระแส อินพุต (A)	แรงดัน อินพุต (V)	กำลังไฟฟ้า อินพุต (W)	ประสิทธิภาพ (%)
1	24.47	24.47	1.46	20	29.2	83.81
1.2	24.4	29.28	1.73	20	34.6	84.62
1.4	24.24	33.93	2.03	20	40.6	83.57
1.6	23.85	38.16	2.26	20	45.2	84.42
1.8	23.8	42.84	2.63	20	52.6	81.44
2	22.49	44.98	3.07	20	61.41	73.24

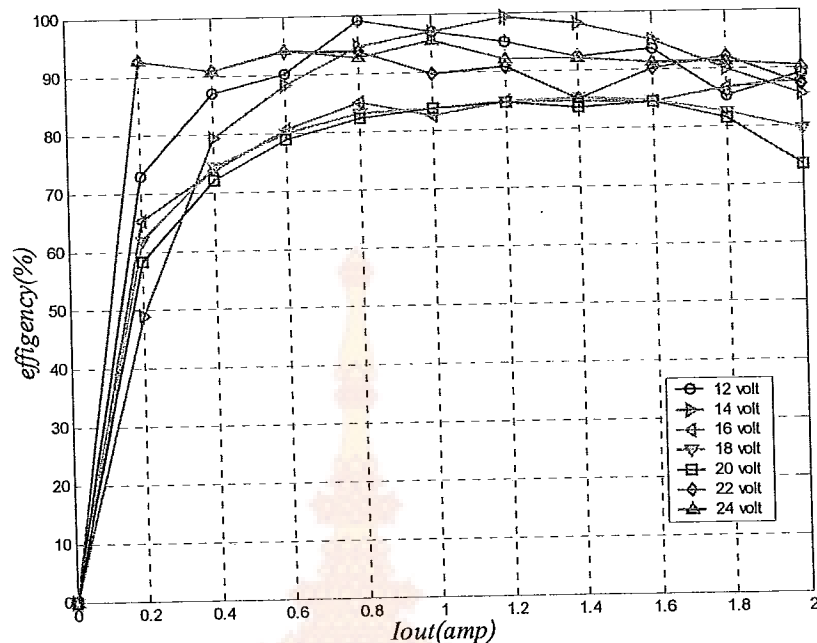
ตารางที่ 4-8 ค่าประสิทธิภาพที่กระแสเอาต์พุตค่าต่างๆ ที่แรงดันอินพุต 22 โวลต์

กระแส เอาต์พุต (A)	แรงดัน เอาต์พุต (V)	กำลังไฟฟ้า เอาต์พุต (W)	กระแส อินพุต (A)	แรงดัน อินพุต (V)	กำลังไฟฟ้า อินพุต (W)	ประสิทธิภาพ (%)
0	24.48	0	0.01	22	0.22	-
0.2	24.48	4.89	0.24	22	5.28	92.61
0.4	24.48	9.79	0.49	22	10.78	90.81
0.6	24.48	14.68	0.71	22	15.62	93.98
0.8	24.48	19.58	0.95	22	20.9	93.68
1	24.48	24.48	1.24	22	27.28	89.73
1.2	24.48	29.37	1.47	22	32.34	90.81
1.4	24.48	34.27	1.83	22	40.26	84.91
1.6	24.38	39.01	1.97	22	43.34	90.02
1.8	24.07	43.32	2.17	22	47.08	92.01
2	24.04	48.08	2.51	22	55.22	87.07

ตารางที่ 4-9 ค่าประสิทธิภาพที่กระแสเอาต์พุตค่าต่างๆ ที่แรงดันอินพุต 24 โวลต์

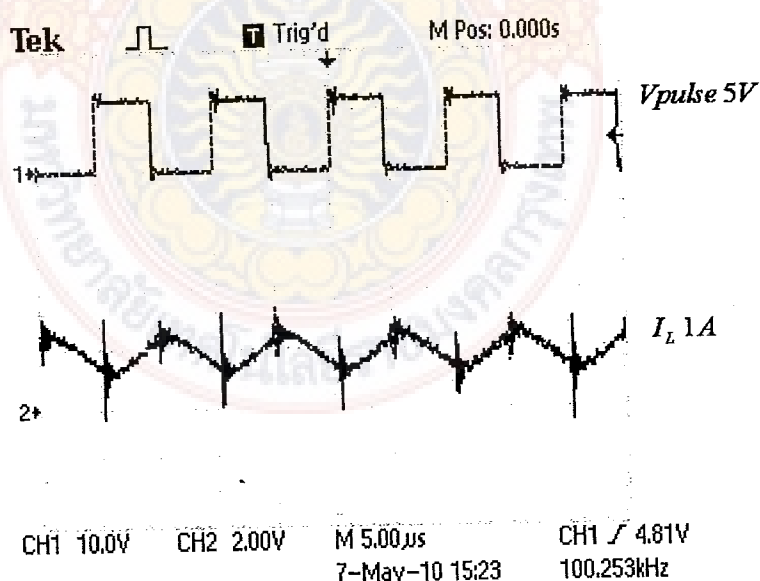
กระแส เอาต์พุต (A)	แรงดัน เอาต์พุต (V)	กำลังไฟฟ้า เอาต์พุต (W)	กระแส อินพุต (A)	แรงดัน อินพุต (V)	กำลังไฟฟ้า อินพุต (W)	ประสิทธิภาพ (%)
0	24.48	0	0.01	24	0.24	-
0.2	24.48	4.89	0.22	24	5.28	92.61
0.4	24.48	9.79	0.45	24	10.8	90.64
0.6	24.48	14.68	0.65	24	15.6	94.1
0.8	24.48	19.58	0.88	24	21.12	92.71
1	24.48	24.48	1.07	24	25.68	95.32
1.2	24.48	29.37	1.33	24	31.92	92.11
1.4	24.48	34.27	1.55	24	37.2	92.12
1.6	24.47	39.15	1.79	24	42.96	91.13
1.8	24.2	43.56	1.99	24	47.76	91.2
2	23.95	47.9	2.21	24	53.04	90.31

จากการทดสอบหาค่าประสิทธิภาพที่กระแสเอาต์พุตค่าต่างๆ จะได้ประสิทธิภาพในช่วงกระแสเอาต์พุต 0.6 – 1.6 แอมป์ มีค่าสูงที่สุด และเมื่อเพิ่มโหลดมากขึ้นประสิทธิภาพก็จะเพิ่มขึ้น และแรงดันอินพุตที่มีระดับแรงดันสูง ค่าประสิทธิภาพจะลดลงและพิกัดจะมีประสิทธิภาพสูงกว่า ระดับแรงดันอินพุตที่มีค่าต่ำกว่า เช่น ที่แรงดัน 17 โวลต์ ค่าประสิทธิภาพจะลดลงพิกัดมีค่า 78.78% ในขณะที่แรงดันอินพุต 12 โวลต์ ค่าประสิทธิภาพจะลดลงพิกัดมีค่า 63.73%



ภาพที่ 4-6 กราฟความสัมพันธ์ระหว่างประสิทธิภาพกับกระแสเอาต์พุตที่แรงดันอินพุต 12 – 24 โวลต์

4.2.2 การทดสอบเปรียบเทียบสัญญาณคำสั่งสวิตช์และสัญญาณกระแสที่โหลดผ่านตัวเหนี่ยววนแบบลูปปิด

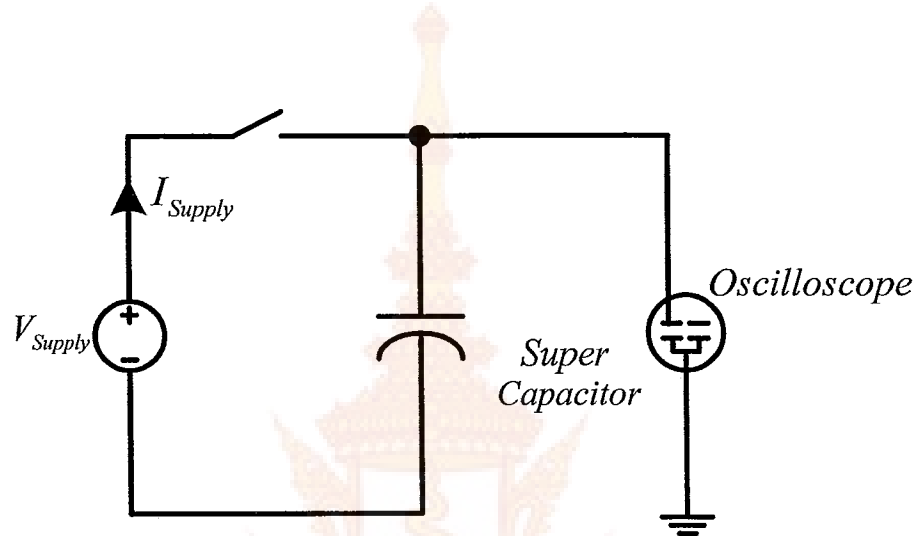


ภาพที่ 4-7 สัญญาณคำสั่งสวิตช์และสัญญาณกระแสที่โหลดผ่านตัวเหนี่ยววนแบบลูปปิด

### 4.3 การทดสอบการเก็บและคายพลังงานไฟฟ้าของ อัลตราคาป่าซิเตอร์

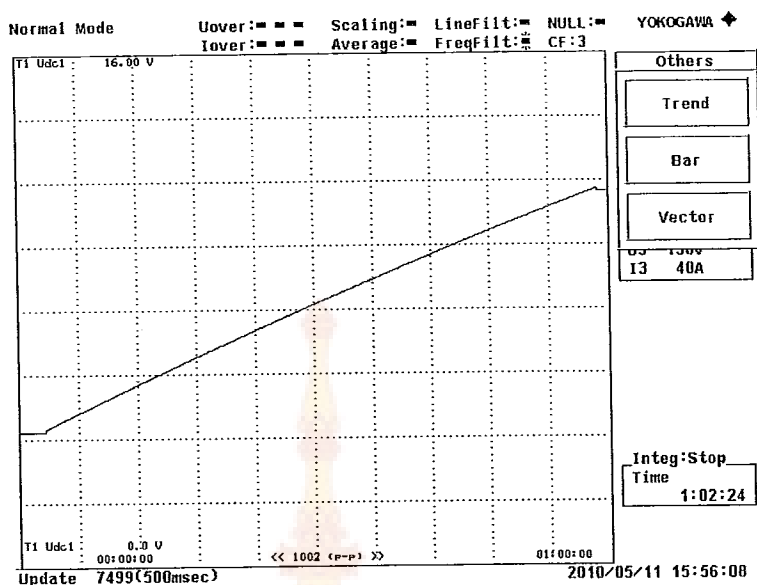
เป็นการศึกษาลักษณะการเก็บและคายพลังงานของอัลตราคาป่าซิเตอร์ ว่าค่าแรงดันและกระแสต่างๆ มีผลต่อการเก็บและคายพลังงานของ อัลตราคาป่าซิเตอร์ เป็นอย่างไร

#### 4.3.1 การทดสอบการเก็บพลังงานไฟฟ้าของ อัลตราคาป่าซิเตอร์ ที่ค่าแรงดันและกระแสต่างๆ

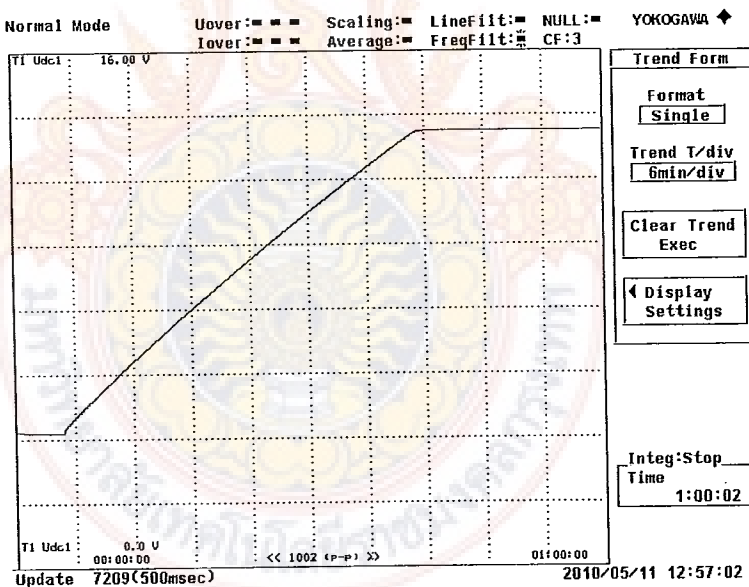


ภาพที่ 4-8 วงจรทดสอบการเก็บพลังงานไฟฟ้าของอัลตราคาป่าซิเตอร์

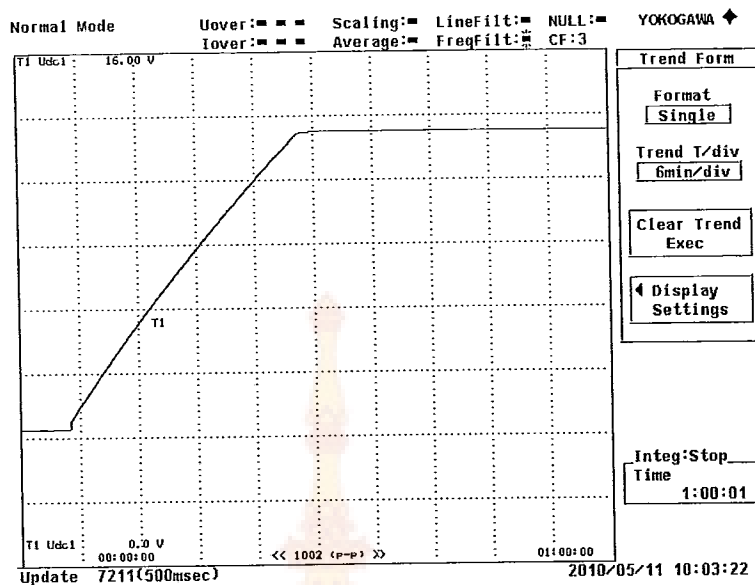
การทดสอบการเก็บพลังงานไฟฟ้าของชุบปอร์ค่าป่าซิเตอร์ที่ค่ากระแสต่างๆ และแรงดันคงที่ที่ 14 โวลต์ จะใช้วงจรการทดสอบดังภาพที่ 4-8 โดยใช้แหล่งจ่ายไฟตรง 0 – 30 โวลต์ 0 – 20 แอมป์ โดยจำกัดกระแสของแหล่งจ่ายไฟตรง ไว้ที่ 1 แอมป์ 2 แอมป์ และ 3 แอมป์ แล้วใช้อสซิลโลสโคปวัดสัญญาณแรงดันของ อัลตราคาป่าซิเตอร์



ภาพที่ 4-9 แรงดันไฟฟ้าอัลตราค่าปั๊ตเตอร์ในการเก็บพลังงานไฟฟ้าที่แรงดัน 14 โวลต์ กระแส 1 แอมป์



ภาพที่ 4-10 แรงดันไฟฟ้าอัลตราค่าปั๊ตเตอร์ในการเก็บพลังงานไฟฟ้าที่แรงดัน 14 โวลต์ กระแส 2 แอมป์

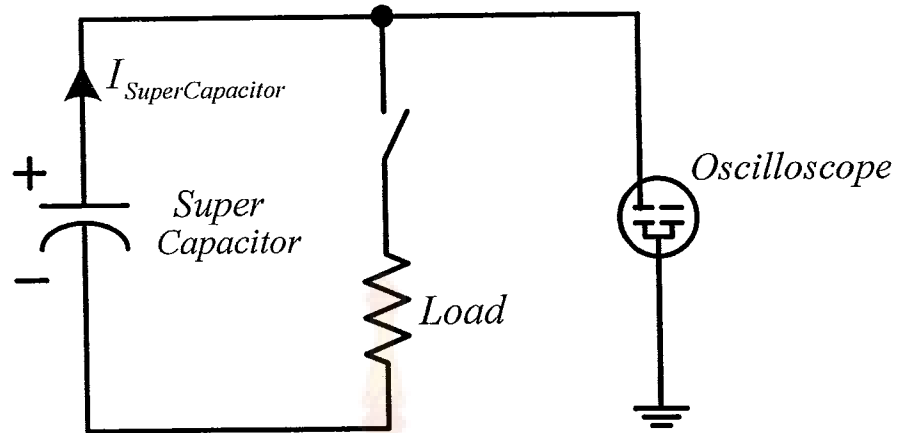


ภาพที่ 4-11 แรงดันไฟฟ้าอัลตราค่าปานิชิเตอร์ในการเก็บพลังงานไฟฟ้าที่แรงดัน 14 โวลต์ กระแส 3 แอมป์

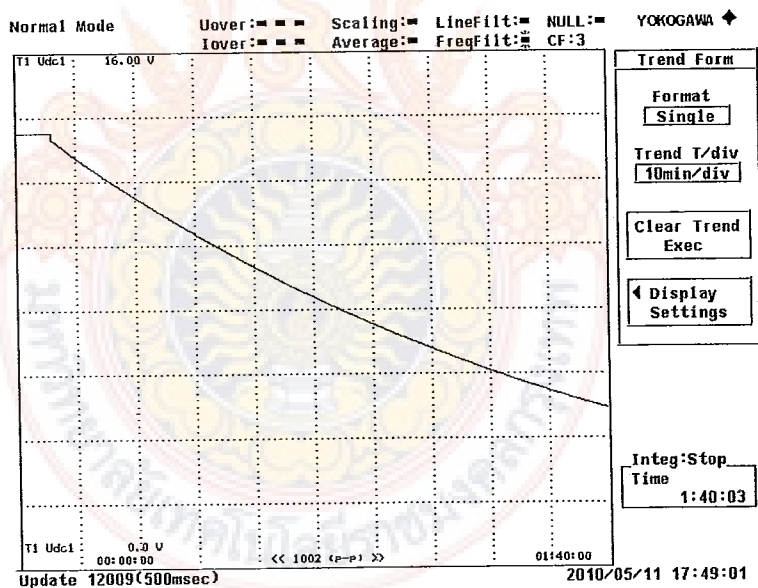
จากการทดสอบการเก็บพลังงานไฟฟ้าของ Ultracapacitor ร์ที่ค่าแรงดัน 14 โวลต์และค่ากระแสไฟฟ้าต่างๆ จะเห็นได้ว่าเมื่อใช้ค่ากระแสสูงในการเก็บพลังงานไฟฟ้าจะใช้เวลาในการเก็บพลังงานน้อยลงแต่เมื่อใช้กระแสไฟฟ้าในการเก็บพลังงานมีค่าต่ำลงมาจะใช้เวลาในการเก็บพลังงานน้อยลง

#### 4.3.2 ทดสอบการคายพลังงานไฟฟ้าของ Ultracapacitor

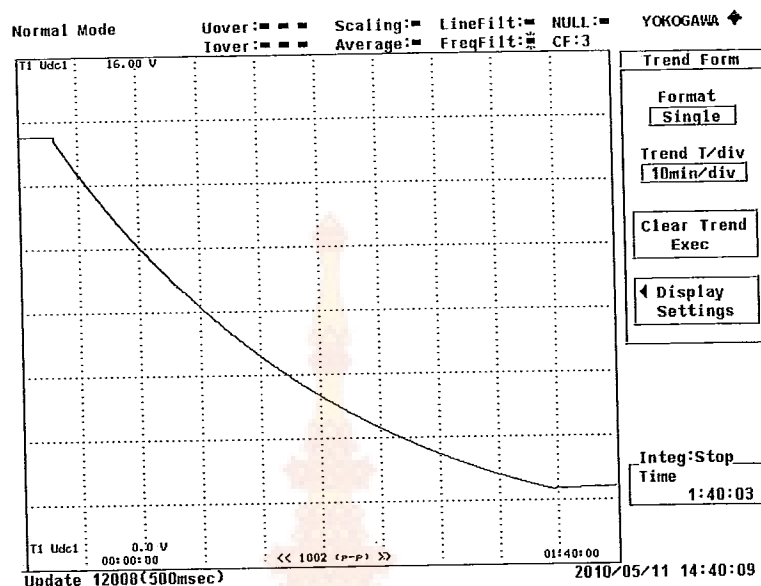
การทดสอบการคายพลังงานไฟฟ้าของ Ultracapacitor ที่ค่ากระแสต่างๆและแรงดันคงที่ที่ 14 โวลต์ จะใช้ วงจรการทดสอบดังภาพที่ 4-11 โดยใช้แหล่งจ่ายไฟตรง 0 – 30 โวลต์ 0 – 20 แอมป์ โดยจำกัดกระแสของแหล่งจ่ายไฟตรงไว้ที่ 1 แอมป์ 2 แอมป์ และ 3 แอมป์ แล้วใช้ออสซิลโลสโคปวัดสัญญาณแรงดันของ อัลตราค่าปานิชิเตอร์



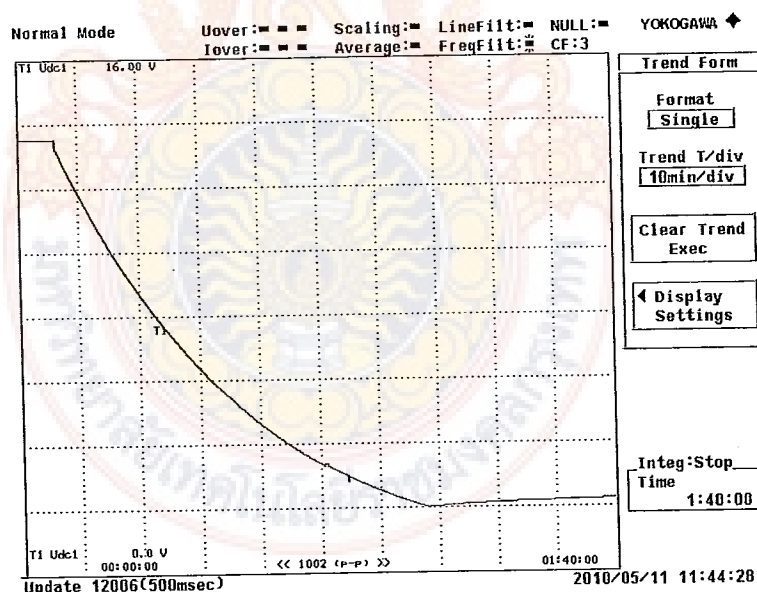
ภาพที่ 4-12 วงจรทดสอบการคายประจุของอัลตราค่าปานิชเตอร์



ภาพที่ 4-13 สัญญาณแรงดันไฟฟ้าอัลตราค่าปานิชเตอร์ในการคายพลังงานไฟฟ้าที่แรงดัน 14 โวลต์ กระแส 1 แอมป์



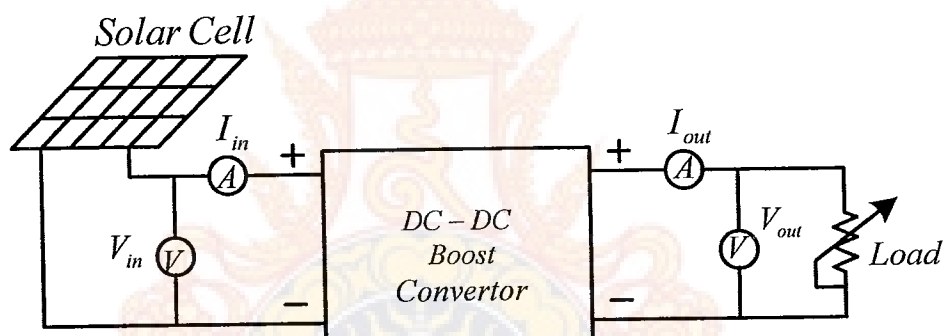
ภาพที่ 4-14 สัญญาณแรงดันไฟฟ้าอัลตราคาปัชชิเตอร์ในการพยายามไฟฟ้าที่แรงดัน 14 โวลต์ กระแส 2 แอมป์



ภาพที่ 4-15 สัญญาณแรงดันไฟฟ้าอัลตราคาปัชชิเตอร์ในการพยายามไฟฟ้าที่แรงดัน 14 โวลต์ กระแส 3 แอมป์

จากการทดสอบการคายพลังงานไฟฟ้าของ อัลตราคาป่าซิเตอร์ ที่ค่าแรงดัน 14 โวลต์และค่ากระแสไฟฟ้าต่างๆ จะเห็นได้ว่าเมื่อใช้ค่ากระแสสูงในการคายพลังงานไฟฟ้าจะใช้เวลาในการคายพลังงานน้อยแต่เมื่อมีโหลดน้อยหรือกระแสที่ต่ำๆก็จะทำให้เวลาการคายพลังงานมากขึ้นทำให้อัลตราคาป่าซิเตอร์ นี้มีคุณสมบัติเหมือนกับแบบเตอร์รี่ ดังภาพที่ 4-15 เมื่อจ่ายโหลดที่ทำให้มีกระแสไฟฟ้าที่ 3 แอมป์ จะทำให้เกิดการคายพลังงานของชุดปอร์คาป่าซิเตอร์จนถึงแรงดันระดับคงที่ที่ 2.0 โวลต์ใช้เวลา 1 ชั่วโมง แต่ถ้าจ่ายกระแสโหลดที่ 1 แอมป์จะใช้เวลาถึง 1.50 ชั่วโมงในงานวิจัยจ่ายโหลดที่ 2 แอมป์และแรงดันใช้งานอยู่ที่ 10 – 13.5 โวลต์ ดังนั้นจึงสามารถจ่ายพลังงานไฟฟ้าได้เป็นเวลาประมาณ 30 นาที

#### 4.4 ทดสอบหาประสิทธิภาพของเซลล์แสงอาทิตย์ต่อใช้งานร่วมกับวงจรบูสต์คอนเวอร์เตอร์จ่ายโหลด

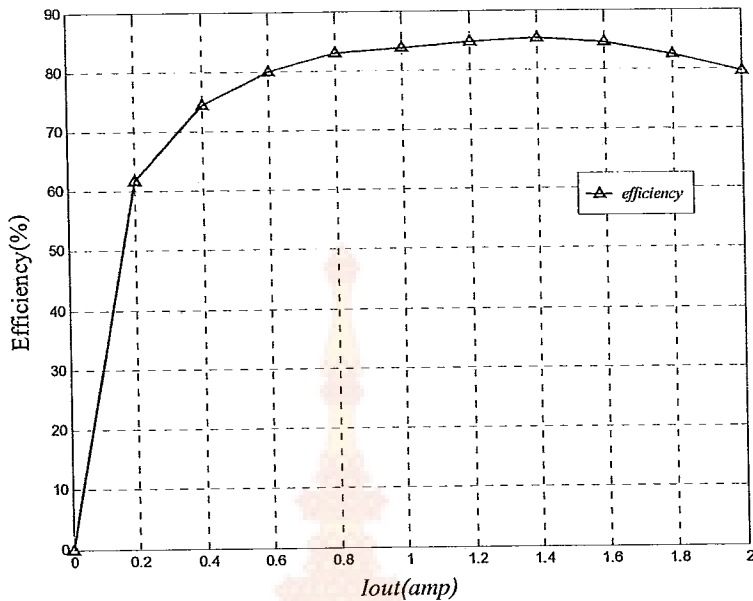


ภาพที่ 4-16 วงจรต่อใช้งานเซลล์แสงอาทิตย์ต่อใช้งานร่วมกับวงจรบูสต์คอนเวอร์เตอร์จ่ายโหลด

การหาค่าประสิทธิภาพเมื่อต่อใช้งานกับเซลล์แสงอาทิตย์ทำได้โดยใช้ดิจิตอลมัลติมิเตอร์ วัดค่ากระแสและแรงดันทางด้านอินพุตและเอาต์พุตดังภาพที่ 4-16 ใช้ตัวด้านบนปรับค่าเป็นโหลด ทำการปรับค่ากระแสเอาต์พุตจากไม่มีโหลดจนถึงค่าระดับกระแสสูงสุดที่บูสต์คอนเวอร์เตอร์ สามารถรักษาระดับแรงดันเอาต์พุตไว้ได้และสามารถคำนวนหาค่าประสิทธิภาพได้

ตารางที่ 4-10 ค่าประสิทธิภาพที่กระแสเอาต์พุตค่าต่างๆ เมื่อต่อกับเซลล์แสงอาทิตย์ 70 วัตต์

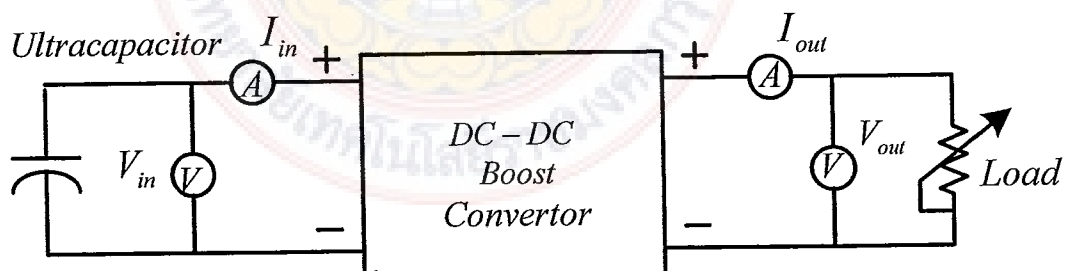
กระแส เอาต์พุต (A)	แรงดัน เอาต์พุต (V)	กำลังไฟฟ้า เอาต์พุต (W)	กระแส อินพุต (A)	แรงดัน อินพุต (V)	กำลังไฟฟ้า อินพุต (W)	ประสิทธิภาพ (%)
0	24.47	0	0.01	18	0.18	-
0.2	24.47	4.89	0.44	18	7.92	61.74
0.4	24.47	9.78	0.73	18	13.14	74.42
0.6	24.47	14.68	1.02	18	18.36	79.95
0.8	24.47	19.57	1.31	18	23.58	82.99
1	24.43	24.43	1.62	18	29.16	83.77
1.2	24.42	29.3	1.92	18	34.56	84.79
1.4	24.35	34.09	2.22	18	39.96	85.31
1.6	24.17	38.67	2.54	18	45.72	84.58
1.8	23.67	42.61	2.87	18	51.66	82.48
2	22.9	45.8	3.2	18	57.61	79.51



ภาพที่ 4-17 กราฟประสิทธิภาพที่กระแสเอาต์พุตต่างๆ เมื่อต่อใช้งานกับเซลล์แสงอาทิตย์ขนาด 70 วัตต์

จากการทดสอบจะเห็นได้ว่า เมื่อใช้งานต่อเซลล์แสงอาทิตย์ผ่านวงจรบูสต์แคร์เตอร์จ่ายไฟลดที่ค่าของกระแสต่างๆ จะได้ค่าประสิทธิภาพที่สูงในช่วงของกระแส 0.6 – 1.6 แอมป์ นั่นหมายถึงเซลล์แสงอาทิตย์สามารถใช้งานจ่ายไฟลดโดยผ่านวงจรบูสต์แคร์เตอร์ได้ และในช่วงค่ากระแสสูงๆ จะมีประสิทธิภาพในการจ่ายพลังงานไฟฟ้าที่ดีมาก รวมถึงแรงดันของเซลล์แสงอาทิตย์ยังคงที่อีกด้วย

#### 4.5 ทดสอบหาประสิทธิภาพของ อัลตราคากาวาชิเตอร์ ต่อร่วมกับวงจรบูสต์แคร์เตอร์จ่ายไฟลด

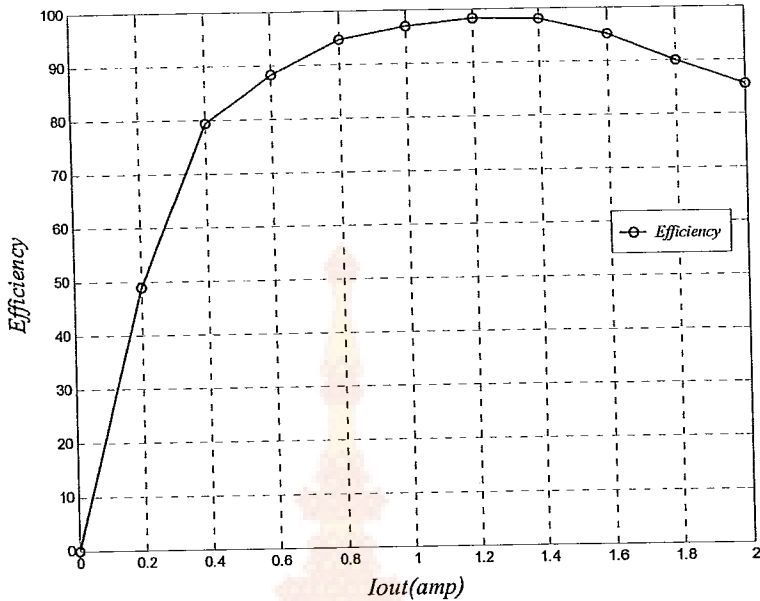


ภาพที่ 4-18 วงจรต่อใช้งานเซลล์แสงอาทิตย์ต่อใช้งานร่วมกับวงจรบูสต์แคร์เตอร์

การหาค่าประสิทธิภาพเมื่อต่อใช้งานกับ อัลตราคาป่าซิเตอร์ ทำได้โดยใช้คิดจิตอลมัลติ มิเตอร์วัดค่ากระแสและแรงดันทางด้านอินพุตและเอาต์พุตดังภาพที่ 4-26 ใช้ตัวต้านทานปรับค่าเป็น โหลด ทำการปรับค่ากระแสเอาต์พุตจากไม่มีโหลดจนถึงค่าระดับกระแสสูงสุดที่บุสคอนเวอเตอร์ สามารถรักษาระดับแรงดันเอาต์พุตไว้ได้และสามารถคำนวณหาค่าประสิทธิภาพได้

ตารางที่ 4-11 ค่าประสิทธิภาพที่กระแสเอาต์พุตค่าต่างๆ เมื่อต่อกับอัลตราคาป่าซิเตอร์

กระแส เอาต์พุต (A)	แรงดัน เอาต์พุต (V)	กำลังไฟฟ้า เอาต์พุต (W)	กระแส อินพุต (A)	แรงดัน อินพุต (V)	กำลังไฟฟ้า อินพุต (W)	ประสิทธิภาพ (%)
0	24.5	0	0.14	13.52	1.96	-
0.2	24.49	4.89	0.5	13.51	7	48.8
0.4	24.49	9.79	0.88	13.37	12.32	79.16
0.6	24.49	14.69	1.19	13.27	16.66	88.17
0.8	24.48	19.59	1.48	13.11	20.72	94.54
1	24.45	24.45	1.8	13.06	25.20	97.00
1.2	24.32	29.18	2.1	12.67	29.40	99.20
1.4	24.03	33.64	2.45	12.61	34.30	98.07
1.6	23.3	37.28	2.8	12.59	39.20	95.10
1.8	22.38	40.28	3.2	12.52	44.80	89.91
2	21.83	43.66	3.65	12.49	51.10	85.44

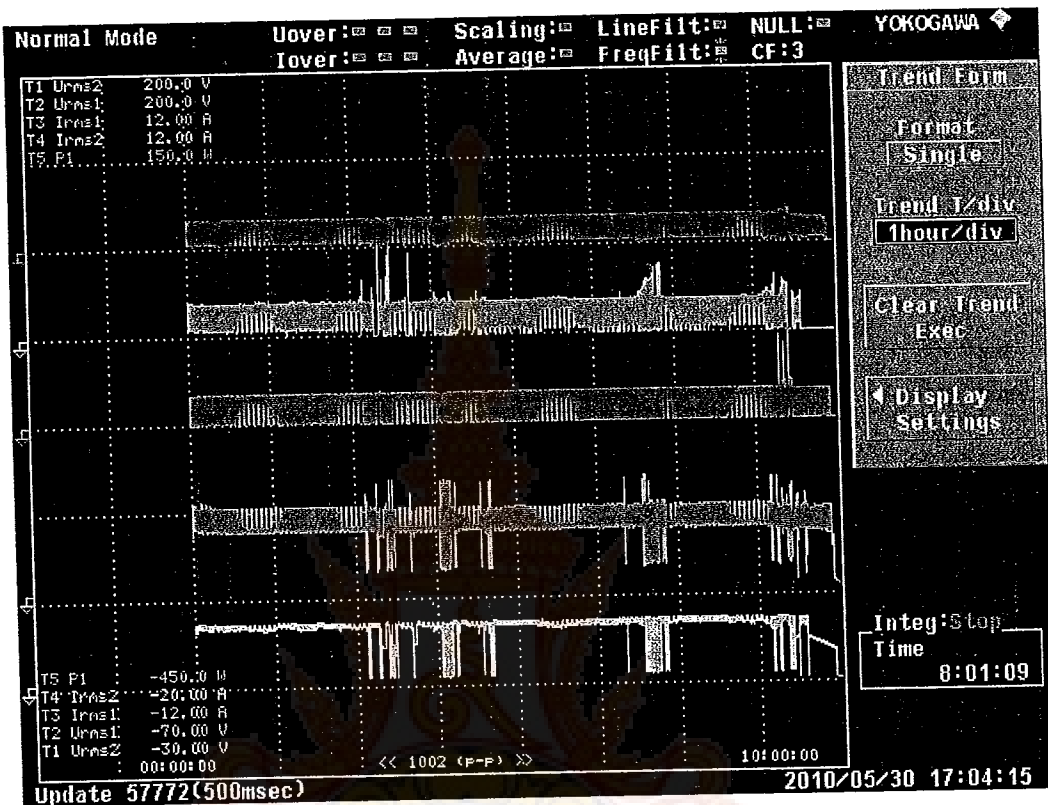


ภาพที่ 4-19 กราฟประสิทธิภาพที่กระแสเอาต์พุตต่างๆ เมื่อต่อใช้งานกับอัลตราค่าป่าชีเตอร์

จากการทดสอบจะพบว่าเมื่อต่อใช้งานอัลตราค่าป่าชีเตอร์ ผ่านวงจรบูสต์คอนเวอร์เตอร์จ่ายโหลดที่ค่ากระแสสูงๆ ประสิทธิภาพในระบบจะมีค่าสูงในช่วง 0.6 – 1.8 แอมป์ นั่นคือ อัลตราค่าป่าชีเตอร์ สามารถจ่ายพลังงานไฟฟ้าให้กับโหลดได้ โดยมีค่าประสิทธิภาพสูง ที่ค่ากระแสสูงๆ ประสิทธิภาพของระบบจะดีกว่า การใช้งานต่อเซลล์แสงอาทิตย์ผ่านวงจรบูสต์คอนเวอร์เตอร์จ่ายโหลด แต่แรงดันที่ อัลตราค่าป่าชีเตอร์ จะลดลงอย่างรวดเร็วเมื่อย้ายโหลดที่ค่ากระแสสูงๆ

## 4.6 การทดสอบการทำงานของจรวจประจุและสับเปลี่ยนแหล่งจ่ายไฟฟ้า

### 4.6.1 การทดสอบการทำงานสับเปลี่ยนแหล่งจ่ายไฟฟ้า



ภาพที่ 4-20 กราฟบันทึกผลการทำงานของจรวจประจุและสับเปลี่ยนแหล่งจ่ายไฟฟ้า

โดยใช้บริเวณชั้น 11 ของศึกษาวิศวกรรมศาสตร์ มหาวิทยาลัยเทคโนโลยีราชมงคล  
กรุงเทพ โดยเริ่มตั้งแต่วันที่ วันที่ 29 พฤษภาคม 2553 เวลา 11.15 น ถึง 16.15 น

จากภาพที่ 4-20 เป็นการต่อใช้งานเซลล์แสงอาทิตย์ร่วมกับอัลตราคาป่าเซตอร์ ผ่านบูสตอน  
เกอร์เตอร์ในการจ่ายโหลดที่ใช้ในงานวิจัยคือ ป้ายแสดงผลแบบอิเล็กทรอนิกส์ สามารถอธิบายผล  
ของพลังงานที่บันทึกได้ คือ แสงอาทิตย์ในแต่ละช่วงเวลา มีค่าไม่เท่ากัน เนื่องจากสภาพอากาศและ  
เมฆ ทำให้บางช่วงเวลาเซลล์แสงอาทิตย์ไม่สามารถจ่ายพลังงานให้กับโหลดได้

#### 4.6.2 ทดสอบการสับเปลี่ยนแหล่งจ่ายไฟฟ้า

การสับเปลี่ยนแหล่งจ่ายไฟฟ้าระหว่างเซลล์แสงอาทิตย์กับอัลตราคาป่าซิเตอร์ในการต่อใช้งานกับโอลด์ริงนิ้น จากภาพที่ 4-20 จะเห็นได้ว่าเมื่อเซลล์แสงอาทิตย์มีค่ามากกว่า 14 โวลต์ระบบจะสั่งงานให้นำพลังงานจากเซลล์แสงอาทิตย์ไปผ่านวงจรบูสต์แควร์เตอร์จ่ายให้กับโอลด์แล็ปเพื่อแรงดันเซลล์แสงอาทิตย์มีค่าต่ำกว่า 14 โวลต์ ระบบจะสั่งให้หยุดการจ่ายพลังงานจากเซลล์แสงอาทิตย์และไปสั่งให้จ่ายพลังงานจากอัลตราคาป่าซิเตอร์แทน จนกระทั่งแรงดันของเซลล์แสงอาทิตย์มีค่ามากกว่า 14 โวลต์ อีกครั้ง ระบบจะสั่งให้หยุดจ่ายพลังงานจากอัลตราคาป่าซิเตอร์แล้วไปสั่งให้จ่ายพลังงานจากเซลล์แสงอาทิตย์แทน จะเห็นได้ว่าแรงดันเอาต์พุตและกระแสเอาต์พุตยังคงที่ เมื่อมีการสับเปลี่ยนแหล่งจ่ายพลังงานไฟฟ้า

#### 4.6.3 ทดสอบการประจุให้กับอัลตราคาป่าซิเตอร์

เมื่อต่อใช้งานในระบบแล้ว ถ้าแรงดันของอัลตราคาป่าซิเตอร์มีค่าต่ำกว่า 10 โวลต์ ซึ่งเป็นค่าแรงดันที่สามารถจ่ายพลังงานให้กับโอลด์ได้ ระบบจะสั่งให้ทำการประจุ อัลตราคาป่าซิเตอร์ทันที โดยที่แรงดันของเซลล์แสงอาทิตย์ต้องมากกว่า 14 โวลต์ เมื่อทำการประจุแล้วแรงดันของอัลตราคาป่าซิเตอร์ มีค่าที่ 13.5 โวลต์ ระบบจะสั่งให้หยุดการประจุไฟฟ้าจากกราฟที่ 4.20 การประจุอัลตราคาป่าซิเตอร์ จะไม่มีผลต่อแรงดันเอาต์พุตและกระแสเอาต์พุต เนื่องจากการประจุได้ทำการใส่ค่าความด้านทานไว้ เพื่อจำกัดกระแสประจุ อีกทั้งยังให้สามารถจ่ายโอลด์ได้ในขณะประจุ

#### 4.6.4 การทดสอบจ่ายโอลด์และใช้งาน

จากกราฟที่ 4-30 เป็นการบันทึกผลการต่อใช้งานจริงของงานวิจัย เพื่อทดสอบว่าในแต่ละเวลาสามารถจ่ายพลังงานให้กับโอลด์ได้เป็นอย่างไร จากการบันทึกพบว่าถึงแม้ว่าแรงดันของเซลล์แสงอาทิตย์จะลดลงจนไม่สามารถจ่ายพลังงานให้กับระบบได้ แต่ยังมีพลังงานจากอัลตราคาป่าซิเตอร์ จ่ายในช่วงเวลานี้ ทำให้ยังสามารถจ่ายพลังงานให้โอลด์ได้ต่อไปอีก แต่อัลตราคาป่าซิเตอร์ไม่สามารถจ่ายพลังงานได้นาน เนื่องจากมีข้อจำกัดในเรื่องของความจุ แต่สามารถจ่ายพลังงานได้ประมาณ 30 นาที เท่านั้น ในส่วนของการเปลี่ยนแปลงแรงดันของเซลล์แสงอาทิตย์เพียงเล็กน้อย จะไม่มีผลต่อแรงดันเอาต์พุต เนื่องจากวงจรบูสต์แควร์เตอร์ สามารถรักษาระดับแรงดันเอาต์พุตให้คงที่ได้ แต่จะมีการเปลี่ยนแปลงแรงดันอินพุต

## บทที่ 5

### สรุปผลการวิจัยและข้อเสนอแนะ

#### 5.1 สรุปผลของงานวิจัย

งานวิจัยเหล่านี้จ่ายไฟแบบไฮบริดซึ่งเป็นการนำเซลล์แสงอาทิตย์มาทำงานร่วมกับอัลตราคาป่าเชิงเตอร์มีคุณสมบัติในการเก็บพลังงานไฟฟ้าและจัดเก็บพลังงานไฟฟ้าเนื่องจากอัลตราคาป่าเชิงเตอร์มีคุณสมบัติในการเก็บพลังงานเหมือนกับแบตเตอรี่ทั้งยังจ่ายต่อการจัดเก็บพลังงานมีน้ำหนักเบา อายุการใช้งานยาวนาน การเสื่อมเนื่องจากอุณหภูมิมีน้อย แนวโน้มในการนำมาใช้เป็นแหล่งจ่ายไฟสำรองในรถไฟฟ้ามากขึ้นด้วย ในการสร้างแหล่งจ่ายไฟแบบไฮบริดจะใช้อัลตราคาป่าเชิงเตอร์ซึ่งมีคุณสมบัติในการเก็บและถ่ายพลังงานไฟฟ้าอย่างรวดเร็วแล้วผ่านวงจรบูสต์คอนเวอร์เตอร์ (DC-DC Boost Converter) ทำให้ระดับแรงดันเอาต์พุตสูงกว่าระดับแรงดันอินพุต โดยการใช้มอสเฟสเป็นอุปกรณ์กำลังทำหน้าที่สวิตช์ทำงานที่ความถี่ 100 kHz ใช้ไอซี UC3824 ทำหน้าที่ผลิตพัลส์วิดจ์เพื่อใช้ควบคุมการทำงานของมอสเฟสและการควบคุมแรงดันเอาต์พุตป้อนกลับ เพื่อรักษาระดับแรงดันเอาต์พุตให้คงที่ที่ 24 โวลต์ กระแสสูงสุดที่จ่ายให้โหลด 2.00 แอมป์ มีวงจรป้องกันกระแสเอาต์พุตเกิน ในการทดสอบได้ใช้เซลล์แสงอาทิตย์ขนาด 70 วัตต์ ที่แรงดัน 17.6 โวลต์ กระแส 4.38 แอมป์

จากการทดสอบแหล่งจ่ายไฟนี้เมื่อต่อเซลล์แสงอาทิตย์ขนาด 70 วัตต์ สามารถจ่ายกระแสได้สูงสุด 2 แอมป์แรงดันเอาต์พุต 24.44 โวลต์ ประสิทธิภาพ 74.56% หากจ่ายกระแสสูงกว่า 2 แอมป์ ก็จะไม่สามารถรักษาแรงดันแรงดันเอาต์พุตไว้ได้ เนื่องจากเซลล์แสงอาทิตย์มีข้อจำกัดในการจ่ายกำลังไฟฟ้าได้เพียง 70 วัตต์หรือต่ำกว่าขึ้นอยู่กับปริมาณความเข้มของแสง และเมื่อทดสอบเปรียบเทียบกันระหว่างต่อเซลล์แสงอาทิตย์ผ่านบูสต์คอนเวอร์เตอร์จ่ายกระแสให้กับโหลดแบบ Step Load และเซลล์แสงอาทิตย์ต่อขนาดอัลตราคาป่าเชิงเตอร์ผ่านบูสต์คอนเวอร์เตอร์จ่ายกระแสให้กับโหลดแบบ Step Load พนวณว่าเมื่อเซลล์แสงอาทิตย์ต่อขนาดอัลตราคาป่าเชิงเตอร์สามารถจ่ายกระแสให้กับโหลดได้ โดยที่แรงดันจากเซลล์แสงอาทิตย์ยังจ่ายได้อยู่ไม่คล่องมา เพราะมีอัลตราคาป่าเชิงเตอร์ช่วยในการเก็บและจ่ายพลังงานไฟฟ้าได้อย่างรวดเร็ว

## 5.2 ปัญหาของงานวิจัยและแนวทางแก้ไข

ปัญหาของแหล่งจ่ายไฟแบบไฮบริดจ์แสงอาทิตย์สามารถสรุปได้ดังต่อไปนี้

เมื่อแรงดันตกเมื่อจ่ายโหลดกระแสสูงๆ และประสิทธิภาพของวงจรบูสคอนเวอร์เตอร์มีค่าต่ำแนวทางการแก้ไขพัฒนาหนึ่งขั้นโดยใช้ลวดฟอย (Litz Wire)

## 5.3 ข้อเสนอแนะ

5.3.1 เปลี่ยนระบบชุดควบคุมจากไอซี UC3824 เป็นระบบดิจิตอลซึ่งจะมีความยืดหยุ่นในการปรับเปลี่ยนค่าพารามิเตอร์ต่างๆ ในวงจรควบคุมได้มาก

5.3.2 หากต้องการลดกำลังสูญเสียให้น้อยที่สุด จึงควรใช้คอนเวอร์เตอร์ที่ใช้เทคนิคสวิตช์แบบนิ่มนวล (Soft Switching)

## บรรณานุกรม

### ภาษาไทย

กรมพัฒนาพลังงานทดแทนและอนุรักษ์พลังงาน ศักยภาพพลังงานแสงอาทิตย์ของประเทศไทย

2542. อ่อน-ไลน์

ทรงคุณ เพื่อ กอง แหล่งจ่ายไฟฟ้าชิดระบบสองทบแรงดันไฟฟ้ากระแสตรง ปริญญาอินพนธ์ครุศาสตร์อุตสาหกรรมบัณฑิต สาขาวิชาวิศวกรรมไฟฟ้า ภาควิชาครุศาสตร์ไฟฟ้า คณะครุศาสตร์ อุตสาหกรรม สถาบันเทคโนโลยีพระจอมเกล้าฯ พระนครเหนือ, 2548

วีรเดษฐ์ ขันเงิน วุฒิพล ราารีศรีย์ อิเล็กทรอนิกส์กำลัง กรุงเทพ หจก. วี. เอ พรินติ้ง, 2548

สร้าง สุขบัวแก้ว สมบศ แก้วพุด แหล่งจ่ายไฟฟ้ากระแสตรงจากอัตตราค่าปานิชเตอร์โดยใช้ เซลล์แสงอาทิตย์ ปริญญาอินพนธ์ ครุศาสตร์อุตสาหกรรมบัณฑิต สาขาวิชาวิศวกรรมไฟฟ้า ภาควิชาครุศาสตร์ไฟฟ้า คณะครุศาสตร์อุตสาหกรรม สถาบันเทคโนโลยีพระจอมเกล้าฯ พระนครเหนือ, 2548

ศุภสันต์ พรมเนรみて เครื่องประดุจแบตเตอรี่แบบทบแรงดันไฟฟ้าโดยใช้เซลล์แสงอาทิตย์ ปริญญาอินพนธ์ ครุศาสตร์อุตสาหกรรมบัณฑิต สาขาวิชาวิศวกรรมไฟฟ้า ภาควิชาครุศาสตร์ไฟฟ้า คณะครุศาสตร์อุตสาหกรรม สถาบันเทคโนโลยีพระจอมเกล้าฯ พระนครเหนือ, 2548

### ภาษาอังกฤษ

Adam Marcus Namisnyk **A SURVEY OF ELECTROCHEMICAL SUPERCAPACITOR**

**TECHNOLOGY** University of Technology Sydney Faculty of Engineering, 2003

Phatiphat Thounthong Stephane Real and Bernard Davat **Supercapacitor as an energy storage for fuel cell automotive hybrid electrical system** France, 2005

## ภาคผนวก ก

### โปรแกรมระบบควบคุม

```
list      P=16F819
errorlevel -302
_config    0x3921
#include    "P16F819.INC"

cblock    0x20
PDe10,PDe11,dat,temp,x1,x2,x3,x4,x5,x6,x7,x8
endc

reset:   bsf     STATUS, RP0
          movlw   0x8E
          movwf   ADCON1
          clrf    TRISB
          bcf    STATUS, RP0
          clrf    PORTB

main:    movlw   b'00000001'
          movwf   ADCON0
          call    delay_47us
          bsf     ADCON0, GO_DONE
          btfsc  ADCON0, GO_DONE
          goto   $-1

          movlw   0x02
          movwf   z1
          movlw   0x51
          movwf   z2
          movf    ADRESH,W
          subwf   x1,W
          btfss  STATUS,C
          goto   main01
          btfsc  STATUS,Z
          goto   main01
          bcf    PORTB,0
          movlw   .100
          movwf   temp
          call    delay_5ms
          decfsz temp,f
          goto   $-2
          goto   main0

main01:  bsf     STATUS,RP0
          movf    ADRESL,W
          bcf    STATUS,RP0
          subwf  z2,W
          btfss  STATUS,C
          goto   main1
          btfsc  STATUS,Z
```

```

        goto    main1
        bcf    PORTB,0
        movlw   .100
        movwf   temp
        call    delay_5ms
        decfsz temp,f
        goto    $-2
        goto    main0

main0:    movlw   b'00001001'
        movwf   ADCON0
        call    delay_47us
        bsf    ADCON0, GO_DONE
        btfsc  ADCON0, GO_DONE
        goto    $-1
        movlw   0x01
        movwf   x3
        movlw   0xA2
        movwf   x4
        movf    ADRESH,W
        subwf   x3,W
        btfss  STATUS,C
        goto    main02
        btfsc  STATUS,Z
        goto    main02
        bcf    PORTB,1
        movlw   .100
        movwf   temp
        call    delay_5ms
        decfsz temp,f
        goto    $-2
        goto    main

main02:   bsf    STATUS,RP0
        movf   ADRESL,W
        bcf    STATUS,RP0
        subwf   x4,W
        btfss  STATUS,C
        goto    main2
        btfsc  STATUS,Z
        goto    main2
        bcf    PORTB,1
        movlw   .100
        movwf   temp
        call    delay_5ms
        decfsz temp,f
        goto    $-2
        goto    main

main1:    bsf    PORTB,0
        movlw   b'00001001'
        movwf   ADCON0
        call    delay_47us
        bsf    ADCON0, GO_DONE
        btfsc  ADCON0, GO_DONE
        goto    $-1
        movlw   0x01
        movwf   x5

```

```

        movlw 0xDE
        movwf x6
        movf ADRESH,W
        subwf x5,W
        btfss STATUS,C
        goto main03
        btfsc STATUS,Z
        goto main03
        bsf PORTB,1
        movlw .100
        movwf temp
        call delay_5ms
        decfsz temp,f
        goto $-2
        goto main4

main03:    bsf STATUS,RP0
        movf ADRESL,W
        bcf STATUS,RP0
        subwf x6,W
        btfss STATUS,C
        goto main3
        btfsc STATUS,Z
        goto main3
        bsf PORTB,1
        movlw .100
        movwf temp
        call delay_5ms
        decfsz temp,f
        goto $-2
        goto main4

main4:    movlw b'00001001'
        movwf ADCONO
        call delay_47us
        bsf ADCONO, GO_DONE
        btfsc ADCONO, GO_DONE
        goto $-1
        movlw 0x02
        movwf z7
        movlw 0x51
        movwf x8
        movf ADRESH,W
        subwf x7,W
        btfsc STATUS,C
        goto main5
        btfss STATUS,Z
        goto main5
        bcf PORTB,1
        movlw .100
        movwf temp
        call delay_5ms
        decfsz temp,f
        goto $-2
        goto main

main5:    bsf STATUS,RP0
        movf ADRESL,W

```

```
bcf    STATUS, RP0
subwf  X8,W
btfsC  STATUS,C
goto   main
btfsS  STATUS,Z
goto   main
bcf    PORTB, 1
movlw  .100
movwf  temp
call   delay_5ms
decfsz temp,f
goto   $-2
goto   main

main2:  bsf    PORTB, 1
goto   main

main3:  bcf    PORTB, 1
goto   main

delay_47us: movlw  .11
            movwf  PDe10
delay_47us_0: clrwdt
               decfsz PDe10,f
               goto   delay_47us_0
               clrwdt
               return

delay_5ms:  movlw  .100
            movwf  PDe10
delay_5ms_0: movlw  .10
            movwf  PDell
delay_5ms_1: clrwdt
               decfsz PDell,f
               goto   delay_5ms_1
               decfsz PDe10,f
               goto   delay_5ms_0
               goto   $+1
               clrwdt
               return

            end
```

## ภาคผนวก ข

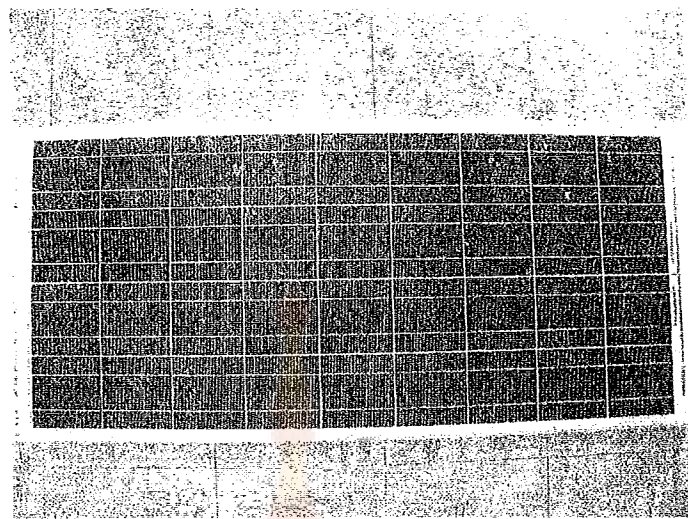
### ภาพชิ้นงานในส่วนต่างๆ



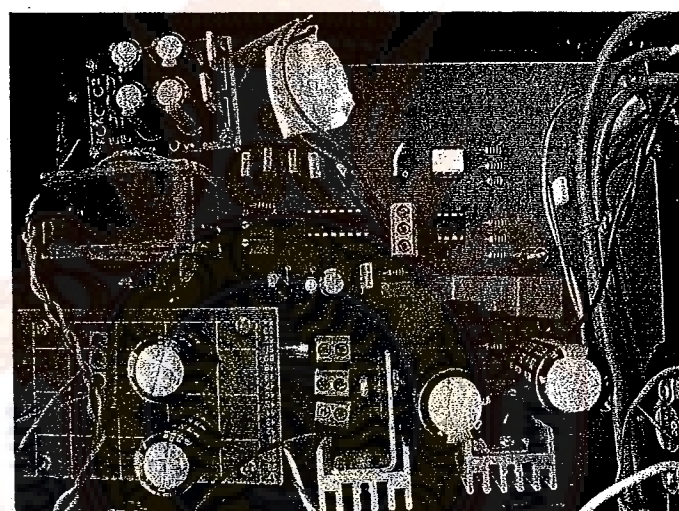
ภาพที่ ข-1 ด้านหน้าของเครื่องจ่ายไฟแบบไขบริด



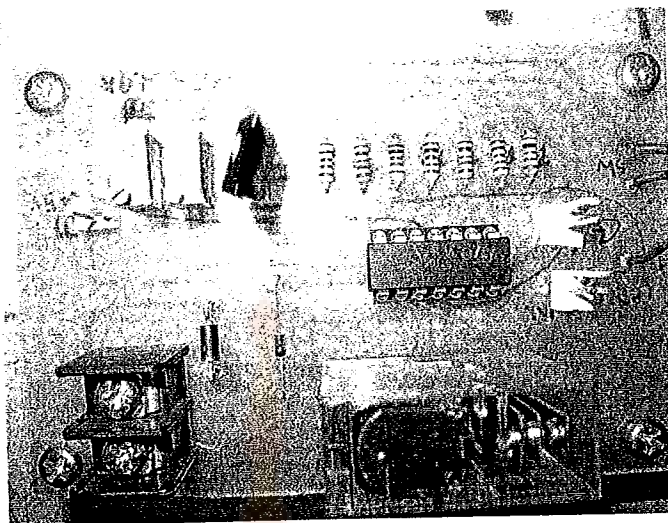
ภาพที่ ข-2 อัลตราคาปซิเตอร์



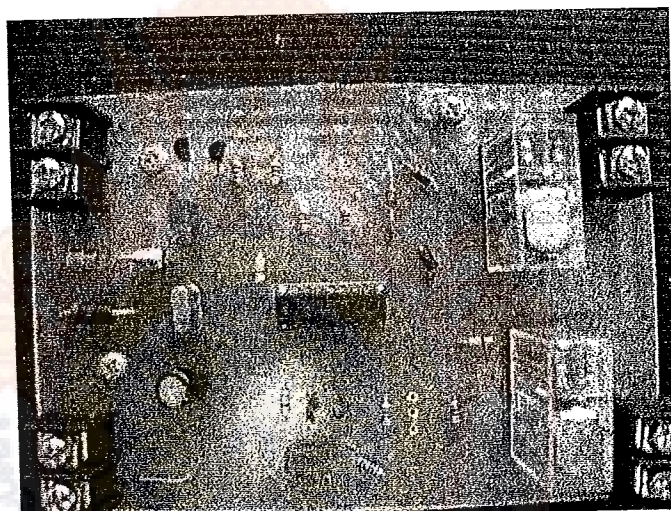
ภาพที่ ข-3 เซลล์แสงอาทิตย์แบบพลีกโพลี



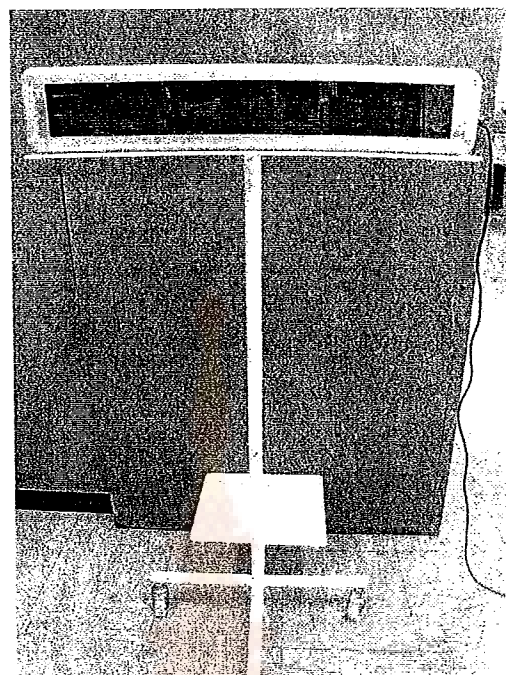
ภาพที่ ข-4 วงจรบูสต์แอนด์เดอร์



ภาพที่ ข-5 วงจรป้องกันกระแทกเดิน



ภาพที่ ข-6 วงจรประจุและสับเปลี่ยนแหล่งจ่ายไฟฟ้า

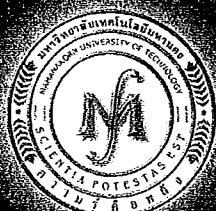
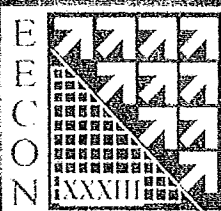


ภาพที่ ข-7 ป้ายแสดงผลอิเล็กทรอนิกส์



ภาพที่ ข-8 การต่อใช้งานแหล่งจ่ายไฟแบบไอนริดสำหรับป้ายแสดงผลอิเล็กทรอนิกส์





# PROCEEDINGS

# VOL. 1

PW : Electrical Power System

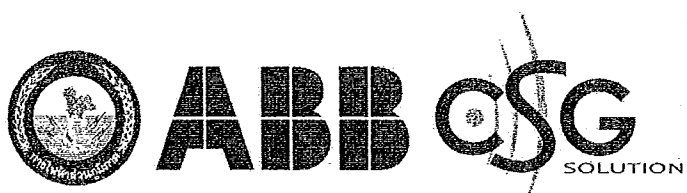
PE : Power Electronics

GN : General Research Related to  
Electrical Engineering

การประชุมวิชาการทางวิศวกรรมไฟฟ้า ครั้งที่ 33  
1-3 ธันวาคม 2553 ณ โรงแรมเซ็นทารา ดูงตานวัน จ.เชียงใหม่

33<sup>rd</sup> Electrical Engineering Conference

1-3 December 2010, Centara Duangtawan Hotel, Chiangmai, Thailand



111 ปี นวัตกรรมเพื่อสร้างสรรค์ เป็นปีแห่งวาระการเฉลิมฉลอง  
50 ปี คณะวิศวกรรมศาสตร์ สถาบันเทคโนโลยีพระจอมเกล้าเจ้าคุณทหารลาดกระบัง  
40 ปี คณะวิศวกรรมศาสตร์ มหาวิทยาลัยเชียงใหม่  
20 ปี คณะวิศวกรรมศาสตร์ มหาวิทยาลัยเทคโนโลยีราชภัฏ

## การประยุกต์ใช้งานชูปเปอร์ค่าป่าชีเตอร์เป็นอุปกรณ์กักเก็บพลังงานร่วมกับเซลล์แสงอาทิตย์

### Supercapacitor Application for Energy Storage in Collaborate with Solar Cell

ชาญฤทธิ์ ธรรมสันติสุข<sup>1</sup> สุเทพ ชูศรี<sup>1</sup> และทวิวัช ขัยพิพัฒน์<sup>1\*</sup>

<sup>1</sup> สาขาวิชาวิศวกรรมไฟฟ้า คณะวิศวกรรมศาสตร์ มหาวิทยาลัยเทคโนโลยีราชมงคลธัญบุรี

2 ถนนนางลื้น แขวงทุ่งมหาเมฆ เขตสาทร กรุงเทพ 10120 โทรศัพท์: 0-22879629 E-mail: chanrit.t@rmutk.ac.th

#### บทคัดย่อ

บทความนี้เป็นการประยุกต์นำอาชูปเปอร์ค่าป่าชีเตอร์มาใช้ร่วมกับเซลล์แสงอาทิตย์ในการกักเก็บพลังงานไฟฟ้าและเป็นแหล่งจ่ายไฟฟ้ากระแสตรงให้กับโหลด โดยใช้เซลล์แสงอาทิตย์และชูปเปอร์ค่าป่าชีเตอร์เป็นแหล่งจ่ายไฟฟ้ากระแสตรงร่วมกับวงจรบุสคอนเวอเรอร์เพื่อให้ระดับแรงดันเอาต์พุตคงที่ 24 V ให้มอเตอร์เป็นอุปกรณ์ในการสวิตช์ที่ความถี่ 100 kHz ใช้ไอซี UC3824 สร้างสัญญาณ PWM เพื่อใช้ควบคุมการทำงานของมอเตอร์ มีการควบคุมแรงดันไฟฟ้าเอาต์พุตแบบขึ้นลงด้วยตัวควบคุมบุสไฟฟ้า IC ที่ชื่อ uc3824 ระดับแรงดันเอาต์พุตให้คงที่ และใช้ไมโครคอนโทรลเลอร์ PIC16F819 ควบคุมการประยุกต์และสับเปลี่ยนแหล่งจ่ายไฟฟ้า คำสำคัญ: ชูปเปอร์ค่าป่าชีเตอร์, เซลล์แสงอาทิตย์, บุสคอนเวอเรอร์, PIC16F819

#### Abstract

This paper is an application of supercapacitor used in conjunction with solar cells to store energy and dc power supply to load. There are using boost converter circuit to regulate 24 V output voltages by 100 kHz switched power MOSFET. UC3824 IC to generate PWM signals to control operation of the MOSFET. The output voltage controlled with the phase lead- phase lag to regulated output voltage. The PIC16F819 microcontroller control of supercapacitor charger and switch power supply.

**Keywords:** Supercapacitor, Solar Cell, Boost Converter, PIC16F819

#### 1. คำนำ

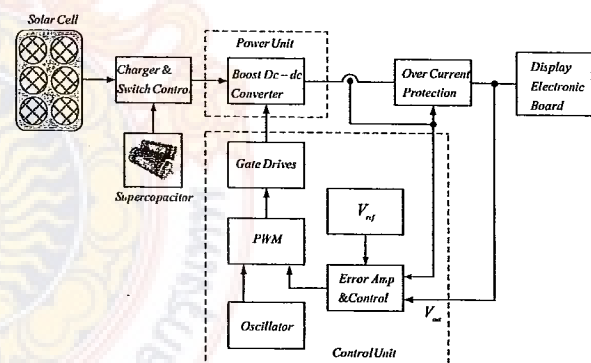
เซลล์แสงอาทิตย์ซึ่งเป็นแหล่งพลังงานทดแทนที่น่าสนใจเนื่องจากเซลล์แสงอาทิตย์นั้นมีอายุการใช้งานยาวนานจากการเปลี่ยนรูปพลังงานจากพลังงานแสงเป็นพลังงานไฟฟ้าที่ค่อนข้างต่ำและแรงดันไม่คงที่ซึ่งอยู่กับปริมาณความเข้มของแสง จำกัดดังกล่าวจึงได้มี

แนวคิดที่จะเพิ่มประสิทธิภาพของระบบเซลล์แสงอาทิตย์โดยนำชูปเปอร์ค่าป่าชีเตอร์มาใช้งานร่วมกับเซลล์แสงอาทิตย์ในการจัดเก็บพลังงานไฟฟ้าและเป็นแหล่งจ่ายไฟฟ้ากระแสตรงให้กับโหลดปั๊มแสดงผลอิเล็กทรอนิกส์ ซึ่งชูปเปอร์ค่าป่าชีเตอร์ มีข้อดีคือใช้เวลาสั้นในการจัดเก็บพลังงาน มีน้ำหนักเบา อาการใช้งานนาน และมีการเสื่อมเนื่องจากอุณหภูมน้อย มีแนวโน้มในการนำมายังอุปกรณ์ในระบบไฟฟ้าจากพลังงานทดแทนมากขึ้น [1], [2]

#### 2. ทฤษฎี

##### 2.1 บล็อกໄດ້ອະແກນຮຽນ

ระบบการทำงานใช้งานชูปเปอร์ค่าป่าชีเตอร์รุ่น BCAP 1200F 2.7 V จำนวน 10 เซลล์ต่อแบบผสมร่วมกับเซลล์แสงอาทิตย์ขนาด 70 W 12 V เป็นแหล่งจ่ายไฟฟ้าโดยต่ำกว่าวงจรบุสคอนเวอเรอร์สามารถเชื่อมระบบได้ดังบล็อกໄດ້ອະແກນในรูปที่ 1



รูปที่ 1 บล็อกໄດ້ອະແກນการทำงานของระบบ

จากบล็อกໄດ້ອະແກນระบบประกอบไปด้วยภาคจ่ายไฟฟ้าเป็นวงจรที่ทำหน้าที่สับเปลี่ยนแหล่งจ่ายไฟฟ้าระหว่างชูปเปอร์ค่าป่าชีเตอร์กับเซลล์แสงอาทิตย์ ภาควงจรกำลังทำหน้าที่เพิ่มระดับแรงดันเอาต์พุต ภาควงจรควบคุมทำหน้าที่ควบคุมวงจรกำลังให้กับแรงดันเอาต์พุตให้คงที่ ภาควงจรป้องกันกระแสเกินเมื่อหน้าที่ปลดวงจรด้านเอาต์พุตออกเมื่อเกิดกระแสเกิน

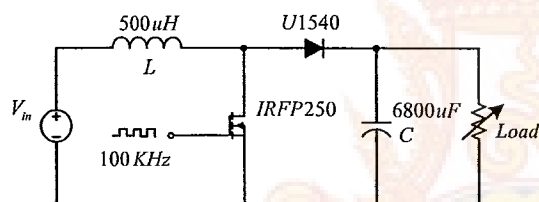


## 2.2 วงจรสับเปลี่ยนแหล่งจ่ายไฟฟ้าและประจุ

วงจรสับเปลี่ยนแหล่งจ่ายไฟฟ้าผ่านวงจรบูสต์แปรอัตราเร็วเดอร์กับชลล์แสงอาทิตย์เป็นแหล่งจ่ายไฟฟ้าผ่านวงจรบูสต์แปรอัตราเร็วเดอร์ที่สามารถปรับค่าความถี่ของแหล่งจ่ายไฟฟ้าผ่านวงจรบูสต์แปรอัตราเร็วเดอร์นี้ค่าถ่วงที่แรงดันของชลล์แสงอาทิตย์มีค่ามากเพียงพอที่จะสามารถทำ การประจุได้ วงจรใช้ในโครค่อนโทรศัพท์ PIC16F819 ควบคุมการทำงานโดยตรวจสอบแรงดันจากบูสต์แปรอัตราเร็วเดอร์และชลล์แสงอาทิตย์ นำมาเป็นตัวแปรให้ในโครค่อนโทรศัพท์ทำตามเงื่อนไข ส่วนของการป้องกันกระแสเกินทางด้านเอกสารหุตุจะใช้รีเลอร์รับสัญญาณจากอุปกรณ์ตรวจจับกระแสเมื่อเกิดกระแสเกินจะส่งสัญญาณแรงดันไฟฟ้าผ่านวงจร ออกแอมป์ เพื่อนำสัญญาณที่ได้ไปรีบกวนเกตอีซีอีร์

## 2.3 วงจรกำลัง

วงจรบูสต์แปรอัตราเร็วเดอร์ทำหน้าที่เพิ่มระดับแรงดันเอาต์พุตให้สูงกว่าแรงดันอินพุต วงจรบูสต์แปรอัตราเร็วเดอร์ในรูปที่ 2 ประกอบไปด้วย ตัวเหนี่ยวนำความถี่สูงถึง 500 μHz สวิตซ์กำลังใช้ตัวตัด IRFP250 ไดโอดทำถ่วงความถี่สูงเบอร์ U1540 ตัวเก็บประจุลีดออกไช่ ความถี่ 6800 μF 35 V วงจรกำลังออกแบบให้ทำงานในโหมดกระแสต่อเนื่อง (CCM) กำหนดความถี่ในการสวิตซ์ 100 kHz



รูปที่ 2 วงจรบูสต์แปรอัตราเร็วเดอร์

## 2.4 วงจรควบคุม

วงจรรักษาแรงดันเอาต์พุตของวงจรกำลังให้คงที่ โดยใช้ ไอซี UC3824 สร้างสัญญาณ PWM โดยความถี่คงที่ การตรวจจับแรงดันเอาต์พุตจะใช้วงจรแบ่งแรงดัน ซึ่งเป็นสัญญาณบวกจะใช้ค่าความถี่ต้านทาน  $R_1$  และ  $R_2$  โดยอาศัยใช้การแบ่งแรงดันไปต่อเข้ากับวงจรดูดเชช ปรีรีบกับแรงดันอ้างอิง  $V_{ref}$  เมื่อแรงดันเอาต์พุตมีค่าลดลง จะทำให้  $V_{err}$  มีค่ามากขึ้นและนำสัญญาณที่ได้จากการปรีรีบเพิ่มระหว่าง  $V_{err}$  และ  $V_{ref}$  ใช้ในการปรับค่าดิจิตอล (Duty Cycle) โดยจะนำสัญญาณ  $V_{err}$  ไปปรีรีบกับสัญญาณ Ramp Oscillator ทำให้ได้ผลลัพธ์ควบคุม mosfet กำลัง วงจรจะถูกควบคุมแรงดันเอาต์พุตให้คงที่และลดเชชให้ระบบมีเสถียรภาพสามารถเพิ่มน้ำหนาระบบได้ดังรูปที่ 3 ในส่วนของวงจรดูดเชชระบบค่าความถี่ต้านทานและตัวเก็บประจุสามารถคำนวณได้จาก การนำหารายมิตอร์ของวงจรบูสต์แปรอัตราเร็วเดอร์ตามสมการที่ (1) ไปทำ การจำลองเพื่อหาผลตอบสนองต่อความถี่โดยโปรแกรม Pspice

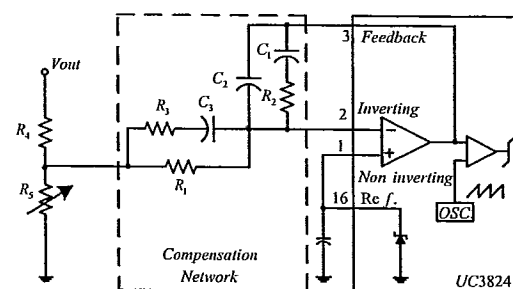
$$\frac{V_o}{d} = \frac{V_{in}}{(1-D)^2} \left( 1 - \frac{sL}{R} \right) \frac{1 + srC}{LC(s^2 + s\left(\frac{1}{RC} + \frac{r}{L}\right) + \frac{1}{LC})} \quad (1)$$

แล้วนำค่า crossover frequency และ gain margin [3] ไปทำการหาค่า อุปกรณ์ดูดเชชค่าความถี่ในสมการที่ (2) โดยเลือกค่า  $\phi_{PM} = 60^\circ$  และค่าความถี่ตัดออก  $f_c = 100 Hz$

$$G_C(s) = \frac{k_c (1 + s/\omega_z)^2}{s (1 + s/\omega_p)^2} \quad (2)$$

จะได้ค่า

$$R_1 = 100k\Omega, R_2 = 9.6k\Omega, R_3 = 1.14k\Omega, C_1 = 1.54\mu F, C_2 = 17.7nF, C_3 = 150nF$$

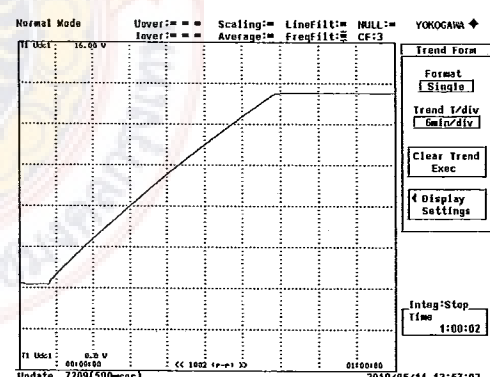


รูปที่ 3 วงจรควบคุมแบบบานปลายด้วยไอซี UC3824

## 3. ผลการทดสอบ

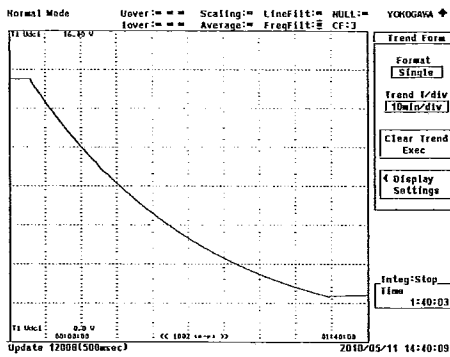
### 3.1 ทดสอบการเก็บและขยายผลลัพธ์ของบูสต์แปรอัตราเร็วเดอร์

จากการทดสอบการเก็บผลลัพธ์งานไฟฟ้าของบูสต์แปรอัตราเร็วเดอร์ที่ค่าแรงดัน 14 V และกระแสไฟฟ้าคงที่ จะเห็นได้ว่าเมื่อใช้ ค่ากระแสสูงในการเก็บผลลัพธ์งานไฟฟ้า จะใช้เวลาในการเก็บผลลัพธ์งานน้อย แต่เมื่อใช้กระแสไฟฟ้าในการเก็บผลลัพธ์งานมีค่าถ่วงมากจะใช้เวลาในการ เก็บผลลัพธ์งานมากขึ้น



รูปที่ 4 แรงดันไฟฟ้าบูสต์แปรอัตราเร็วเดอร์เก็บผลลัพธ์งานไฟฟ้าแรงดัน 14 V และกระแส 2 A

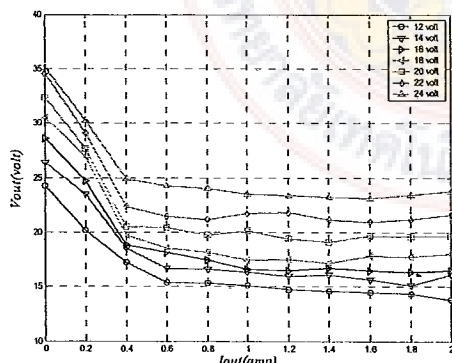




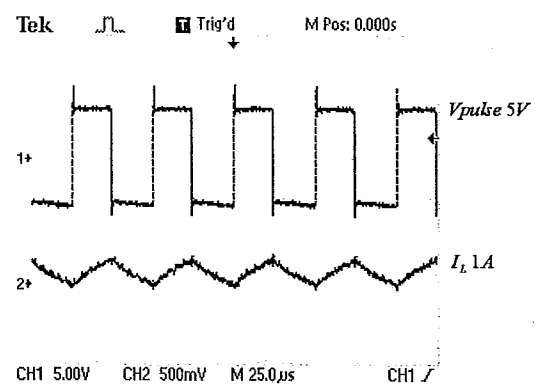
รูปที่ 5 แรงดันไฟฟ้าขุปเปอร์ค่าปานิชเตอร์คายพลังงานไฟฟ้าแรงดัน 14 V และกระแส 2 A

จากการทดสอบการคายพลังงานไฟฟ้าของขุปเปอร์ค่าปานิชเตอร์ที่แรงดัน 14 V และค่ากระแสไฟฟ้าต่างๆ จะเห็นได้ว่าเมื่อใช้ค่ากระแสสูงในการคายพลังงานไฟฟ้าจะใช้เวลาในการคายพลังงานนานขึ้นแต่เมื่อมีโหลดน้อยๆ ก็จะทำให้เวลาการคายพลังงานนานขึ้นทั้งไฟฟ้าขุปเปอร์ค่าปานิชเตอร์มีคุณสมบัติเหมือนกับแบตเตอรี่ รูปที่ 5 เมื่อจ่ายกระแสโหลดที่ 2 A จะใช้เวลาถึง 1 ชั่วโมง 50 นาที ในบทความนี้จ่ายกระแส 2 A และแรงดันให้งานอยู่ระหว่าง 10 – 13.5 V ดังนั้นจึงจ่ายพลังงานไฟฟ้าได้ 30 นาที

**3.2 ทดสอบแรงดันเอาด์พุตของวงจรเมื่อโหลดเปลี่ยนแปลง**  
จากการทดสอบเมื่อจ่ายพลังงานไฟฟ้าให้กับโหลดและดังรูปที่ 6 โดยวิธีคุณปีดที่แรงดันอินพุตต่างๆ นั้นจะเห็นได้ว่าแรงดันเอาด์พุตคงที่ลดลงเมื่อโหลดใช้กระแสมากขึ้น ทำให้แรงดันแรงดันเอาด์พุตไม่คงที่ดังนั้นจึงต้องทำให้แรงดันเอาด์พุตคงที่โดยการควบคุมแรงดันด้วยวิธีคุณปีดโดยใช้อิซซี่ UC3824 ในโหมดแรงดันเพื่อควบคุมแรงดันเอาด์พุตคงที่จากรูปที่ 7 แสดงให้เห็นถึงค่าสัญญาณจากชุดคำสั่งสวิตช์ที่ได้จากการทดสอบโดยใช้ความถี่ 100 KHz จะพบว่าสัญญาณจากชุดคำสั่งสวิตช์สามารถควบคุมให้มีอัตราการทำงานสวิตช์ได้และซังส์เพลทให้กระแสที่ໄหลผ่านตัวหนีหัวนำได้ต่อเนื่อง



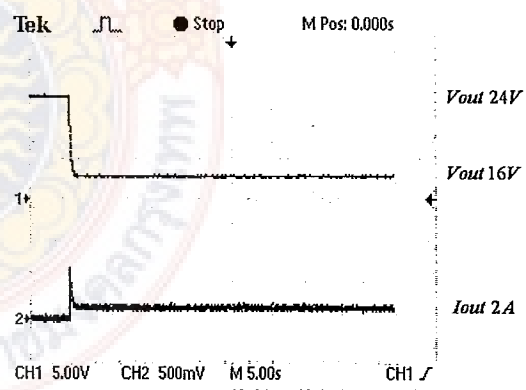
รูปที่ 6 กราฟระหว่างกระแสและแรงดันเอาด์พุตเมื่อทดสอบแบบคุณปีด



รูปที่ 7 สัญญาณสวิตช์และสัญญาณกระแสที่ตัวหนีหัวนำ (iL)

จากการทดสอบจะเห็นได้ว่าเมื่อจ่ายโหลดแบบ step ในกรณีคุณปีดแรงดันเอาด์พุตจะลดลงทันทีที่ทำให้ไม่สามารถรักษาแรงดันไว้ได้เต็มในกรณีคุณปีดแรงดันเอาด์พุตจะลดลงแล้วกลับมาลงที่ได้รักษาไว้เปอร์ค่าปานิชเตอร์ เมื่อจากขุปเปอร์ค่าปานิชเตอร์มีการจ่ายกระแสซ้ำๆ ขณะที่ได้

**3.3 ทดสอบต่อใช้งานขุปเปอร์ค่าปานิชเตอร์ผ่านบุสคอนเวอร์เตอร์**  
ส่วนการทดสอบจะพบว่าเมื่อต่อใช้งานขุปเปอร์ค่าปานิชเตอร์ผ่านวงจรบุสคอนเวอร์เตอร์จะมีประสิทธิภาพในระบบจะมีกำลังในช่วง 0.6 – 1.8 แอนปี ขุปเปอร์ค่าปานิชเตอร์สามารถจ่ายพลังงานไฟฟ้าให้กับโหลดได้โดยที่มีประสิทธิภาพสูงที่ค่ากระแสสูงๆ ประสิทธิภาพของระบบจะดีกว่าการใช้งานต่อชุดแล็ปส์ส่งอาทิตย์ผ่านวงจรบุสคอนเวอร์เตอร์จ่ายโหลด แต่แรงดันขุปเปอร์ค่าปานิชเตอร์จะลดลงก่อนข้างรวดเร็วเมื่อจ่ายโหลดที่ค่ากระแสสูงๆ

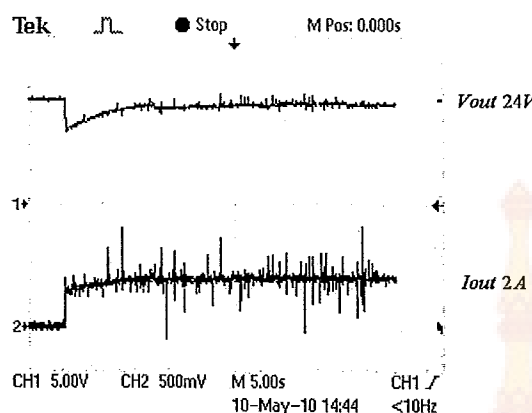


รูปที่ 8 แรงดันและกระแสเมื่อจ่ายโหลด 100 % ทันทีแบบคุณปีด

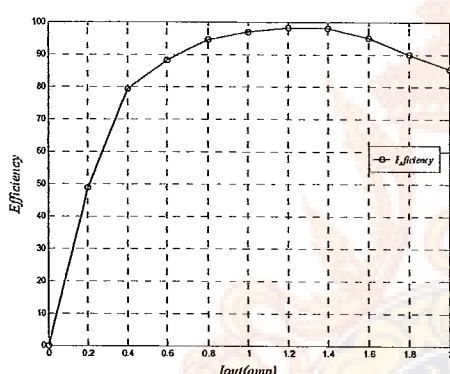
จากรูปที่ 11 เป็นการบันทึกผลการต่อใช้งานจริงของระบบ พบว่าถึงแม้ว่าแรงดันของชุดแล็ปส์ส่งอาทิตย์จะลดลงจนไม่สามารถจ่ายพลังงานให้กับระบบได้ แต่ยังมีพลังงานจากขุปเปอร์ค่าปานิชเตอร์จ่ายในช่วงเวลาหนึ้น ทำ



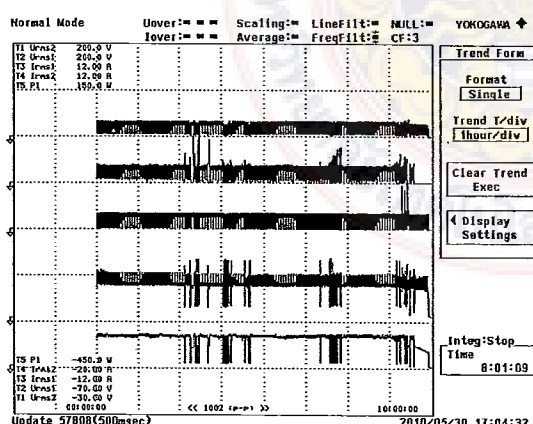
ให้สามารถจ่ายพลังงานให้โหลดได้ต่อไฟฟ้า แต่ชุบป์เบอร์ค่าปาชิเตอร์ไม่สามารถจ่ายพลังงานได้นาน เนื่องจากมีข้อจำกัดในเรื่องของความจุและสามารถจ่ายพลังงานได้นานประมาณ 30 นาที



รูปที่ 9 แรงดันและกระแสเมื่อจ่ายโหลด 100% ทันทีแบบสูปเปิด



รูปที่ 10 กราฟประสิทธิภาพที่กระแสเอาต์พุตต่างๆ เมื่อต่อให้ทำงานกับชุบป์เบอร์ค่าปาชิเตอร์



รูปที่ 11 กราฟบันทึกผลการทำงานระบบขณะสับเปลี่ยนแหล่งจ่าย

#### 4. สรุปผล

การประยุกต์ใช้เซลล์แสงอาทิตย์ร่วมกับชุบป์เบอร์ค่าปาชิเตอร์สำหรับปั๊มแสดงผลแบบอิเล็กทรอนิกส์ในการจ่ายพลังงานไฟฟ้าและจัดเก็บพลังงานไฟฟ้า ซึ่งมีคุณสมบัติในการเก็บและคายพลังงานไฟฟ้าอย่างรวดเร็วแล้วผ่านวงจรบุสคอนเวอร์เตอร์ โดยใช้ไอซี UC3824 ทำหน้าที่สร้างสัญญาณเพลส์วินด์มอเตอร์เพื่อควบคุมแรงดันเอาต์พุตคงที่ 24 V กระแสสูงสุดที่จ่ายให้โหลด 2 A ในการทดสอบได้ใช้เซลล์แสงอาทิตย์ 70 W ที่แรงดัน 17.6 V กระแส 4.38 A จากการทดสอบแหล่งจ่ายไฟฟ้าที่มีผู้ต่อเซลล์แสงอาทิตย์ขนาด 70 W สามารถจ่ายกระแสได้สูงสุด 2 A แรงดันเอาต์พุต 24.44 V ประสิทธิภาพ 74.56% หากจ่ายกระแสสูงกว่า 2 A ก็จะไม่สามารถรักษาคันเร่งดันเอาต์พุตไว้ได้ เมื่อจากเซลล์แสงอาทิตย์ข้อจำกัดในการจ่ายกำลังไฟฟ้าได้เพียง 70 W หรือต่ำกว่า และทดสอบเครื่องเพิ่มกันระหว่างต่อเซลล์แสงอาทิตย์ต่ำบุสคอนเวอร์เตอร์ต้องร่างกระแสให้กับโหลดแบบ Step Load และเซลล์แสงอาทิตย์ต่ำบุสคอนเวอร์เตอร์จึงสามารถจ่ายกระแสให้ไฟฟ้าได้โดยรักษาคันเร่งดันเอาต์พุตไว้ได้ กระแสน้ำที่ต้องการทดสอบได้ใช้กับโหลดแบบ Step Load พบว่าเมื่อเซลล์แสงอาทิตย์ต่ำบุสฯ ชุบป์เบอร์ค่าปาชิเตอร์สามารถจ่ายกระแสให้ไฟฟ้าได้ เพราะมีชุบป์เบอร์ค่าปาชิเตอร์ช่วยในการเก็บและจ่ายพลังงานไฟฟ้าได้อย่างรวดเร็ว

#### 5. เอกสารอ้างอิง

- [1] Arbizzani, C., Mastragostino, M., & Soavi, F., "New trends in electrochemical supercapacitors," Journal of power sources, vol. 100, pp.164-170, 2001.
- [2] Zubierta, L., & Bonert, R., "Characterization of double-layer capacitors for power electronics applications," IEEE transactions on industry applications, vol. 36, pp. 199-205, 2000.
- [3] Mohan, N. "A First Course on Power Electronics and Drives" MNPERE. pp. 4-1-4-21, 2003.

#### ประวัติผู้เขียนบทความ



ชาญฤทธิ์ ตราสันติสุข สำเร็จการศึกษาระดับปริญญาตรีศึกษาศาสตร์อุดสาಹกรรมบัณฑิต จากสถาบันเทคโนโลยีพระจอมเกล้าพระนครเหนือ และวิศวกรรมศาสตรมหาบัณฑิตจากสถาบันเทคโนโลยีพระจอมเกล้าเจ้าคุณทหารลาดกระบัง มีความสนใจงานวิจัยด้านระบบควบคุม และอิเล็กทรอนิกส์กำลัง

สุเทพ ชุมสิงและทวิช ชัยพิพัฒน์ สำเร็จการศึกษาระดับปริญญาตรี วิศวกรรมศาสตรบัณฑิตจากมหาวิทยาลัยเทคโนโลยีราชมงคลรุจุนเทพ มีความสนใจงานวิจัยด้านอิเล็กทรอนิกส์กำลังและระบบควบคุม

